

REPUBLIQUE ALGERIENNE DEMOCRATIQUE ET POPULAIRE
 Ministère de l'enseignement Supérieur et de la Recherche Scientifique



Ecole Nationale Polytechnique
Département de génie civil

PROJET DE FIN D'ETUDE

*Dans le cadre d'obtention du diplôme d'ingénieur d'état en
 Génie civil*

THEME

**ETUDE D'UN HOTEL A COSSATURE
 AUTOSTABLE (R+M+SS)**

Proposé et Dirigé par :
M^r: R. BIOUD

Etudié par :
FADENE Belkhir
TOUMI Abdelali

Année : 1998/1999

E.N.P 10, AVENUE HASSEN BADI EL-HARRACH- ALGER

الكلمات المفتاحية.

- | | | |
|------------|------------|----------------|
| - منشأة. | - معهد. | - مستقر ذاتيا. |
| - أرضية. | - بساط. | - مقاوم. |
| - الزوايا. | - متناظرة. | - هيكل. |

Key words

- | | | |
|----------------------|--------------|--------------|
| - Autostable. | - Porch. | - Sémitique. |
| - against ventement. | - Sismicité. | - Structure. |
| - Skeleton. | - The plot | - footing |

LES MOTS CLES:

- | | | |
|--------------------|--------------|--------------|
| - Autostable. | - Trame. | - Sémitique. |
| - contreventement. | - Portique. | - Structure. |
| - Ossature. | - Sismicité. | - Semelle. |

يتألف المنشآت في دراسة معاصرة معمارية سياحية معمارية تأثر على علامة
أجزاء متاظرة بالنسبة لمجموع المنشآت أيضاً على أجزاء دائرة الشكل وغير
منتظمة. مستخلصاً في ذلك طريقة حل مشكلة الحساب وهي برنامج أوتوماتيكي

حساب المنشآت MAGE 92

RESUME

Notre travail consiste à étudier une structure ($R+11+SS$) représentant un complexe touristique, elle se compose de plusieurs parties (blocs) séparées par des joints de rupture. Ce complexe est globalement symétrique par rapport à un axe et présente certains difficultés ; telles que les formes de ses parties et les grandes portées de leurs poutres; ceux qui nous rendent l'étude classique très difficile. C'est pour cela, on a utilisé la méthode développée à l'aide du logiciel MAGE.92.

ABSTRACT

Our work consists to study a ($R+11 +SS$) tourist construction which is a very complex. It contains many parts symmetrical and has a disorder circular and irregular forms. We have used a new method of calculation to obtain a good results which is automatically program of calculate MAGE 92.



AVANT PROPOS

Cette thèse n'aurait jamais vu le jour sans la contribution de notre encadreur Mr : BIOUD et de nos amis Mr : Mebarek et Naamen nous les remercions pour l'environnement agréable dans lequel nous avons mené nos travaux.

Nous sommes très honorés de la présence de tous les membres de jury nous les remercions d'avoir accordé un intérêt à nos travaux et accepté d'examiner cette thèse. Qu'ils trouvent ici le témoignage de notre profond respect.

Nos remerciements vont également à toute la famille de l'ENP, tout particulièrement : nos enseignants et le personnel de la bibliothèque et de centre du documentation.

Enfin, il nous est agréable de remercier tous ceux qui ont contribué à notre formation de près ou de loin, depuis les premières lettres de l'alphabet Arabe.

A/A. TOUMI & B. FADENE

الإهداء

أهدى هذا العمل المتواضع إلى أمي الحبيبة
والآباء العزيز راجيا من اللهم يحفظهما كما ربياني صغيرا .
والآباء أخواتي وأخواتي وأسرهم
والآباء كل الأصدقاء والأحباب ومن ساهم في تكويني من قرب أو من بعيد
والآباء كل الأساتذة والآباء كل من يحبه قلبي والآباء الصديق والعدو أيضا والآباء كل
المخلصين في هذه الأرض والحمد لله رب العالمين .

فاذن بلخير

DEDICACE

Je dédie ce modeste travail à mes chers parents .

*A mes frères, mes soeurs et leurs familles, à mes amis, à toute personne que je l'aime, à mes enseignants, à mes ennemis, à toute personnes fidèle dans cette planète, en fin **ELHAMDOU LILAH RABBI EL ALAMINE.***

FADENE Belkhir

DEDICACE

Je dédie ce travail à

Mes très chers parents

Mes frères

Ma seule sœur

Mes amis

Abdelali TOUMI
Abdelali TOUMI

SOMMAIRE

المدرسة الوطنية المتعددة التقنيات
BIBLIOTHEQUE —
المكتبة —
Ecole Nationale Polytechnique

CHAPITRE 0 : *Introduction générale*

❖ Introduction.....	1
❖ Présentation de l'ouvrage.....	2

CHAPITRE I : *Caractéristiques mécaniques des matériaux*

I.1- Béton.....	5
I.2- Acier.....	8

CHAPITRE II : *Charges et surcharges.*

Calcul des charges et des surcharges revenant à chaque élément.....	11
---	----

CHAPITRE III : *Prédimensionnement des éléments*

III.1- Prédimensionnement.....	16
III.1.1- Les poutres.....	16
III.1.2- Les poteaux.....	17
III.2- Classification.....	22
III.2.1- Les différents types des poteaux	22
III.2.2- Prédimensionnement des dalles pleines en B.A.....	25
III.2.3- Prédimensionnement des poutrelles.....	26

CHAPITRE IV : *Calcul des éléments*

IV.1- L'acrotère.....	28
IV.2- Les escaliers.....	31
IV.3- La cage d'ascenseur.....	39
IV.4- Le balcon.....	41

CHAPITRE V : *Etude préliminaire*

V.1- Introduction.....	43
V.2- Description des blocs.....	43

V.3- Introduction des données initiales.....	44
--	----

CHAPITRE VI : Efforts dans la super structure et ferraillage

VI.1- Les poutres.....	59
VI.2- Les poteaux.....	74

CHAPITRE VII : Les fondations

VII.1- résistance des fondations.....	83
VII.2- Classification.....	83
VII.3- calcul des semelles.....	86

Conclusion

- ❖ ***Bibliographie***
- ❖ ***Annexe A (Bloc 1)***
- ❖ ***Annexe B (Bloc 2)***
- ❖ ***Annexe C (Bloc 3)***
- ❖ ***Annexe D (Ferraillage automatique)***

البُرْجَةِ الْوَطَنِيَّةِ الْمُتَدَدِّهِ التَّقْنِيَّاتِ
الْبَكْتِيَّةِ —
Ecole Nationale Polytechnique

INTRODUCTION

MAGE SYSTEME D'ANALYSE DES STRUCTURES :

Objectif :

MAGE est conçu pour l'analyse, modélisation et conception sur l'ordinateur des structures appliquées dans le domaine de **Génie civil**, de travaux publics et de construction mécanique.

MAGE assure l'approche du comportement d'une large gamme de structures : constructions spatiales composées de barres, de plaques, de coques ou d'éléments volumiques, de dalles nervurées sur base élastique ainsi que d'éléments multicouches. Le calcul de ces structures peut s'effectuer pour des charges statiques ou dynamiques. Les charges statiques simulent les sollicitations causées par des effets et moments concentrés ou répartis, champs thermiques ou déplacements composés.

Les charges dynamiques ont pour l'origine le séisme, vent pulsatoire, vibration de l'équipement technologique, chocs et impulsions.

Les structures étudiées peuvent avoir une géométrie curviligne, des affaiblissements locaux, des conditions d'appui les plus diverses.

PRESENTATION DE L'OUVRAGE

Notre projet portant sur l'étude d'un hôtel situé à **BOUMERDES (AFIR°)** est caractérisé par un **groupe d'usage 3**.

D'après le de masse d'architecture, on constate que ce Bâtiment est composé de huit blocs symétriques par rapport à l'axe (**OY**) dont nous intéresserons à l'étude des blocs **A, B et C** représentés respectivement par (**R+12**), (**R+12**) et (**R+2**) voir **Figure (1)**.

Toute fois, le **bloc A (R+12)** présenté certains difficultés d'ordre architectural (Forme complexe, grandes dimensions, poutres inclinées, poutres obliques... etc.) pouvant engendrées des problème particulièrement au niveau des calcul pour palier à ce problème, nous avons adopté une solution qui consiste à créer un joint de rupture permettant de partager le bloc concerné en deux petits blocs dont le premier présente la forme circulaire alors que le deuxième a une forme proche d'un rectangle **figure (2)**.

Cette solution ne modifie en aucun cas la forme géométrique générale et architecturale du plan **figure (3)**.

Enfin, et dans le but d'élaborer la modélisation de ce projet, nous avons employer une méthode de génération automatique en utilisant le logiciel. **MAGE..**

Remarque :

Le **bloc C (R+2)** de forme circulaire présente des inconvénients non seulement sur le plan architectural, mais également sur le plan de se fonction touristique.

On remarque ainsi, que la salle des fêtes comporte un nombre important de poteaux qui gênent souvent le fonctionnement de la salle la raison pour laquelle que l'on a pas prise en considération dans ce travail. A ce sujet on propose une solution que nous considérons adéquate permettant de réduire au maximum le nombre de poteaux pour pallier à ces inconvénients.

VUE EN PLAN :
LES CARACTERISTIQUES GEOMETRIQUES DU PROJET

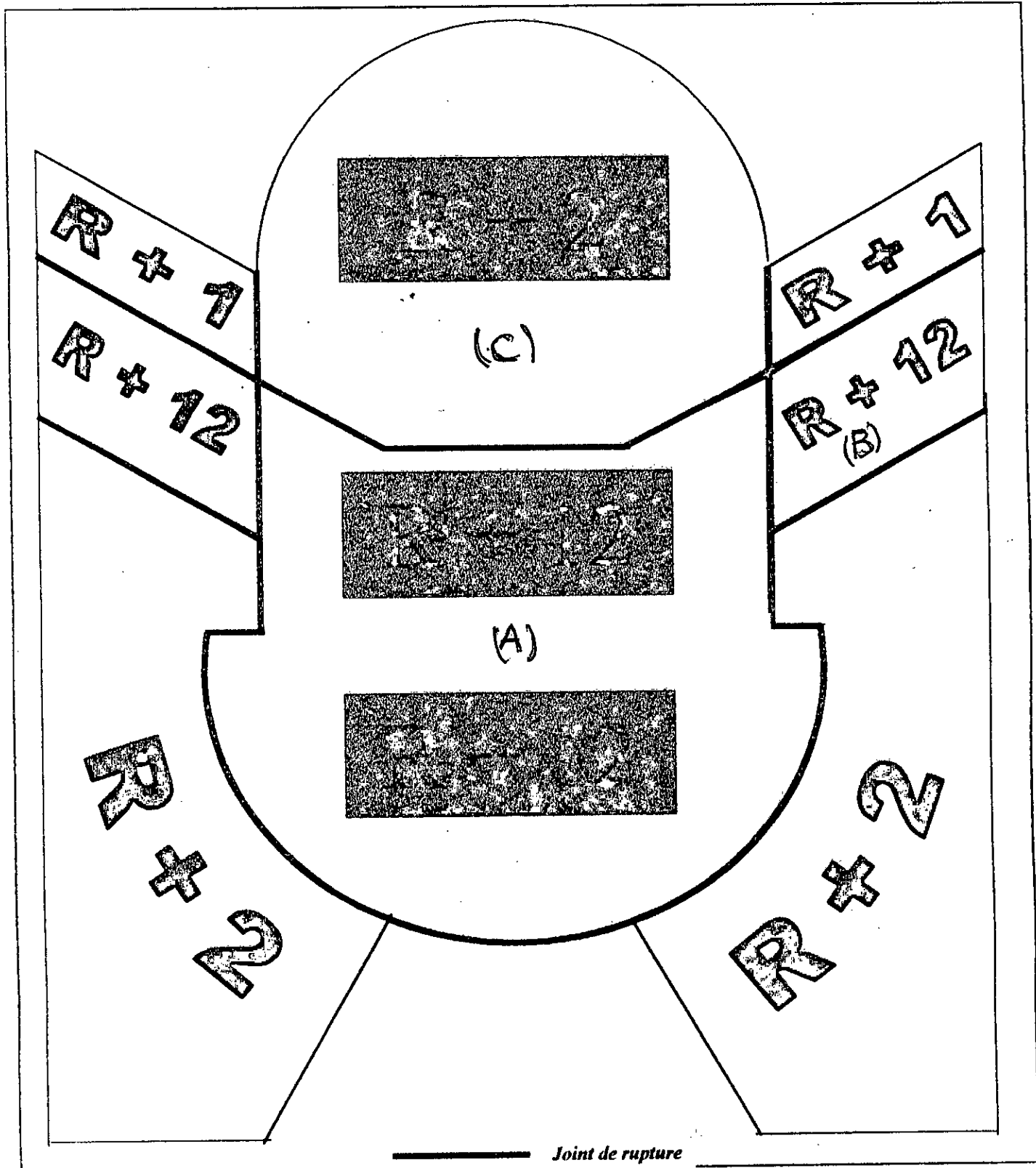


FIGURE (A)

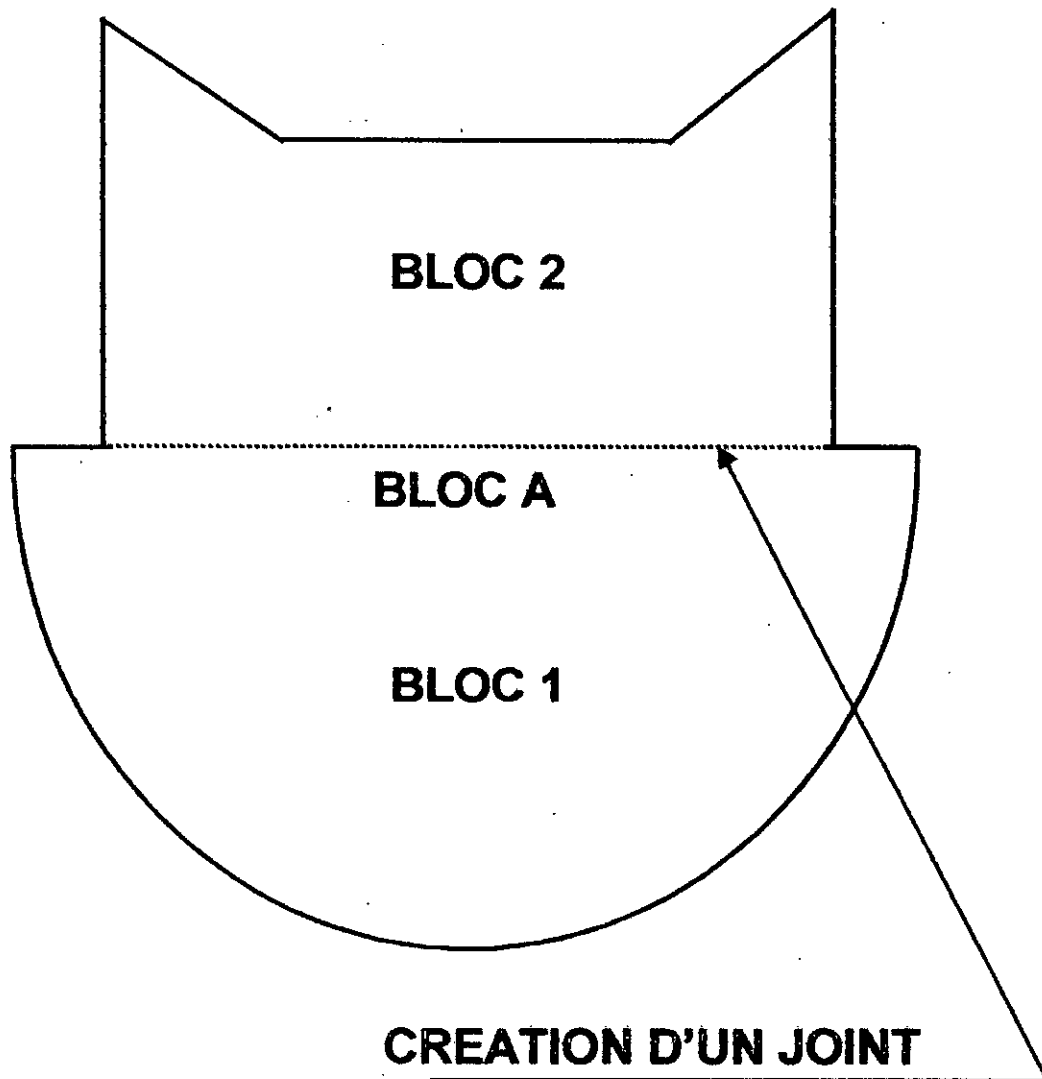


FIGURE 2

VUE EN PLAN :
LES CARACTERISTIQUES GEOMETRIQUES DU PROJET

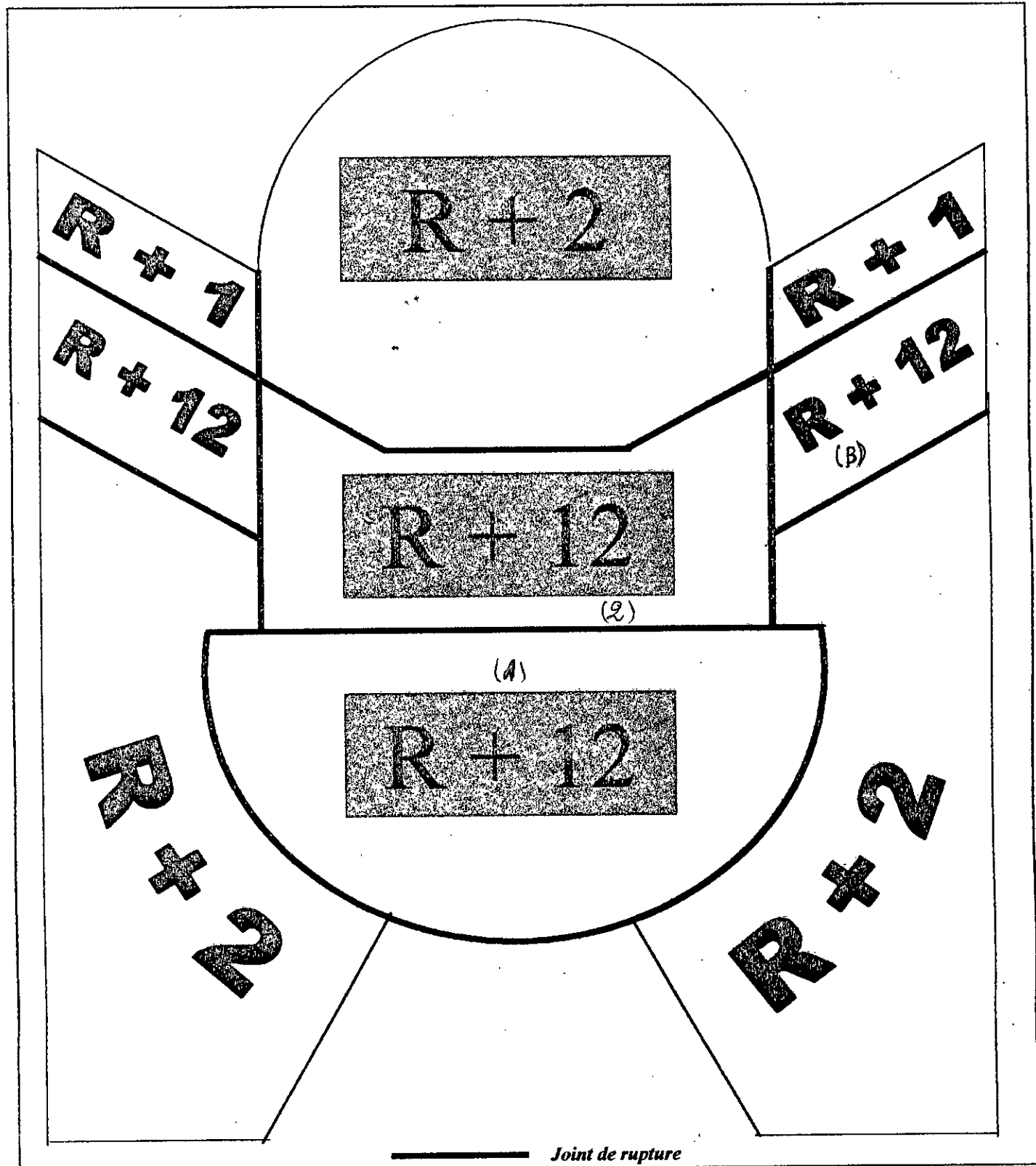


FIGURE (3)

Chapitre I

CARACTERISTIQUES MECANIQUES

DES MATERIAUX

CHAPITRE I

CARACTERISTIQUE MECANIQUE DES MATEREAUX UTILISEES

1- BETON

I.1) RESISTANCE MECANIQUE DE BETON

a- *Résistance à la compression*

Le béton est défini du point de vue mécanique par sa résistance à la compression à 28jours d'âge noté par “ f_{c28} ”. Cette caractéristique est déterminé par essais sur éprouvettes cylindriques normalisées (16 cm de diamètre, 32 cm de hauteur), pour déterminer la résistance à la compression a un âge $j < 28$ jours, on utilise la formule suivante :

$$f_{cj} = 0,685 \log(j + 1)$$

Un béton dosé de 350 kg de ciment présente une résistance moyenne de compression voisine de 25 MPa ($f_{cj}=25$ MPa).

b- *Résistance à la traction*

La résistance caractéristique à la traction du béton à “ J ” jours désigné par f_{tj} est déterminer a partir de la relation suivante :

$$f_{tj} = 0,6 + 0,06 f_{cj} \text{ exprimé en MPa}$$

En particulier pour ($J= 28$ jours) $f_{tj}= 2,1$ Mpa .

1.1- CONTRAINTES LIMITES.

Les règles B.A.E.L. donnent les contraintes suivantes les états limites comme suit :

a : *Contraintes à l'état limite ultime (E.L.U.)*

L'ELU correspond à l'équilibre entre les sollicitations majorées, en supposant que les matériaux atteignent les limites de rupture minorées la contrainte du béton en compression est :

$$f_{bt} = \frac{0,85 f_{c28}}{\gamma}$$

Le coefficient 0,85 est en coefficient réducteur défini par les sections régulières et qui fait compte du risque d'attraction du béton sur les aciers.

$$\gamma_b = 1,15 \text{ action accidentelle}$$

$$\gamma_b = 1,5 \text{ action courante}$$

b- contraintes ultimes de cisaillement

$$\bar{\tau}_n = \min(0,13f_{c28}, 4Mpa) = 3,25Mpa \text{ Fissuration peu nuisible.}$$

$$\bar{\tau}_n = \min(0,10f_{c28}, 3Mpa) = 2,5Mpa \quad \begin{array}{l} \text{Fissuration préjudiciable ou très} \\ \text{préjudiciable.} \end{array}$$

Sachant que la contrainte de cisaillement à l'E.L.U. est définie par $\tau_n = \frac{v_u}{b_o \cdot d}$

Où : v_u est la valeur de l'effort tranchant.

c- Contrainte à l'état limite de service « E.L.S. » :

L'état limite de service correspond à l'équilibre entre les sollicitations d'actions réelles et les sollicitations résistantes cumulées sans dépasser les contraintes limites.

En supposant que les matériaux se déforment dans le domaine élastique, on doit vérifier :

- *- La contrainte du béton comprimé maximale.
- *- La fissuration.
- *- Les déformations.

La contrainte limite à l'E.L.S. de béton comprimé est donnée par :

$$\bar{\delta}_{bc} = 0,6f_{c28} = 15Mpa \quad \text{Pour J = 28 jours.}$$

1-3- DIAGRAMME CONTRAINTES – DEFORMATIONS

Les règles françaises préconisent un diagramme parabole – rectangle à l'ELU et à l'E.L.S. en supposant que les matériaux travaillent dans le domaine élastique.

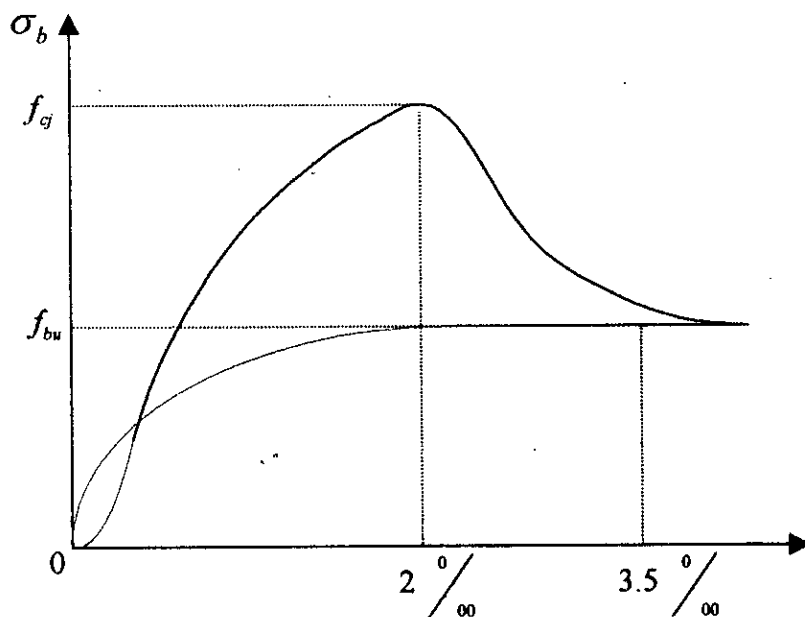


Figure I.1 : diagramme parabole rectangle

1-4- MODELE DE DEFORMATION LONGITUDINALE

Pour un changement d'une durée d'application inférieure à 24 heures, le module de déformation instantanée E_{ij} du béton âgé de « j » jours est déterminé à partir de la formule suivante :

$$E_{ij} = 1100(f_{ij})^{\frac{1}{3}} \quad E_{ij} \text{ exprimé en Mpa.}$$

Pour des charges de longue durée d'application, le module de déformation différé du béton à « j » jours E_{vj} est pris égale à : $E_{vj} = 3700(f_{vj})^{\frac{1}{3}}$ E_{vj} exprimé en Mpa.

Pour une valeur de $f_{c28} = 25 \text{ Mpa}$

$$E_{ij} = 32164,195 \text{ Mpa}$$

$$E_{vj} = 10721,4 \text{ Mpa}$$

1-5- COEFFICIENT DE POISSON « ν » :

$$\nu = \frac{\left(\frac{\Delta a}{a}\right)}{\left(\frac{\Delta l}{l}\right)}$$

Les règles B.A.E.L préconisent, pour le coefficient de poisson, les valeurs suivantes :

$$\nu = 0,2 \text{ à l'ELU}$$

$$\nu = 0 \text{ à l'ELS}$$

2- LES ACIERS :

Les aciers de construction en béton armé se différencient les uns des autres suivant leurs nuances, leurs états de surface (rond lisse, haute adhérence, nuance ...)

2-1- NUANCES DES ACIERS UTILISES

a-Acier Rond Lisse :

*- Acier naturel f_e , E_{24} caractérisé par :

- La limite élastique : 235 Mpa.
- La contrainte de rupture : 410 à 490 Mpa.
- Allongement de l'ordre $\xi = 1,175 \%$.

*- Acier f_e , E_{22} caractérisé par :

- La limite élastique : 215 Mpa.
- La contrainte de rupture : 380 Mpa.
- Allongement de l'ordre $\xi = 1,175 \%$.

b-Acier à haute adhérence « H, A » :

Ce sont des aciers de type 1 de nuance f_e E_{40} caractérisés par :

- La limite élastique : $f_e = 400$ Mpa.
- La contrainte de rupture : 480 Mpa.
- Allongement de l'ordre $\xi = 2 \%$.

c-Module d'élasticité de l'acier « E_s » :

$$E_s = 2 \times 10^5 \text{ MPa.}$$

2-2- CONTRAINTE LIMITES

a-Contrainte à l'état limite ultime :

On adopte un diagramme contraintes déformations de calcul déduit du diagramme représenté ci-dessous par une affinité parallèle à la tangente de l'origine dans le rapport $\left(\frac{1}{\gamma_s}\right)$

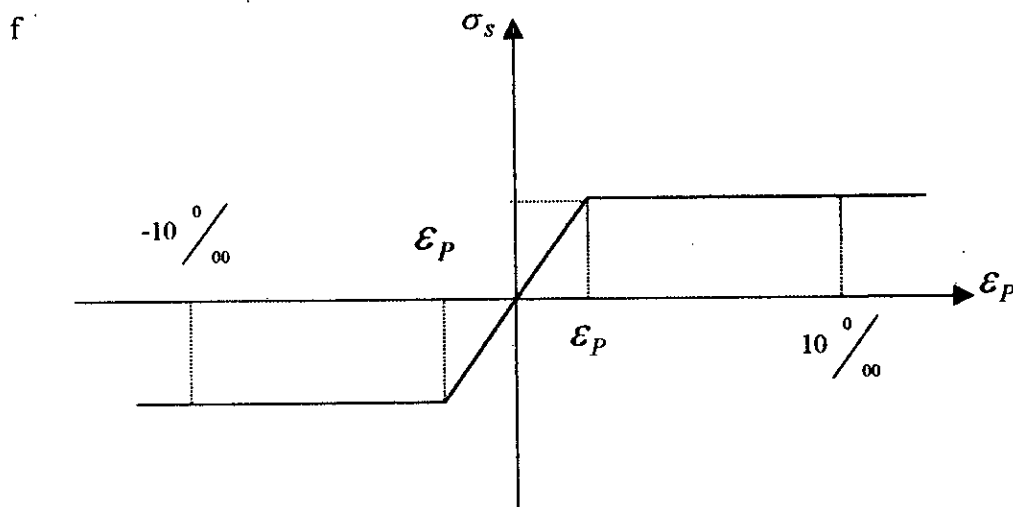


Figure I.2 : diagramme contraintes déformations

γ_s : coefficient de sécurité:

$$\gamma \left\{ \begin{array}{ll} 1 & \text{cas accidentel} \\ 1,5 & \text{cas non accidentel} \end{array} \right.$$

$$\xi = \frac{\Delta L}{L} \quad \text{Allongement unitaire.}$$

$$\gamma_s = \text{contrainte de l'acier} \quad \delta_s = \frac{f_e}{\gamma_s} \quad , \quad \varepsilon_e = \frac{f_e}{\gamma_s} \times E_s$$

Chapitre II

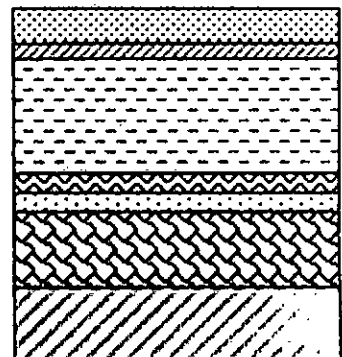
CHARGES ET SURCHARGES

CHAPITRE II

CHARGES ET SURCHARGES

II.1) PLANCHER TERRASSE

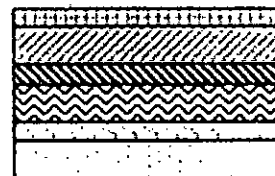
1- Protection gravillons (5cm)	$\rightarrow 0.05 \times 1700 = 85 \text{kg/m}^2$
2- Etanchéité multicouches	$\rightarrow = 10 \text{kg/m}^2$
3- Forme de pente (emoy = 8cm)	$\rightarrow 0.08 \times 2200 = 175 \text{kg/m}^2$
4- Dalle en béton armé	$\rightarrow 0.16 \times 2500 = 400 \text{kg/m}^2$
5- Isolation thermique à liège	$\rightarrow 0.04 \times 400 = 15 \text{kg/m}^2$
6- Ecran par vapeur	$\rightarrow 5 \text{kg/m}^2$
7- Enduit de plâtre (2cm)	$\rightarrow 0.02 \times 1000 = 20 \text{kg/m}^2$



$$\begin{cases} G_T = 710 \text{kg/m}^2 \\ Q_T = 100 \text{kg/m}^2 \end{cases} \quad \sum = 710 \text{kg/m}^2$$

II.2) PLANCHER COURANT

1- Revêtement en carrelage (2cm)	$\rightarrow 0.02 \times 2200 = 44 \text{kg/m}^2$
2- Mortier de pose	$\rightarrow 0.02 \times 2000 = 40 \text{kg/m}^2$
3- Sable de pose	$\rightarrow 0.08 \times 1800 = 54 \text{kg/m}^2$
4- cloisons	$\rightarrow = 75 \text{kg/m}^2$
5- Dalle pleine en corps creux (e=20cm)	$\rightarrow = 280 \text{kg/m}^2$
6- Enduit de plâtre (2cm)	$\rightarrow 0.02 \times 1000 = 20 \text{kg/m}^2$



$$\sum = 515 \text{kg/m}^2$$

$$\begin{cases} G_c = 515 \text{kg/m}^2 \\ Q_c = 175 \text{kg/m}^2 \end{cases}$$

pour le 3^{ème} \longrightarrow 12^{ème} étage

II.3) Plancher RDC et 1,2 étages

$$\begin{cases} G_{RDC} = 515 \text{ kg/m}^2 \\ Q_{RDC} = 400 \text{ kg/m}^2 \end{cases}$$

Les même couches donc même résultats Mais pour les salles des fêtes et conférences
 $Q=600 \text{ kg/m}^2$

II.4) PLANCHER SOUS - SOL

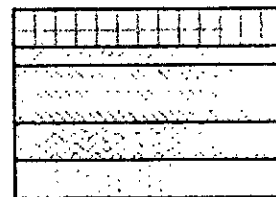
1- Chape en ciment	\rightarrow	100kg/m ²	$\begin{cases} G_{ss} = 600 \text{ kg/m}^2 \\ Q_{ss} = 250 \text{ kg/m}^2 \end{cases}$
2- Dalle en béton armé	\rightarrow	$0.2 \times 2500 = \text{kg/m}^2$	

II.5) HALLE :

$$\begin{cases} G = 440 \text{ kg/m}^2 \\ Q = 400 \text{ kg/m}^2 \end{cases}$$

II.6) LE BALCON

1- Carrelage(2cm)	\rightarrow	44kg/m ²
2- Mortier de pose	\rightarrow	40kg/m ²
4- Sable de pose	\rightarrow	54kg/m ²
5- Dalle en béton armé (15cm)	\rightarrow	375kg/m ²
5- Enduit de plâtre	\rightarrow	20kg/m ²



$$\sum 535 \text{ kg/m}^2$$

Donc :

$$\begin{cases} G = 535 \text{ kg/m}^2 \\ Q = 350 \text{ kg/m}^2 \end{cases}$$

II.7)- LE REMPLISSAGE

1- Enduit de ciment (1.5)cm) $\rightarrow 0.015 \times 2000 = 30 \text{kg/m}^2$

2- Briques creuses (10cm) $\rightarrow 0.1 \times 900 = 90 \text{kg/m}^2$

3- Vides d'air.

4- Briques creuses (10cm) $\rightarrow 0.1 \times 900 = 90 \text{kg/m}^2$

5- Enduit de plâtre (2cm) $\rightarrow 0.02 \times 1500 = 20 \text{kg/m}^2$

$$\sum = 230 \text{kg/m}^2$$

$$\Rightarrow G = 230 \text{kg/m}^2$$

Pour les étages courant $\rightarrow h = 3,00 \cdot (3^{\text{étage}} \rightarrow 12^{\text{étage}})$

II.8) ESCALIER :

❖ Volée d'escalier

1-Paillasse en béton armé ($e=12\text{cm}$) $\frac{2500 \times 0.12}{\cos\alpha} = 345 \text{kg/m}^2$

2-Marches : $\frac{2200 \times 0.16}{2} = 175 \text{kg/m}^2$

3- Revêtement de carrelage 44kg/m^2

4- Mortier de pose 40kg/m^2

5- Sable de pose 54kg/m^2

6- Garde- corps 100kg/m^2

$$\sum 760 \text{kg/m}^2$$

$$\begin{cases} G = 760 \text{kg/m}^2 \\ Q = 250 \text{kg/m}^2 \end{cases}$$

❖ **Les tableaux de charges et surcharges**

t/ml	Trame réguliers I				Trame circulaire III			Trame régulière II	
Terrasse	G	p. centrale	p. rives	p. r. hall	rayon	(C ₁) ₂	(C ₁) ₃	p. centrale	p. r. vechons
Terrasse	G	3.99	2.535	2.715	4.86	1.96	1.96	3.99	2.535
		Q	0.575	0.325	0.350	0.75	0.275	0.275	0.575
Etages courants	G	2.96	2.36	1.765	2.27	1.22	1.22	2.96	2.36
	Q	1.01	0.57	1.4	1.32	1.1	1.1	1.01	0.57
RDC 1,2 étages	G	2.96	2.36	1.765	3.39	1.22	1.22	2.96	2.36
	Q	2.3	1.3	1.4	3	1.1	1.1	2.3	1.3
S. sol	G	3.45	1.96	2.11	4.04	1.66	1.66	3.45	1.96
	Q	1.44	0.82	0.875	1.88	0.69	0.69	1.44	0.82

❖ **Poids propres des poteaux**

Poteaux classes		p. centrale		Poteaux vive	Poteaux circulaires
Classe 1	Etages RDC 1-2	Dimension	a=90	a=70	D=65
		Poids propres	P=2.025	P=1.225	P=0.83
Classe 2	3-4-5-6	Dimension	a=80	a=60	D=55
		Poids propres	P=1.6	P=0.9	P=0.61
Classe 3	7-8-9-10-11-12	Dimension	a=60	a=45	D=45
		Poids propres	P=0.9	P=0.50	P=0.40

❖ **Tableaux des poids propres des poutres**

La longueur de poutres L(m)	La hauteur H (cm)	Largueur B (cm)
2.0 → 3.00	25	15
3.0 → 4.20	25	15
4.20 → 5.50	40	20
5.5 → 7.00	50	25
7.00 → 9.00	70	45

Les poutres qu'on a utilisé sont :

Poutre. centrale (principale) $B=45$ et $H=70\text{cm}$

$$\Rightarrow P_{\text{propres}} \Rightarrow P=0.79\text{t/ml}$$

Poutre. secondaire $B=30\text{cm}$ et $H= 50\text{cm}$

$$\Rightarrow P_{\text{propres}} \Rightarrow P=0.375\text{t/ml}$$

Chapitre III

PREDIMENTIONNEMENT DES ELEMENTS

CHAPITRE III

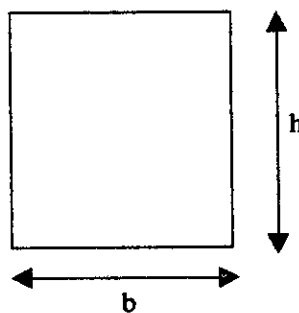
PREDIMENSIONNEMENT DES ELEMENTS

III.1- PREDIMENSIONNEMENT DES ELEMENTS

III.1.1-LES POUTRES

Selon les règles B.A.E.L.91 et R.P.A.88 on a calculé :

$$\begin{cases} \frac{L_{\max}}{15} \leq h \leq \frac{L_{\max}}{10} \\ \text{ou} \\ \frac{h}{L_{\max}} < \frac{M_0}{10M_0} \end{cases}$$



La longueur maximale est de $L = 800\text{cm}$

$$\text{Donc : } h = \frac{L}{12} = \frac{800}{12} = 66.66 \Rightarrow h = 65\text{cm}$$

$$\frac{800}{15} \leq h \leq \frac{800}{10} \Rightarrow 53.33 \leq h \leq 80\text{cm}$$

Donc on prendra :

$$h = 65\text{cm}$$

$$b \in [0.3h, 0.7h] \Rightarrow 19.5 \leq b \leq 45.5\text{cm}$$

$$\text{Par vérification : } \begin{cases} h \geq 30\text{cm} \\ h \geq 20\text{cm} \end{cases}$$

$$\frac{h}{b} = \frac{45}{30} = 1.5 \leq 3 \quad \text{donc } \begin{cases} h = 70\text{cm} \\ b = 45\text{cm} \end{cases} \text{ sont les dimensions choisies}$$

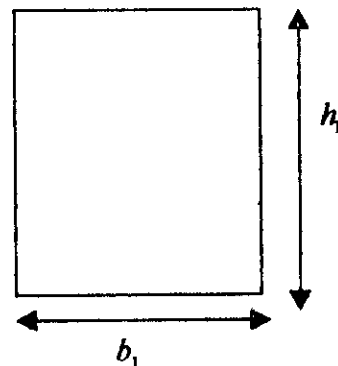
III.1.2- LES POTEAUX

Dans notre structure deux types de poteaux :

- Poteaux de section carrée
- Poteaux de section circulaire.

D'après le R P A 88 on a :

$$\begin{cases} \min(b_1, h_1) \geq 25\text{cm} \\ \frac{1}{3} \leq \frac{b_1}{h_1} \leq 3 \end{cases} \quad \text{en zone II}$$



D'après ces deux formules (conditions)

Telle que :

$$\begin{aligned} N &= 1.1N_u \\ N_u &= 1.35G + 1.5Q \end{aligned}$$

G : charge permanente revient au poteau le plus sollicité de coté « a ».

Q : charge d'exploitation revient au même poteau

On suppose $a = 60 \text{ cm} \Rightarrow$ poteau carré 60×60 .

Dimensionnement des poteaux :

- poteaux de section carré
- poteaux de section circulaire

$$\begin{cases} \min(b_1, h_1) \geq 25\text{cm} \\ \frac{1}{3} \leq \frac{b_1}{h_1} \leq 3 \\ \min(b_1, h_1) \geq \frac{h_e}{20} \end{cases} \quad \text{en zone II}$$

Pour déterminer le côté « a » de section de béton de poteau « a »

Donc

$$S = a^2 = \frac{N}{\bar{\delta}_b}$$

Donc on va calculé N en fonction de « a ».

Pour les poteaux circulaires : les conditions doivent vérifier

$$\begin{cases} D \geq 30\text{cm} \\ D \geq \frac{h_e}{15} \\ \bar{\tau}_b = \rho_d \cdot f_{c25} \end{cases} \quad \text{avec} \quad \begin{cases} \rho_d = 0.075 & \text{si } \lambda \geq 5 \\ \rho_d = 0.05 & \text{si } \lambda < 5 \end{cases}$$

12

$$S = a^2 = \frac{N}{\bar{\delta}_b}$$

11

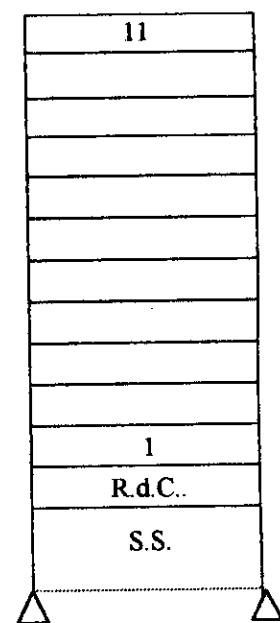
- terrasse (12) :

* p.dalle = $2.5 \times 51.3 \times 0.20 = 25.65 \text{ t}$

* revêtement = $51(3.012 + 0.020 + 2 \times 0.05) = 6.77 \text{ t}$

* poutres = $(2.5 \times 0.7 \times 0.45) \times (9+3.4+2.2) = 11.22 \text{ t}$

Total = 43.91 t



- terrasse (11) : jusqu'au (1)

* p.dalle = $0.280 \times 51.3 = 14.304 \text{ t}$

* p.poutre = $(0.7 \times 0.45) \times 2.5 \times (9+3.4+2.2) = 11.5 \text{ t}$

* p.poteaux = $2.5 \times 300 \times a^2 = 7.5 a^2$

* revêtement = $0.075 \times 51.3 = 3.8475 \text{ t}$

* cloisons = $0.245 \times 51.3 = 12.56 \text{ t}$

Total = 42.27 t

Niveaux (10) = 28.71t, $\Sigma = 29.71 \times 12 = 356.52$ t

$$G = 356.62 t + 99.5 a^2 + 43.39 t$$

$$G = (99.5 a^2 + 399.91) t$$

$$Q_{\text{total}} = 557.637 t$$

Evaluation des surcharges Q :

<u>Habitation</u>	Terrasse	$Q_{12}=0.100 \text{ t/m}^2$
	Niveau (11)	$Q_{11}=0.250 \text{ t/m}^2$
	Niveau (10)	$Q_{10}=0.385 \text{ t/m}^2$
	Niveau (09)	$Q_{09}=0.505 \text{ t/m}^2$
	Niveau (08)	$Q_{08}=0.610 \text{ t/m}^2$
	Niveau (07)	$Q_{07}=0.700 \text{ t/m}^2$
	Niveau (06)	$Q_{06}=0.775 \text{ t/m}^2$
	Niveau (05)	$Q_{05}=0.850 \text{ t/m}^2$
<u>Habitation</u>	Niveau (04)	$Q_{04}=0.925 \text{ t/m}^2$
	Niveau (03)	$Q_{03}=1.000 \text{ t/m}^2$
	Niveau (02)	$Q_{02}=1.150 \text{ t/m}^2$
<u>Bureau</u>	Niveau (01)	$Q_{01}=1.150 \text{ t/m}^2$
<u>Réception</u>	Niveau (00)	$Q_{00}=1.381 \text{ t/m}^2$
<u>Parc</u>	Niveau (SS)	$Q_{ss}=1.515 \text{ t/m}^2$

Calcul de la charge permanente qui revient au poteau le plus sollicité :

Niveau (12)	43.91
Niveau (11)	Niv.(12) + 42.27+7.5 a ² = 86.18 +7.5 a ²
Niveau (10)	Niv.(11) + 42.27+7.5 a ² = 128.45+15 a ²
Niveau (09)	Niv.(10) + 42.27+7.5 a ² = 170.72+22.5 a ²
Niveau (08)	Niv.(09) + 42.27+7.5 a ² = 212.99+30 a ²
Niveau (07)	Niv.(08) + 42.27+7.5 a ² = 255.26+37.5 a ²
Niveau (06)	Niv.(07) + 42.27+7.5 a ² = 297.53+45 a ²
Niveau (05)	Niv.(06) + 42.27+7.5 a ² = 339.8+52.5 a ²
Niveau (04)	Niv.(05) + 42.27+7.5 a ² = 382.07+60 a ²
Niveau (03)	Niv.(04) + 42.27+7.5 a ² = 424.34 +67.5 a ²
Niveau (02)	Niv.(03) + 42.27+7.5 a ² = 466.61+75 a ²
Niveau (01)	Niv.(02) + 42.27+7.5 a ² = 508.88+86.75 a ²
Cloison (-) (00)	Niv.(01) + 42.27+7.5 a ² = 547.3+99.5 a ²
N(SS)	Niv.(00) + 42.27+7.5 a ² = 585.72+109.5 a ²

On suppose que : $\begin{cases} a=70 \text{ cm} \\ Q=575.637 \text{ t} \end{cases}$

$$N_U = 1.35G + 1.5Q \dots N = 1.1N_U$$

$$S = a^2 = \frac{N}{\delta_b} = \frac{N}{67}$$

Calcul de la charge permanente qui revient au poteau le plus sollicité :

$$\begin{aligned} N_u &= 1.35 \times G + 1.5 Q \Rightarrow N = 1.1(1.35 G + 1.5 Q) \\ N &= 1.1 N_u \end{aligned}$$

$$N_U = 1.35G + 1.5Q \dots N = 1.1N_U$$

$$G = 585.72 + 109.5 a^2$$

$$G = 639.375 \text{ t}$$

$$Q=11.221t \Rightarrow N = 967.986 t \cdot 10^3 \Rightarrow (\text{en Kg.})$$

$$S = (N/150) = 6.45324 \cdot 10^3 \text{ cm}^2 = a^2$$

$$\Rightarrow a = 84 \text{ cm}$$

Donc on prend $a = 90 \text{ cm}$ l'état plus défavorable

On calcul

$$D = ?$$

$$S = \frac{\pi D^2}{4} = \frac{N}{6} = 6453.24$$

$$D^2 = (4/\pi) \times 6453.24 \Rightarrow D = 90 \text{ cm}$$

Dimensionnement des poteaux en fonction de la hauteur :

Catégorie (1) $\{ \text{SS-00-niv.1,niv.2.} \} \rightarrow \text{Groupe I}$

Catégorie (2) $\{ \text{niv.3,niv.4,niv.5 niv.6} \} \rightarrow \text{Groupe II}$

Catégorie (3) $\{ \text{niv.7,..... niv.12} \} \rightarrow \text{Groupe III}$

* (a) du S.S et de R.DC \rightarrow Groupe I : $a = 90 \text{ cm}$

* pour le dixième groupe $a = ?$ $G = 457.415 \text{ t}, Q = 7.175 \text{ t.}$

$$N_u = (1.35 \times 457.415 + 1.5 \times 7.175) \Rightarrow N = 1.1 N_u = 691 \text{ t.}$$

$$a^2 = 691 \times 10^3 / 150 = 4607.334 \text{ cm}^2 \Rightarrow a = 67 \text{ cm} \Rightarrow a = 80 \text{ cm}$$

* pour le troisième groupe : $a = ?$ $G = 273.635 \text{ t}, Q = 2.55 \text{ t}$

$$N = 1.1 (1.35 \times 273.635 + 1.5 \times 2.55) = 410.55 \text{ T}$$

$$a^2 = 2737.0 \text{ cm}^2, a = 52 \text{ cm}, a = 60 \text{ cm.}$$

III.2- CLASSIFICATION

III.2.1- LES DIFFERENTS TYPE DES POTEAUX :

* Catégorie 1 : Les poteaux centraux.

Les plus sollicités, on a déjà étudié un cas donc $a = 90 \text{ cm}$.

* Catégorie 2 : Les poteaux de rive
On va calculer les charges et les surcharges.

D'après les calculs on obtient $S = 32 \text{ m}^2$

→ *Terrasse (12)* :

$$* \text{p.dalle} = 2.5 \times 32 \times 0.16 = 12.8 \text{ t}$$

$$* \text{revêtement} = (0.012 + 0.020 + 2 \times 0.05) \times 32 = 4.22 \text{ t}$$

$$* \text{poutres} = \underline{(2.5 \times 0.7 \times 0.45) \times (4.5 + 4.5 + 3.5)} = 9.84 \text{ t}$$

$$\text{Total} = 26.86 \text{ t}$$

→ *Niveau (11) : jusqu'à*

$$* \text{p.dalle} = (0.28 \times 32 + 2.5 \times 2 \times 0.1)$$

$$* \text{poutre} = (0.7 \times 0.45 \times 2.5) \times (4.5 + 4.5 + 3.5) = 9.84 \text{ t}$$

$$* \text{p.poteaux} = (2.5 \times 3 \times 0.25) = 1.88 \text{ t}$$

$$* \text{revêtement} = 0.075 \times 32 = 2.55 \text{ t}$$

$$* \text{cloisons} = 0.245 \times 32 = \underline{7.84 \text{ t}}$$

$$\text{Total} = 31.75$$

II) Pour les Balcons :

12	$Q_0 = 0 \text{ t/m}^2$
11	$Q_0 + Q_1 = 0.35 \text{ t/m}^2$
10	$Q_0 + 0.95 (Q_1 + Q_2) = 0.665 \text{ t/m}^2$
09	$Q_0 + 0.90 (Q_1 + Q_2 + Q_3) = 0.945 \text{ t/m}^2$
08	$Q_0 + 0.85 (Q_1 + Q_2 + Q_3 + Q_4) = 1.19 + 0.61 \text{ t/m}^2$
07	$Q_0 + \{(5+3)/(5+2)\}(5 \times 0.35) = 1.4 \text{ t/m}^2$
06	$Q_0 + \{(6+3)/(6+2)\}(6 \times 0.35) = 1.576 \text{ t/m}^2$
05	$Q_0 + \{(7+3)/(7+2)\}(7 \times 0.35) = 1.75 \text{ t/m}^2$
04	$Q_0 + \{(8+3)/(8+2)\}(8 \times 0.35) = 1.925 \text{ t/m}^2$
03	$Q_0 + \{(9+3)/(9+2)\}(9 \times 0.35) Q_0 = 2.1 + 1 \text{ t/m}^2$
02	$Q_0 + \{(10+3)/(10+2)\}(10 \times 0.35) Q_0 = 2.275 \text{ t/m}^2$
01	$Q_0 + \{(11+3)/(11+2)\}(11 \times 0.35) = 2.45 \text{ t/m}^2$
RDC	$Q_0 + \{(12+3)/(12+2)\}(11 \times 0.35 + 0.4) = 2.66 + 1.38 \text{ t/m}^2$
SS	$Q_0 + \{(12+3)/(12+2)\}(11 \times 0.35 + 0.4 + 0.2) = 2.77 \text{ t/m}^2$

$$Q_{\text{SS.Balcon}} = 2.77 \times 2 = 5.54 \text{ t}$$

$$Q_{\text{Total}} = 48.48 + Q_{\text{ss.Balcon}} = 54.02 \text{ t} \Rightarrow Q_{\text{Tot}} = 54.02 \text{ t}$$

$$N_u = 1.35 G + 1.5 Q = 1.35 \times 408.32 + 1.5 \times 54.02 = 632.262 \text{ t}$$

$$N = 1.1 N_u = 695.4882 \cdot 10^3 \text{ Kg.}$$

$$S = a^2 = \frac{N}{\delta_{bc}} = 4636.58 \text{ cm}^2 \Rightarrow a = 68.09 \text{ cm}$$

a = 70 cm → pour SS et RDC + 1 étage.

Pour : 2 étage + 3 + 4 + 5 étage ⇒ G = 310.99 + Q = 2.275 × 2 + 1.075 × 32 = 38.95 t

$$\Rightarrow (1.35 G + 1.5) \times 1.1 = 526 \text{ t} \Rightarrow a^2 = \frac{N}{\delta_{bc}} = \frac{526 \text{ t}}{150} \times 10^3 = 3507.25 \text{ t}$$

$$\Rightarrow a = 59.22 \text{ cm} \Rightarrow a = 60 \text{ cm}$$

Pour [6 étage 9 étage] : $G = 184.75 \text{ t}$

$$Q = 1.576 \times 20 + 0.775 \times 32 = 27.952 \text{ t}$$

$$N = 1.1 (1.35 \times 184.716 + 1.5 \times 27.95) = 320.42 \text{ t}$$

$$\Rightarrow a = \frac{N}{\delta_{bc}} = 46 \text{ cm}$$

Donc étage : 6 → 12 $\Rightarrow a = 415 \text{ cm}$

Catégorie 03 : Les poteaux circulaires :

La section chargée est donnée par : 21.6 m^2

On calcul la charge G :

Terrasse (12) :

- P.dalle = $2.5 \times 21.6 \times 8.64 \text{ t}$
- P.revêtement = $(0.012 + 0.012 + 2 \times 0.05) \times 21.6 = 2.8512 \text{ t}$
- Poutre = $(2.5 \times 0.7 \times 0.45) \times (9.0 + 2.4) = 8.9775 \text{ t}$

Total : 20.468 t

Niveaux (11) jusqu'à SS :

- p.dalle = $0.28 \times 21.6 = 6.04 \text{ t}$
- p.poutre = $(0.7 \times 0.45 \times 2.05) \times (9 + 2.4) = 8.9775 \text{ t}$
- p.poutre = $(2.5 \times 3 \times 0.28) = 2.11 \text{ t}$
- p.revêtement = $0.075 \times 21.6 = 1.62 \text{ t}$
- cloisons = $0.245 \times 21.6 = 5.292 \text{ t}$

Niveau (12) : terrasse	20.468 t
Niveau (11)	20.468 + 24.04 = 44.5 t
Niveau (10)	68.54 t
Niveau (09)	92.5487 t
Niveau (08)	116.5887 t
Niveau (07)	140.6287 t
Niveau (06)	164.6687 t
Niveau (05)	188.70 t
Niveau (04)	212.74 t
Niveau (03)	236.78 t
Niveau (02)	260.82 t
Niveau (01)	284.86 + 2.5 x 1.7 x 0.28 = 286.058 t
RDC	311.5687 t
SS	336.30 t
SS (sans cloison)	281.30 t

$$G = 336.3 \text{ t.} ; \quad Q = 2.090 \times 21.6 / 2.09 = 45.144 \text{ t}$$

$$N = 1.1 (1.35 \times 281.30 \times + 1.5 \times 45.144) = 491.98 \text{ t}$$

$$\frac{\pi D^2}{4} = \frac{N}{\delta_{bc}} \Rightarrow D = 64 \text{ cm} \Rightarrow D = 65 \text{ cm}$$

pour (SS + RDC + 1) → D = 65 cm ; (2.....6) étage ; D = 55...D₆₋₁₂ = 45 cm

III.2.2 : PREDIMENSIONNEMENT DES DALLES PLEINES EN B.A :

Pour des dalles pleines (plancher du sous-sol) ; d'après les règles B.A.E.L.91. Art. A5.2,42 :

$$Q_u = (0.05 + 1.5\rho) \times \frac{d \times U_c}{\gamma_b} f_{c28}$$

Avec :

- * $\rho = 0.015$ (en général) pourcentage moyen d'armatures horizontales
- * U_c : le paramètre du contour
- * d : hauteur utile de la dalle

$$U_c = (5 + 9) \times 2 = 28 \text{ m}$$

$$\gamma_b = 1.5$$

$$f_{c2} = 25 \text{ Mpa.}$$

$$Q_u = 1.35 \times G + 1.5 \times q = 1.35 \times 126 + 1.50 \times 67.5 = 271.35 \text{ KN.}$$

$$Q_u = 271.35 \text{ KN.}$$

Donc :

$$d = \frac{Q_u \times \gamma_b}{f_{c2}(0.05 + 1.5\rho_l)U_c} \Rightarrow d \approx 15.53 \text{ cm}$$

$$\text{On prend } d = 16 \text{ cm}$$

III.2.3 : PREDIMENTONNEMENT DES POUTRELLES :

Pour les dalles à table de compression d'après les règles

BAEL 91 Art. B.7.2, 2; l'épaisseur minimale d'un hourdis coulé en place et de 4 cm, s'il est associé à des entrevois résistants (en béton). 5 cm pour les autres cas.

Donc :

$$\text{on adopte } 4 \text{ cm} \Rightarrow h = 16 + 4 = 20 \text{ cm}$$

$$l_{(\text{poutrelle})} = 60 \text{ cm} \Rightarrow b = 2 \times b_1 + b_0 = 60 \text{ cm}$$

Selon B.A.E.L 91 art A.51,1 :

$$\tau_u = \frac{V_u}{b_0 \times d}$$

V_u : l'effort tranchant .

$$d = h$$

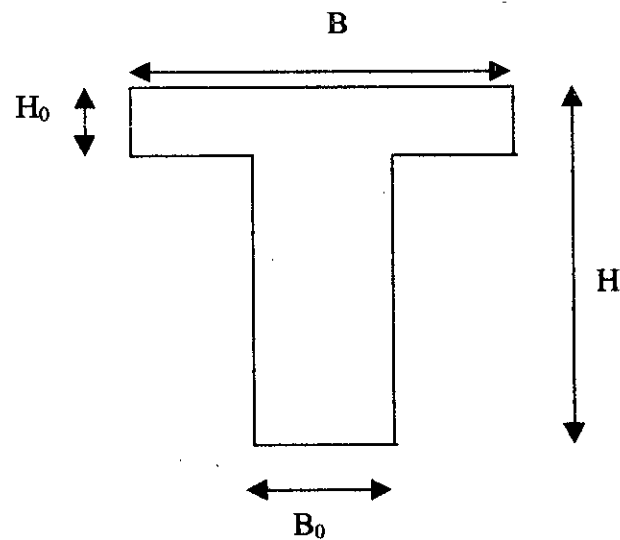
$$V_u = 1.35 G + 1.5 Q = 18.09 \text{ KN}$$

$$\Rightarrow V_u = 18.09 \text{ KN.}$$

$$b_{o\min} = \frac{V_u}{\tau_u \times d} \Rightarrow b_{o\min} = \frac{1.809 \times 10^3}{20 \tau_u} = \frac{90.45}{\tau_u}$$

$$\tau_{u\max} = 1.5 \text{ min MPa. ; } b_0 = 90.45 / 1.5 \times 10 = 6.03 \text{ cm}$$

On prend : $b_0 = 8 \text{ cm}$



Chapitre IV

CALCUL DES ELEMENTS

CHAPITRE IV

CALCUL DES ELEMENTS

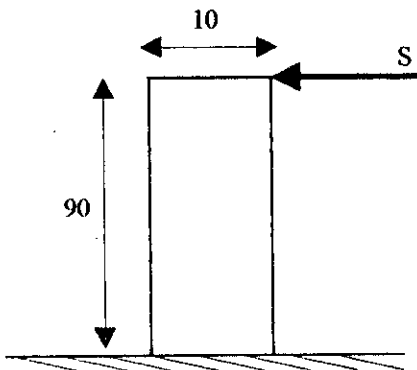
IV-1 CALCUL DE L'ACROTERE

L'acrotère est assimilé à une console encastrée dans la dalle du plancher terrassé.

La hauteur : $H = 90 \text{ cm}$

Son épaisseur : $e = 10 \text{ cm}$

* poids propre de l'acrotère :



$$\begin{cases} G = H \times 2500 \times 1 \\ G = 225 \text{ kg / ml} \end{cases}$$

* la surcharge P est due à l'application de la main courante de 100 kg.

$$S = 1.2.P = 1.2.100 = 120 \text{ kg}$$

$$S = 120 \text{ kg}$$

La console sera calculée en flexion composée sous l'effet d'un effort normal :

$$N = G = 225 \text{ kg/ml}$$

Et un moment M d'enca斯特rement :

$$M = S.H = 120 \times 0.9 = 108 \text{ kg.m}$$

L'excentricité :

$$e_0 = \frac{M}{N} = \frac{108}{225} = 0.48\text{m}$$

$$\frac{h_t}{6} = \frac{10}{6} = 1.66\text{cm} = 0.016\text{m}$$

$$\Rightarrow e_0 > \frac{h_t}{6}$$

Donc la section est partiellement comprimée

IV.1.1- FERRAILLAGE

Le ferrailage calculé à partir des efforts M et N est inférieur à la section d'acier minimum prescrite par les règlement CCBA68 alors on ferraille par la condition de non fragilité (C.C.B.A.68. Art52).

$$b = 100 \text{ cm}$$

$$h = h_t - d = 10-2 = 8$$

$\bar{\sigma}_b = 5.8 \text{ Kg/cm}^2$ contrainte admissible de traction du section

$$A \geq 0.69 \times 100 \times 8 \times (5 \times 8) / 4200 = 0.76 \text{ cm}^2$$

Soit :

$$A = 4 \times H \times A_6 / mL = 1.13 \text{ cm}^2$$

$$S_t = 25 \text{ cm} < S_c = 33 \text{ cm}$$

a- condition de non-fissuration :

$\bar{\sigma}_a = \min [2/3 \sigma_{on}, \max (\sigma_1, \sigma_2)]$, ou σ_1, σ_2 les contraintes de traction :

$$\sigma_1 = K \frac{\eta}{\phi} \frac{\bar{\omega}_f}{(1+10\bar{\omega}_f)}, \sigma_2 = 2.4 \sqrt{\frac{K}{\phi} \bar{\sigma}_b}$$

$$K = 1 \times 10^6$$

$$\eta = 1.6$$

$$\phi = 6 \text{ mm}$$

$$\sigma = 492.08 \text{ Kg/cm}^2$$

$$\sigma = 2984.75 \text{ Kg/cm}^2$$

$$\text{Min (2800, 2984.75)}$$

Pas de risque de fissuration

b-Verificaton à l'effort tranchant :

On doit vérifier la condition suivante : A

Donc les armatures tendues ne sont pas soumises à l'effort de traction, donc aucune justification n'est nécessaire pour l'ancrage des barres

c vérification au séisme local :

L'acrotère est soumise à une force horizontale de direction quelconque due au séisme local, cette force est supposée agir seul (P.S 69 Art 8.33).

$$F_H = \sigma \times W$$

σ : coefficient local sismique uniforme

$$\sigma = 0.2 + 0.1 \times \alpha; \quad \alpha = 1 \text{ zone II}$$

W : poids total de l'acrotère soumis à l'action sismique

$$W = G = 225 \text{ Kg/ml}$$

$$F_H = (0.2 + 0.1 \times 1) = 67.5 \text{ Kg/ml}$$

d- Calcul des armatures :

$$A = \frac{rb^M}{\gamma h \bar{\sigma}_a} - \frac{H^F}{\bar{\sigma}_a}; \quad Mrb : \text{moment résistant du béton.}$$

$$Mrb = 0.5 \bar{\alpha} \bar{\gamma} \bar{\sigma} b h^2$$

$$= 0.5 b y \bar{\sigma} \left(h - \frac{y}{3} \right)$$

avec

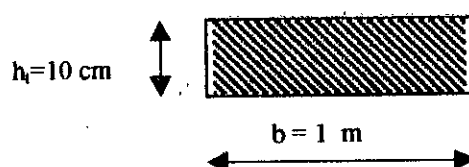
$$\bar{\sigma} = 137.5 \text{ Kg/cm}^2$$

et

$$\bar{\alpha} = \frac{n \sigma_b}{\bar{\sigma} + n \sigma_b}; \quad \bar{\gamma} = 1 - \frac{\bar{\alpha}}{3}; \quad y = \frac{n \bar{\sigma}_b}{\bar{\sigma}_a + n \bar{\sigma}_b} h$$

$$n = 15 \rightarrow y = 4.24 \text{ cm}$$

$$Mrb = 2.5 \text{ t.m}$$



* Calcul du moment par rapport aux aciers tendus :

$$M = M + N \times F = 0.115 \text{ t.m}$$

$$M_{rb} = 2.5 \text{ t.m} > M = 0.115 \text{ t.m}$$

Alors les armatures comprimées ne sont pas nécessaires. Mais dans la pratique on prend le minimum (R.P.A.88) $A_{sc} = 0.10 \text{ cm}^2$

* Détermination des armatures tendues :

On calcule la section en flexion simple sous l'effet du moment M par rapport aux aciers tendus, puis on déduit la section en flexion composée.

$$\mu = \frac{15M}{\sigma_a b h^2} = 0.00616$$

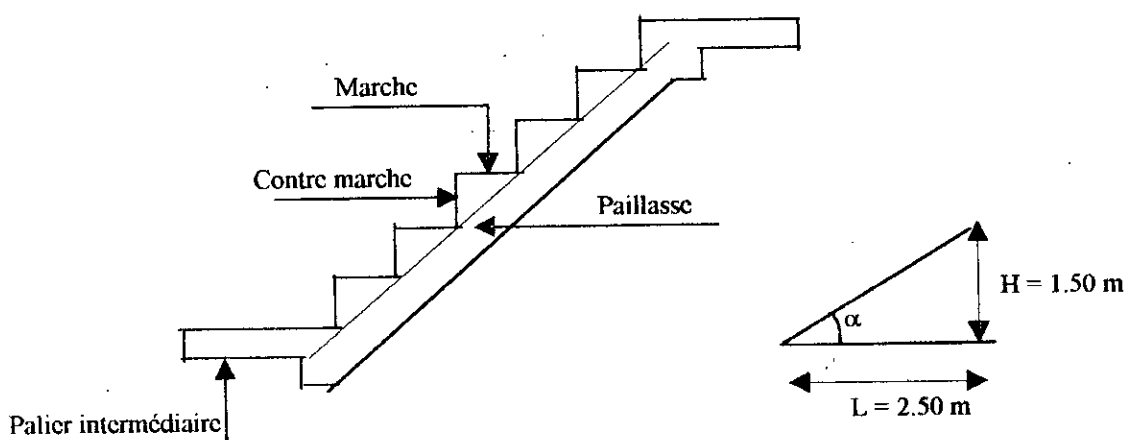
→ $\varepsilon = 0.9653$

$\mu = 0.00616$ $\Rightarrow A_1 = \frac{M}{\bar{\sigma}_a \varepsilon K} = 0.31 \text{ cm}^2$
 → $K = 135.6$

$$\text{En flexion composée } A = A_1 - \frac{M}{\sigma_a} = 0.31 \text{ cm}^2$$

Cette section calculée est très faible, on adoptera une section imposée par la condition de non-fragilité.

IV-2- CALCUL DES ESCALIERS



IV 2-1 DIMENSIONNEMENT

g : giron de marche

$$g = 1/n = 3/10 = 30 \text{ cm}$$

h : contre marche

Etant donné : $h = 15.3$ donc le nombre de marche :

$$n = 1.55/0.153 = H/h = 10$$

* L'angle d'inclinaison est : $\operatorname{tg}\alpha = H/h = 1.55/3 = 0.516$.

On vérifie la relation de BLONDEL : $60 \leq g+2h \leq 64$

$$G+2h = 60.6 < 64$$

Paillasse :

$$L/30 < e < L/20 ; \text{ avec } L = 3.37 \text{ m}$$

$$0.11 < e < 0.168 \Rightarrow 11 \text{ cm} < e < 16.8 \text{ cm}$$

On prend $e = 12 \text{ cm}$

Predimensionnement de l'escalier :

a) Etage courant : 2 → 12

$$14 \text{ cm} \leq h \leq 25 \text{ cm.}$$

$$25 \text{ cm} \leq g \leq 32 \text{ cm.} \quad l' = 2.50 \text{ cm}$$

$$n h = h e / 2 ; (n-1)g = l'$$

$$54 \leq 2h+g \leq 66$$

Et la longueur de palier de repos $\geq 1.20 \text{ cm}$

$$\Rightarrow n = E\left(\frac{he}{2h}\right) \text{ pour } h = 16 \text{ cm} \Rightarrow n = E(300/9) = 9$$

Donc il y a marche de largeur $g = 2.50 / 8 = 31.5 \text{ m}$

Vérification :

$$2h + g = 32 + 31.5 = 63.5 \leq 66 \Rightarrow 54 \leq 2h + g \leq 66$$

L'inclinaison de la pailasse :

$$\operatorname{tg} \alpha = \frac{h}{g} \Rightarrow \operatorname{Arctg} \left(\frac{h}{g} \right) = ? \Rightarrow \alpha = 26^\circ, 92 = 27^\circ$$

Epaisseur de la pailasse :

$$\cos \alpha = \frac{l'}{l} \Rightarrow l = \frac{l'}{\cos \alpha} \Rightarrow l = 280 \text{ cm}$$

$$l / 30 \leq e \leq l / 20 \Rightarrow 9.33 \leq e \leq 14 \text{ cm} \Rightarrow e = 12 \text{ cm}$$

Vérification: $h = 2 n h + \text{palier} (12 + 6)$

$$= 288 + 18 = 300 \text{ cm}$$

b)- Etage : 1

$$h = 16$$

$$n = \left(\frac{he}{2h} \right) = E (470 / 2 \times 16) = 14 \Rightarrow n = 14$$

$$g = 31.5 \text{ cm}$$

Donc il y a 13 marche de largeur $g = 2.50 / 13 = 19.23$ ne vérifie pas la condition donc dans ce cas on change $g = 31.5 \text{ cm}$ $n = E (470 / 31.5) = +1$

$$n = 15$$

Donc dans ce cas $h = (470 / 2.15) = 15$

Vérification :

$$54 \leq 2h + g \leq 66$$

$$54 \leq 2 \times 15 + 31.5 = 61.5 \leq 66.$$

L'inclinaison de la paillasse :

$$\operatorname{tg} \alpha = h/g \quad \operatorname{Arctg}(h/g) = 0 \Rightarrow \operatorname{Arctg}(15/31.5)$$

$$\Rightarrow \alpha = 25^{\circ},46$$

Epaisseur de la paillasse :

$$\cos \alpha = \frac{l'}{l} \Rightarrow l = \frac{l'}{\cos \alpha} \Rightarrow l = 250/0.90 = 276.89 \text{ cm}$$

$$276.89/30 \leq e \leq 276.9/20 \Rightarrow 9/23 \leq e \leq 13.84$$

$$\Rightarrow e = 12 \text{ cm}$$

* Etage SS, $l = 2.50 \text{ m}$ - $h = 4 \text{ m}$

$$h = 18 \text{ cm} \Rightarrow n = E(400/218) = 11$$

$$(n-1)x g = l'$$

$$54 \leq 2h + g \leq 66$$

$$nh = he/2 \Rightarrow nh = 200 \text{ cm}, \quad n = 12 \Rightarrow h = 200/12 = 16 \text{ cm}$$

$$g = 250/10 = 25$$

$$\left. \begin{array}{l} 25 \leq g \leq 32 \\ 14 \leq h \leq 25 \end{array} \right\} \Rightarrow 54 \leq 36 + 25 \leq 66$$

$54 \leq 61 \leq 66$ est vérifiée

$$\operatorname{tg} \alpha = 18 / 25 \Rightarrow \alpha = 35^0.75$$

Epaisseur de la paillasse :

$$\cos \alpha = l' / l \Rightarrow l = l' / \cos \alpha = 250 / 0.81 = 308 \text{ cm}$$

$$l / 30 \leq e \leq l / 20 \Rightarrow 10.27 \leq e \leq 15.4$$

$$\Rightarrow e = 12 \text{ cm}$$

Etage RDC :

$$h_e = 5.20 \text{ cm}, h = 20 \text{ cm}$$

$$\Rightarrow n = E (h_e / 2h) = 520 / h = 26$$

$$h = 20, n = 26$$

$$(n-1)g = l' \Rightarrow 25g = 650 \Rightarrow g = 26 \text{ cm}$$

Donc :

$$\operatorname{tg} \alpha = 20 / 26 \Rightarrow \alpha = 35^0.57$$

Vérification :

$$54 \leq 2 \times 20 + 25 \leq 66$$

Epaisseur de la paillasse :

$$\cos \alpha = l' / l \Rightarrow l = l' / \cos \alpha = 658 / \cos \alpha = 820 \text{ cm}$$

$$820 / 30 \leq e \leq 820 / 20 \Rightarrow 27.33 \leq e \leq 41$$

$$\Rightarrow e = 30 \text{ cm}$$

Etude des inclinaisons :

G = giron de la marche

$$G = 250 / 8 = 31.5 \text{ cm}$$

H : contre marche.

$$H = 150 / 9 = 16 \text{ cm}$$

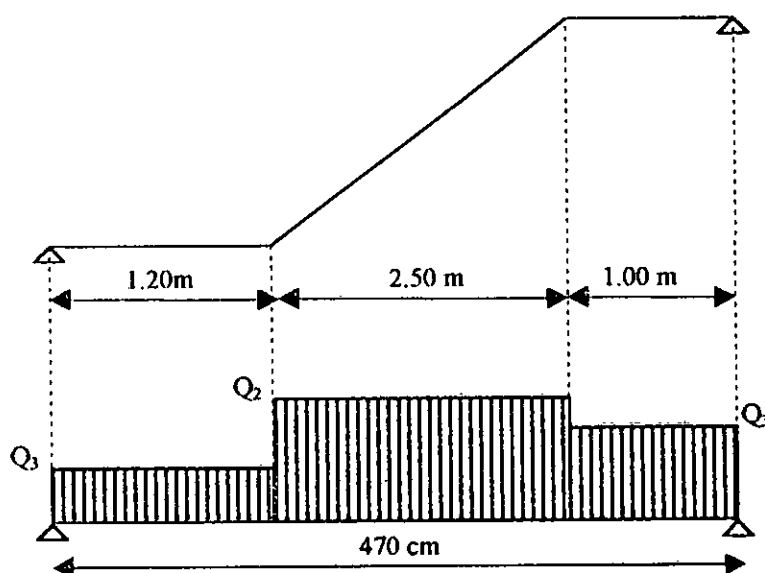
L'angle de l'inclinaison :

$$\operatorname{tg} \alpha = h/g = 16 / 31.5$$

$$\Rightarrow \alpha = 26^{\circ}.92 \cong 27^{\circ}$$

On calcule avec la méthode statistique de RDM. (avant le calcul on donne les sollicitations maximales pour les escaliers).

- Calcul des sollicitations :



Evaluation des charges et surcharges :

1- charges :

* Poids de la paillasse d'épaisseur $e = 2500 \times 0.12 / \cos\alpha = 0.336 \text{ t/m}^2$

* Poids des marches : $200 \times h / 2 = 0.176 \text{ t/m}^2$

* Mortier de pose + enduit plâtre $= 0.068 \text{ t/m}^2$.

2 – Surcharges :

$$P = 0.25 \text{ t/m}^2$$

$$Q = G + 1.5 q = 0.955 \text{ t/m}^2$$

* Calcul des efforts :

$$R_1 = R_2 = q L / 2 = 0.955 \times 2.5 / 2 = 1.4375 \text{ t/ml}$$

$$T_{max} = Q L / 2 = 2.4 \text{ t/ml}$$

$$M_{max} = Q l^2 / 8 = 2.66 \text{ t/m}$$

$$M_t = 0.85 M_{max} = 2.24 \text{ t.m / m.l}$$

$$M_{ap} = 0.2 M_{max} = 0.52 \text{ t.m / m.l}$$

* Ferrailage :

$$\text{En travée } \mu = 0.022 \rightarrow \begin{cases} \xi = 0.9351 \\ K = 62 \end{cases}$$

$$A_t = \frac{M_t}{\bar{\delta} \times \xi \times h} = 1.88 \text{ cm}^2$$

On adopte :

$$A_s = 4.2 \text{ cm}^2 = 5 \text{ HA12}$$

$$M_{ab} = 0.5 \times b \times \bar{\delta}_b \times \left(h - \frac{X}{3} \right) = 3.53 \text{ t.m / m.l} > M_t$$

→ Pas d'armature de compression.

Armature de répartition :

$$A_r = A_t / 0.5 \text{ cm}^2$$

Soit : $A_s = 2.85 \text{ cm}^2 = 4\text{HA}10 \text{ appuis}(3\text{HA}10)$

Aux appuis :

$$\mu = 0.0049 \rightarrow \begin{cases} \epsilon = 0.9071 \\ K = 38.8 \end{cases}$$

$$A_{op} = 2.437 \text{ cm}^2$$

$$A_{ap} = 3\text{HA}10 = 2.35 \text{ cm}^2$$

$$A_r = 2.35 \text{ cm}^2 \rightarrow 3\text{HA}10$$

Vérification du cisaillement :

$$T_{max} = 1,4 \text{ t / ml.}$$

$$\tau_b = \frac{T}{b \times Z} = 1,33 \text{ Kg/m} \Rightarrow \tau_b < \bar{\tau}_b$$

Donc les armatures transversales ne sont pas nécessaires.

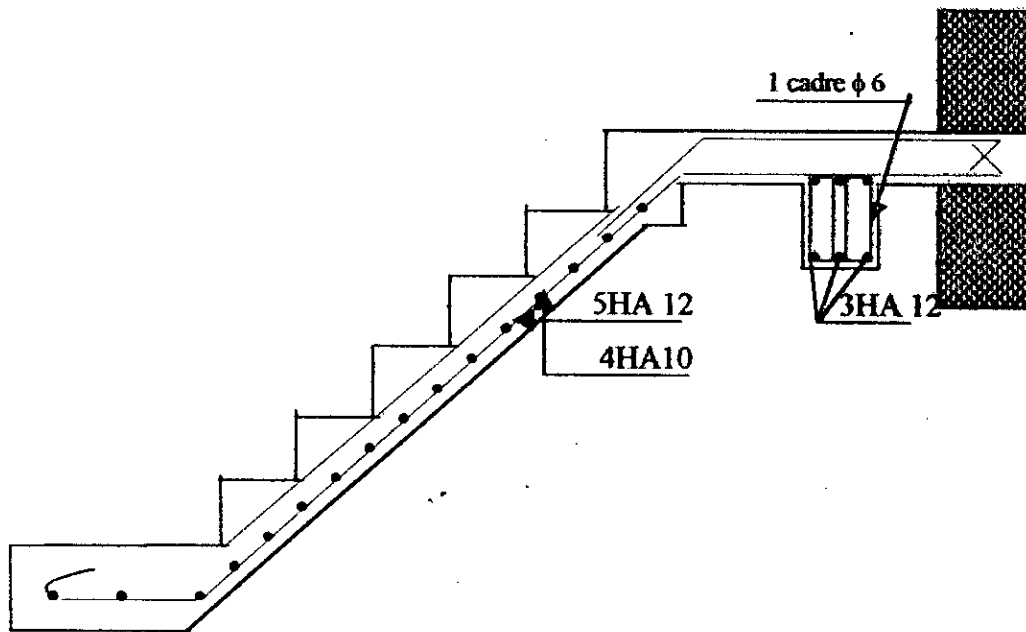
Condition de non fragilité :

$$A_t \geq 0.69bh \frac{\bar{\delta}}{\delta_{2n}} 1.14 > A_{ap}$$

Pour les appuis, on prend :

$$A_{ap} = A_f \quad 5\text{HA}10 = 2.41 \text{ cm}^2$$

- Les armatures longitudinales : $A_l = 5\text{HA}12$
- Les armatures de répartition : $A_r = 4\text{HA}10$ aux appuis 3HA10
- Pour les appuis on prend : $A_p = A_f = 5\text{HA}10$



IV-3-CAGE D'ASCENSEUR

Les ascenseurs ont été normalisé sur le plan international. trois types ont été définis basé la charge transportée (400Kg, 630Kg, 1000Kg), associé d'une gamme de vitesse (0.63 ; 1 ; 1.60 ; 2.5 m/s). Donc on prend une cage d'ascenseur la norme N.F.82-201 (donne les caractéristiques -feu de la cage, la charge nominale 700Kg).

L'épaisseur $\geq 20 \text{ cm}$. $e = 22 \text{ cm}$

$$\begin{aligned} \text{la charge } Q' &= 700 \text{ Kg} \\ \text{contre poids } Q'' &= 700 \text{ Kg} \end{aligned}$$

Donc :

$$Q = Q' + Q'' = 1400 \text{ Kg}$$

A la base :

$$G = 0.22 \times 2500 \times (4.08 + 2.72 + 6 \times 3.06)$$

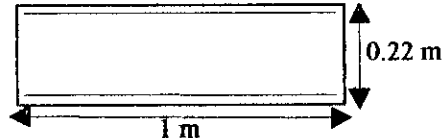
$$G = 13838 \text{ Kg / ml}$$

$$Q = 1400 / 1.4 = 1000 \text{ Kg / ml}$$

Donc

$$N_u = 20181.3 \text{ Kg}$$

Compression simple :



1-BAEL 83

$$A_{smax} = 5 / 100 ab = 110 \text{ cm}^2$$

$$A_{smin} = \max (4.4 ; 0.2 / 100 ab) = \max (9.76 ; 4.4) = 9.76 \text{ cm}^2$$

2 -R.P.A.88 (Article 4; 3; 2; 3) :

Les armatures sont constituées de deux nappes le pourcentage minimum est de 0.10% dans le sens vertical (zone courante) et égale 0.15% (globalement dans la section verticale).

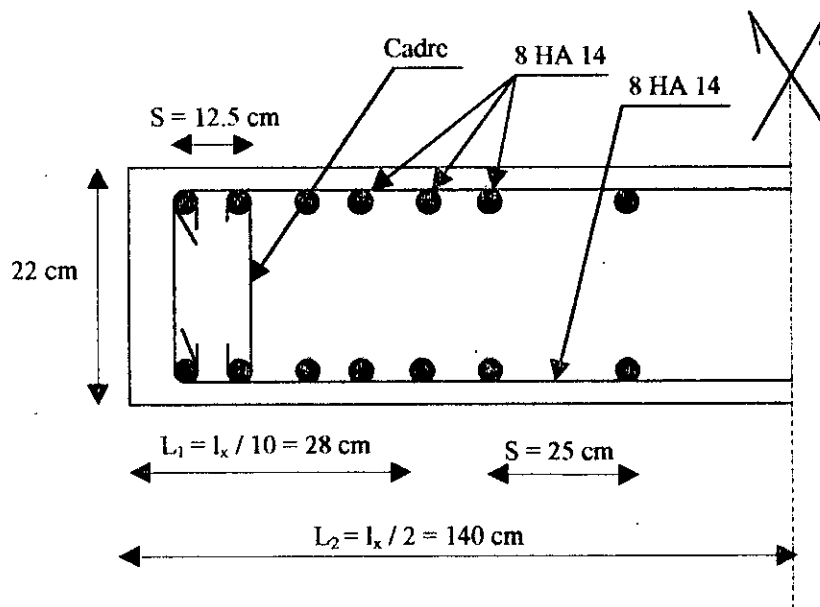
$$A_{smin} = 0.15\% Ab = 3.3 \text{ cm}^2 / ml.$$

Donc on prend : $A / ml = 8HA14 (12.32 \text{ cm}^2)$

Les armatures dans le sens longitudinal :

$$A_{smin} = 2. \text{ cm}^2$$

Donc on prend : $A_{smin} = 4.02 \text{ cm}^2$



Coupe longitudinale

Balcon :

*- Calcul des sollicitations :

$$Q_u = 1247.25 \text{ Kg / ml}$$

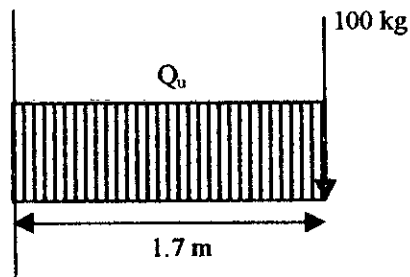
$$Q_S = 885 \text{ Kg / ml}$$

$$M_u = 1972.28 \text{ Kg.ml}$$

$$M_S = 1448.825 \text{ Kg.ml}$$

$$V_u = 2220.325 \text{ Kg}$$

$$V_S = 1604.5 \text{ Kg}$$



*Ferraillage :

$$A_S = 4.37 \text{ cm}^2 \text{ ml} \quad \dots \quad 4HA12 (A_S = 4.52 \text{ cm}^2 \text{ ml})$$

*Espacement :

$$e < \min(3h ; 33\text{cm}) = 33 \text{ cm}$$

$$e = 100 / 4 = 25 \text{ cm}$$

Armatures de répartition :

$$A_r = A_s / 4; \quad A_r = 1.165 \text{ cm}^2 / \text{ml}$$

Donc :

$$A_r = 5H A_6 = 1.21 \text{ cm}^2$$

Vérification au cisaillement :

$$V_u = 2220.325 \text{ Kg}$$

$$\tau = \frac{V}{b_0 d} = 0.164 \text{ MPa} < \tau'_{u} = 0.25 f_{c} 28 = 1.25 \text{ MPa}$$

Donc les armatures transversales ne sont pas nécessaires.

Mais dans la pratique on prend en considération ces armatures

Vérification de la condition de non-fragilité :

$$A_{min} > 0.23 b_0 d f_c \quad A_{Smin} = 1.63 \text{ cm}^2 / \text{ml}$$

$$A_{Smin} < A_s \text{ vérifié}$$

Vérification des contraintes :

$$\delta_{bc} = M_s Y / I = 3.75 \text{ MPa} < \delta'_{bc} = 15 \text{ MPa}$$

$$\delta_s = 15 M s / I (d - Y) = 149.16 \text{ MPa} < \delta'_s = 240 \text{ MPa}$$

Chapitre V

ETUDE PRELIMINAIRE

CHAPITRE V

ETUDE PRELIMINAIRE

V.1) INTRODUCTION

Dans ce chapitre nous essayons de passer en revue une description générale des différents blocs envisagés dans cette étude. Une autre partie a été également, consacrée pour montrer les démarches les plus importantes dans la saisie des données initiales.

V.2) DESCRIPTION DES BLOCS

bloc1 :

Il a la forme circulaire, présentant des rayons sous forme de poutres qui se rencontrent dans un point central et commun. Ce point constitue également, un centre commun de quatre cercles de poutres qui peuvent être, soit principales ou secondaires selon leur longueur ainsi de leur position.

Ce bloc multiservices, renferme un sous-sol réservé pour le parking, un RDC pour réception, ainsi que d'autres salles et étages dont on trouve une partie des gestionnaires de l'hôtel. (*voir les schémas*)

bloc2 :

Sa forme ressemble beaucoup à un rectangle. Il a des poutres inclinées et des poutres de liaisons implantées sur une surface de 18.5 m et de largeur de 46m de longueur. Il est caractérisé par de grandes portées dont la hauteur est de l'ordre de 43.9m c.a.d (R+12) à la base, le sous-sol sert de parking, le RDC est utilisée pour servir à différents services, le premier étage est réservé pour la gestion administrative

bloc3°:

Il assure une fonction commune avec les autres blocs, distingués par sa forme parallélépipède

V.3) INTRODUCTION DES DONNEES INITIALES

V.3.1) ETUDE STATIQUE :

- *Repérage des blocs (numérotation des nœuds et des éléments barreaux).
- *Création des sous schémas (portiques).
- *Création des schémas principaux.
- *Assemblage (sous schémas avec des schémas principaux).
- *Formation du squelette.
- *Introduire les charges permanentes et les charges d'exploitation.
- *Introduire la rigidité sous forme de sections (rectangulaires, carrées, en T...etc.).
- *Création des liaisons au niveau des fondations.
- *Génération globale.

V.3.2) ETUDE DYNAMIQUE :

Il existe plusieurs méthodes, nous avons choisi seulement deux :

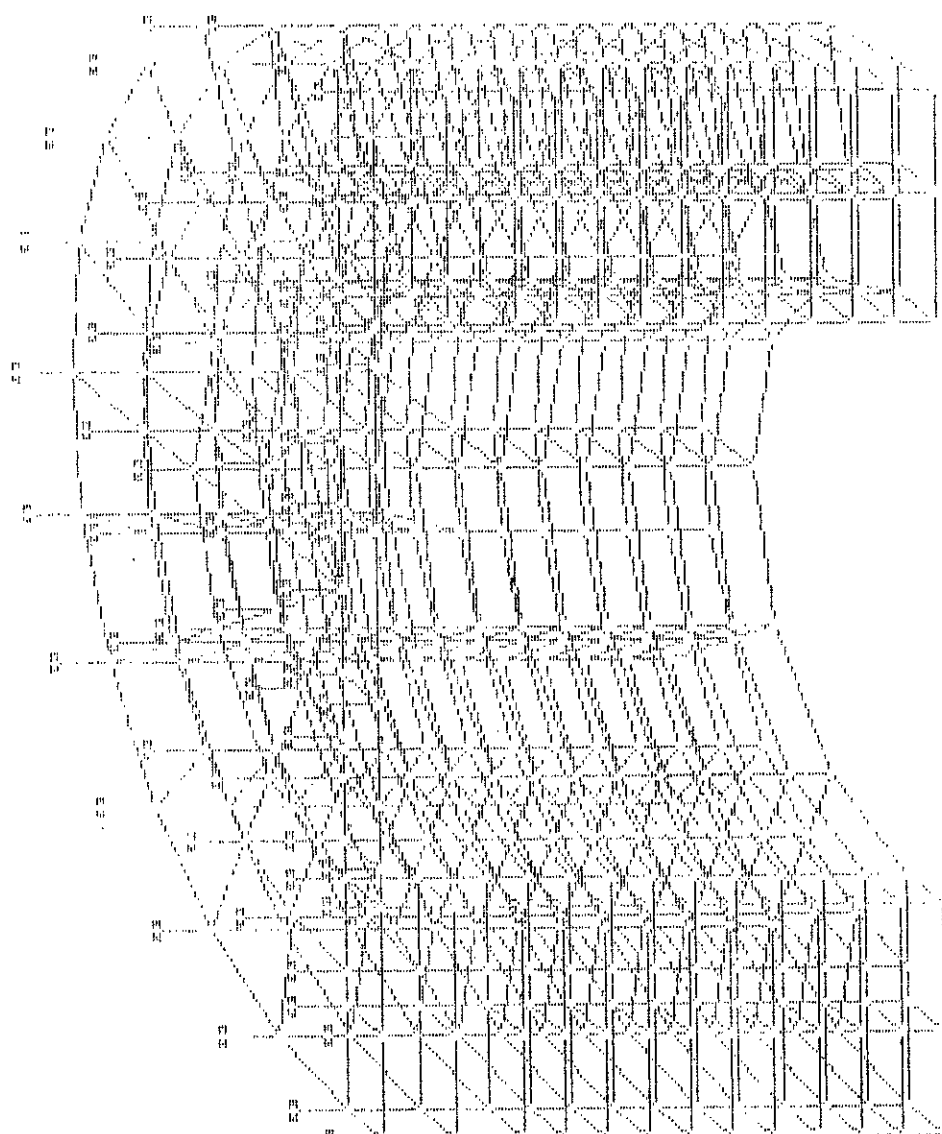
La première, consiste à calculer les forces séismiques dans les trois directions (X, Y, Z), puis les introduire avec les efforts verticaux de l'étude statique pour former les différentes combinaisons de charge.

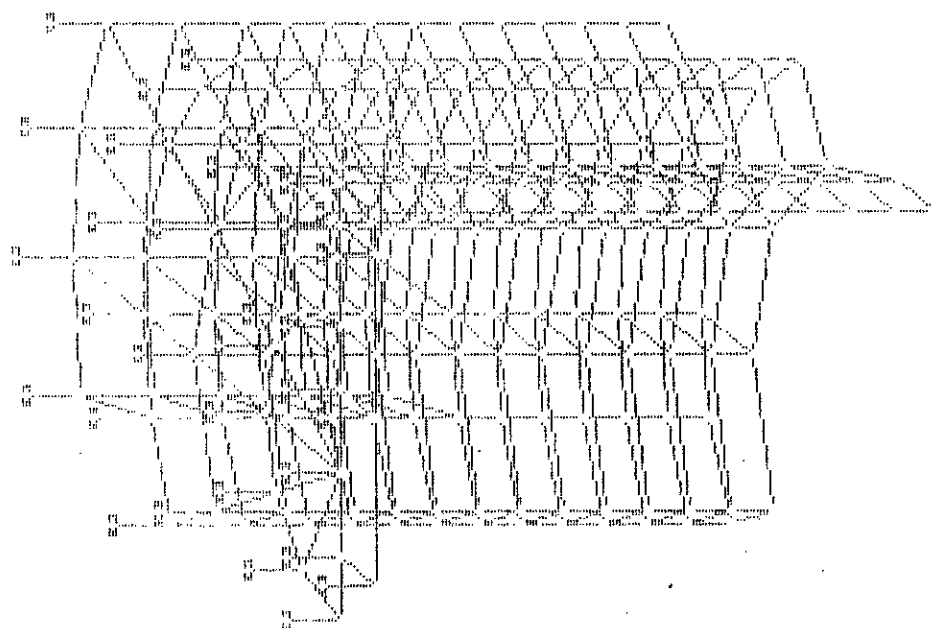
La deuxième méthode (automatique). Il s'agit d'une série des programmes du logiciel (MAGE) donnant un nombre de tableaux à remplir.

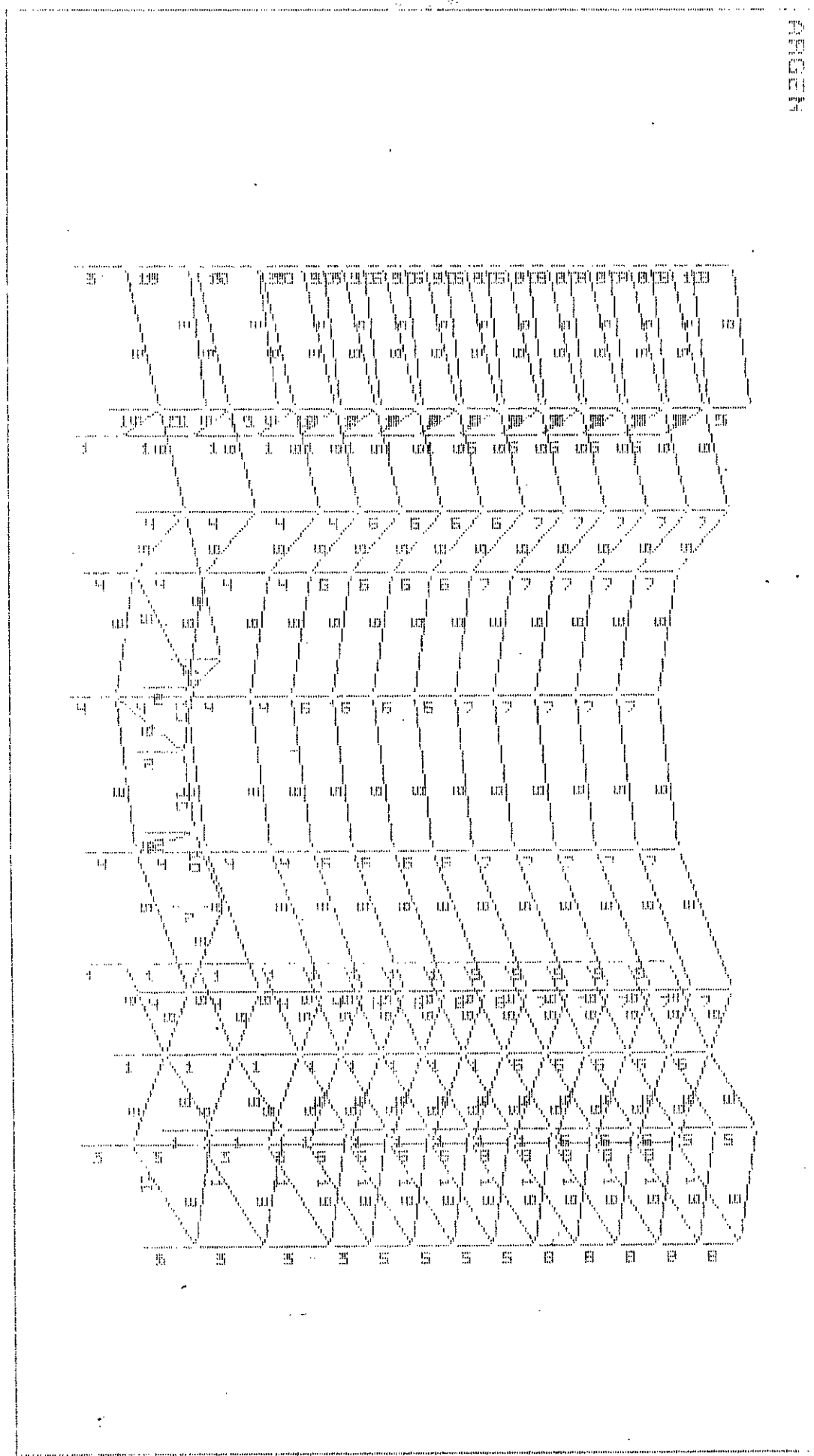
Après cette opération, en se basant sur les règlements parasismiques algériens à partir des charges verticales (poids propre et surcharge) le programme transforme automatiquement ces chargement en chargement dynamique et donne à la fin les résultats de calcul.

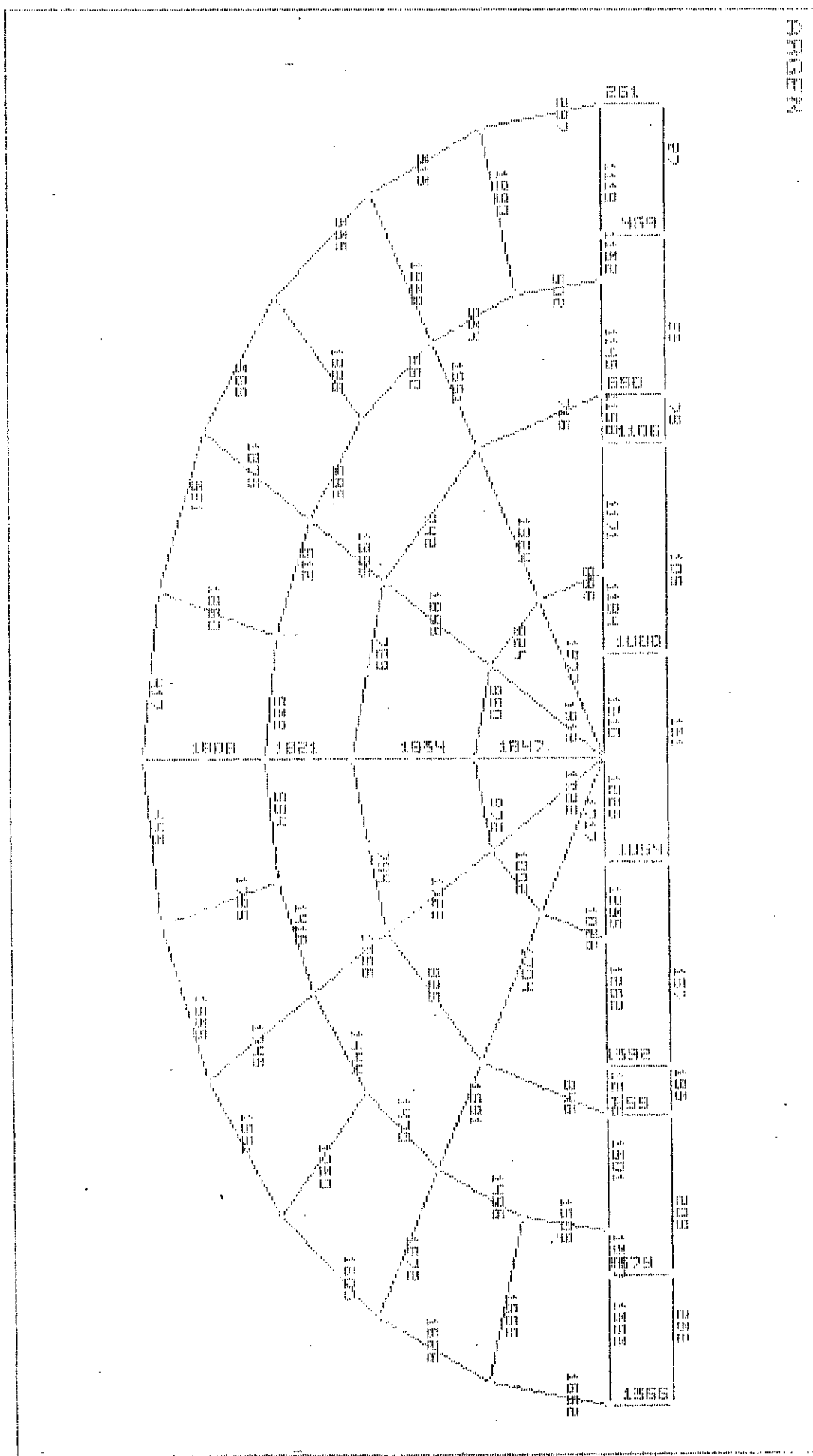
(Voir les annexes)

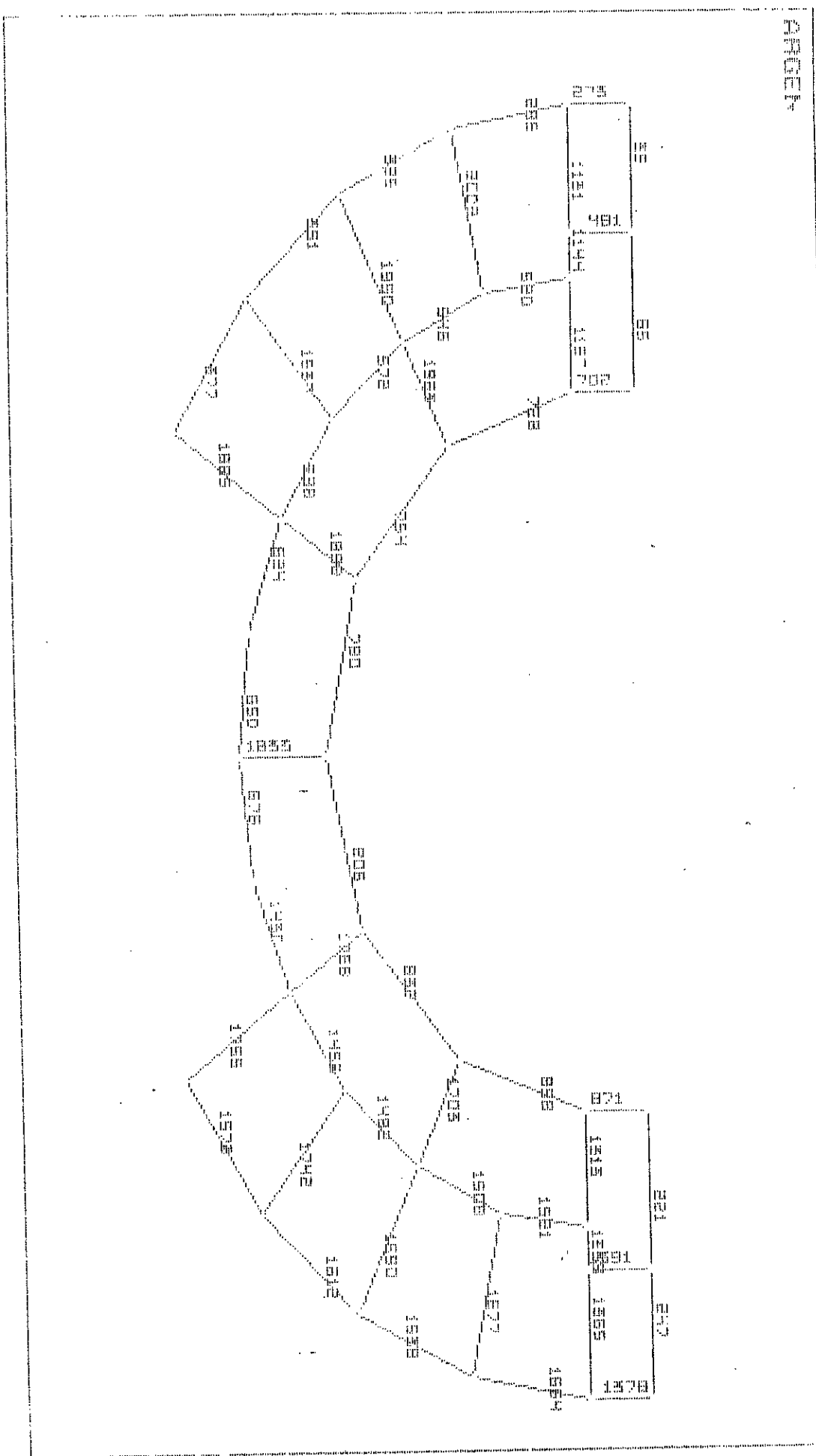
PROJET





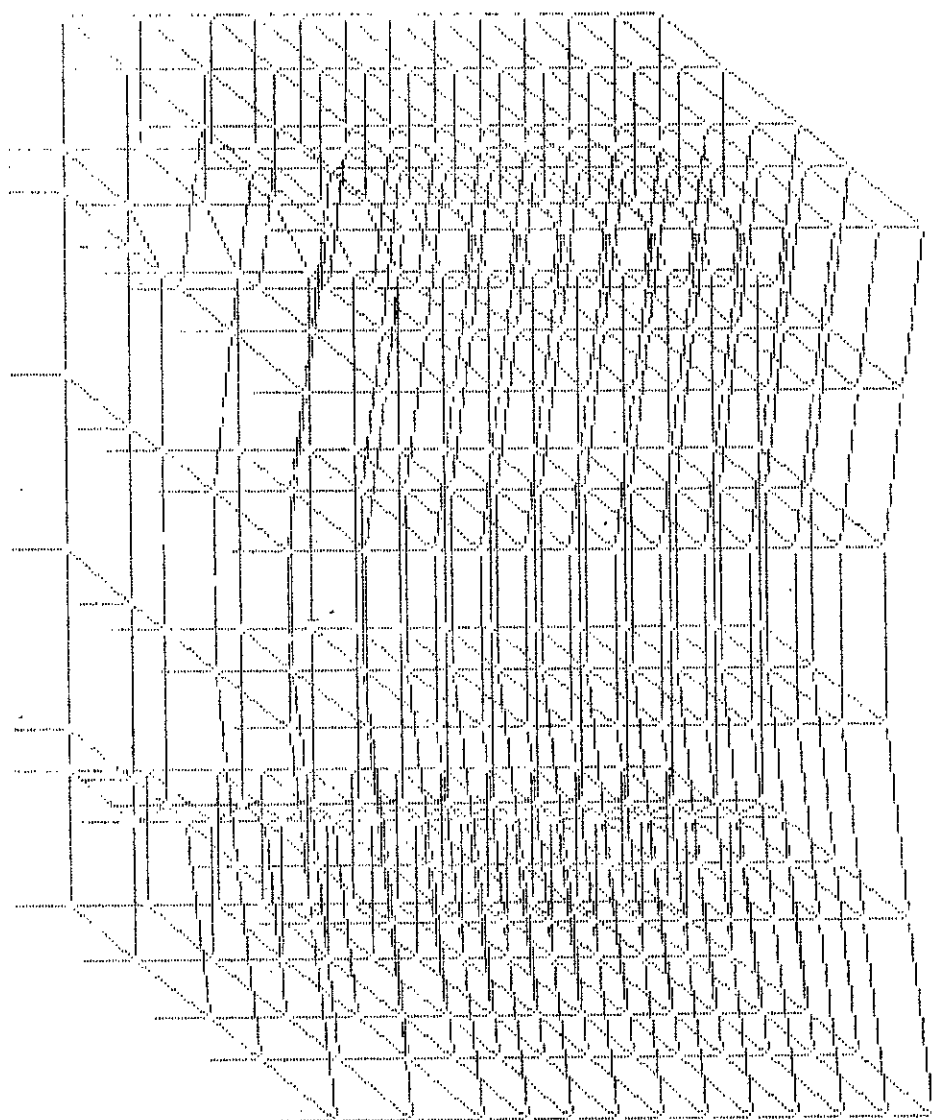




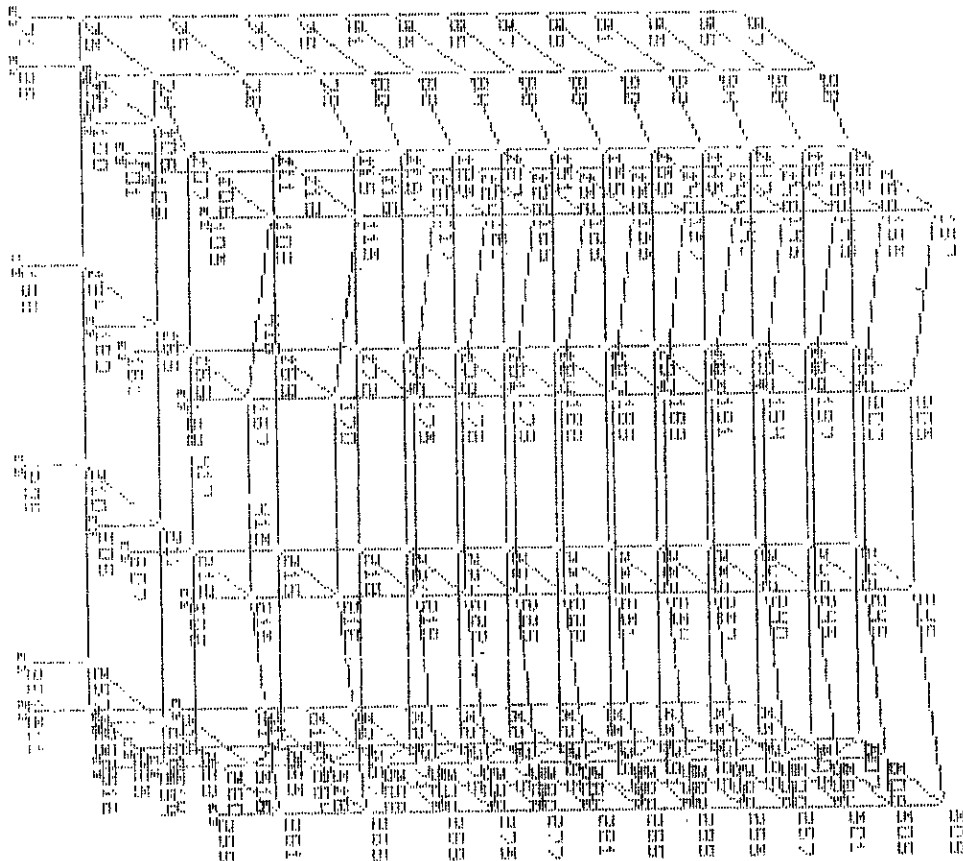


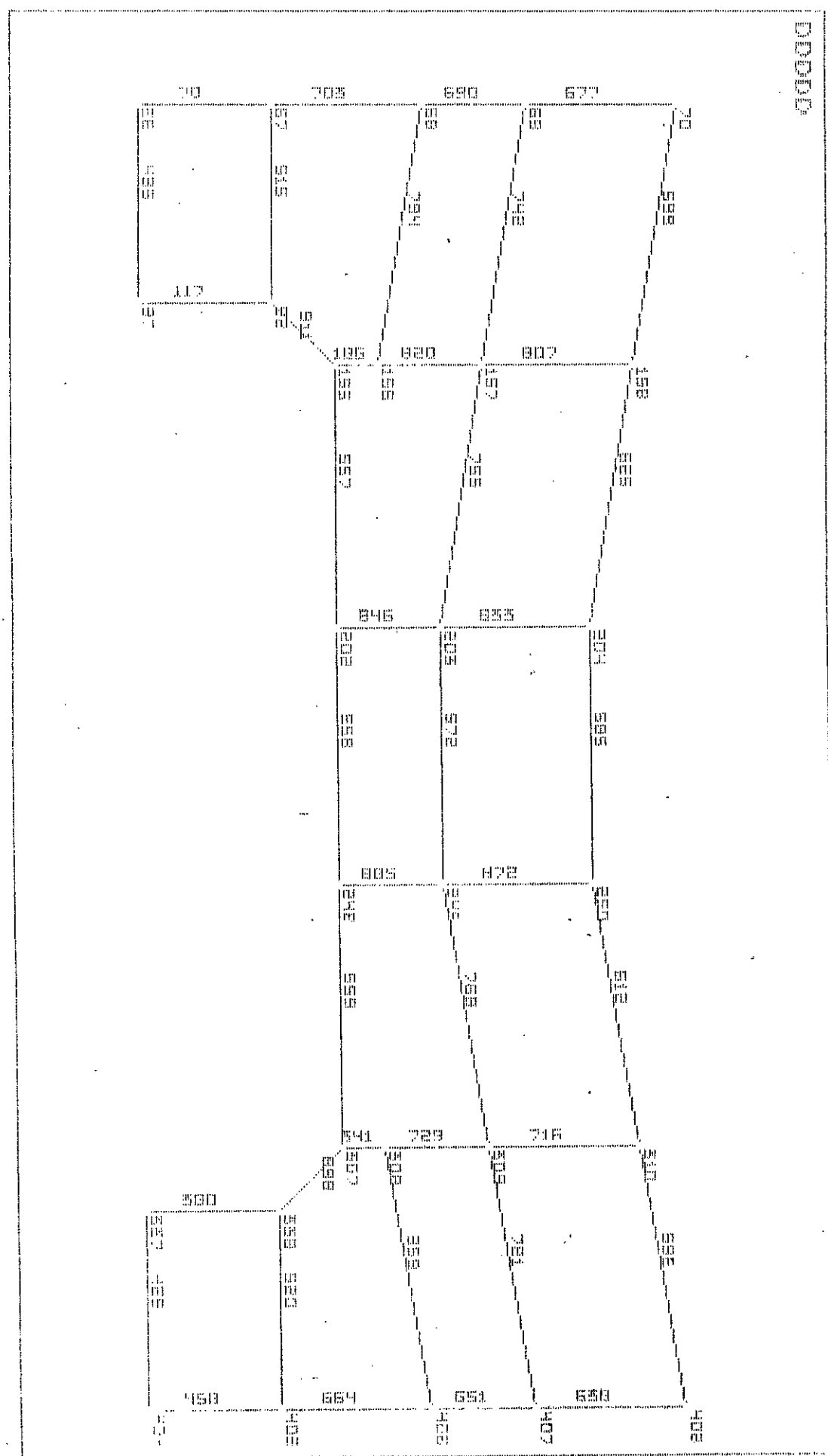
DÉTAILS														
1	2	3	4	5	6	7	8	9	10	11	12	13		
14	15	16	17	18	19	20	21	22	23	24	25	26		
411	414	415	416	417	418	419	420	421	422	423	424	425		
416	417	418	419	420	421	422	423	424	425	426	427	428		
419	420	421	422	423	424	425	426	427	428	429	430	431		
422	423	424	425	426	427	428	429	430	431	432	433	434		
425	426	427	428	429	430	431	432	433	434	435	436	437		
428	429	430	431	432	433	434	435	436	437	438	439	440		
431	432	433	434	435	436	437	438	439	440	441	442	443		
434	435	436	437	438	439	440	441	442	443	444	445	446		
437	438	439	440	441	442	443	444	445	446	447	448	449		
440	441	442	443	444	445	446	447	448	449	450	451	452		
443	444	445	446	447	448	449	450	451	452	453	454	455		
446	447	448	449	450	451	452	453	454	455	456	457	458		
449	450	451	452	453	454	455	456	457	458	459	460	461		
452	453	454	455	456	457	458	459	460	461	462	463	464		
455	456	457	458	459	460	461	462	463	464	465	466	467		
458	459	460	461	462	463	464	465	466	467	468	469	470		
461	462	463	464	465	466	467	468	469	470	471	472	473		
464	465	466	467	468	469	470	471	472	473	474	475	476		
467	468	469	470	471	472	473	474	475	476	477	478	479		
470	471	472	473	474	475	476	477	478	479	480	481	482		
473	474	475	476	477	478	479	480	481	482	483	484	485		
476	477	478	479	480	481	482	483	484	485	486	487	488		
479	480	481	482	483	484	485	486	487	488	489	490	491		
482	483	484	485	486	487	488	489	490	491	492	493	494		
485	486	487	488	489	490	491	492	493	494	495	496	497		
488	489	490	491	492	493	494	495	496	497	498	499	500		
491	492	493	494	495	496	497	498	499	500	501	502	503		
494	495	496	497	498	499	500	501	502	503	504	505	506		
497	498	499	500	501	502	503	504	505	506	507	508	509		
500	501	502	503	504	505	506	507	508	509	510	511	512		
503	504	505	506	507	508	509	510	511	512	513	514	515		
506	507	508	509	510	511	512	513	514	515	516	517	518		
509	510	511	512	513	514	515	516	517	518	519	520	521		
512	513	514	515	516	517	518	519	520	521	522	523	524		

DDP

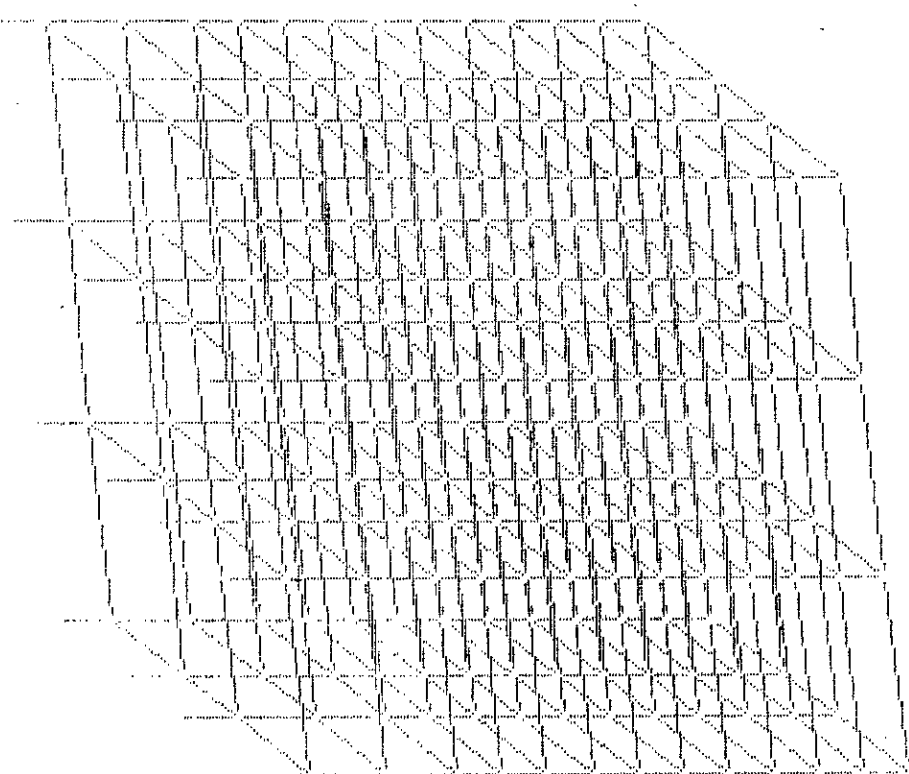


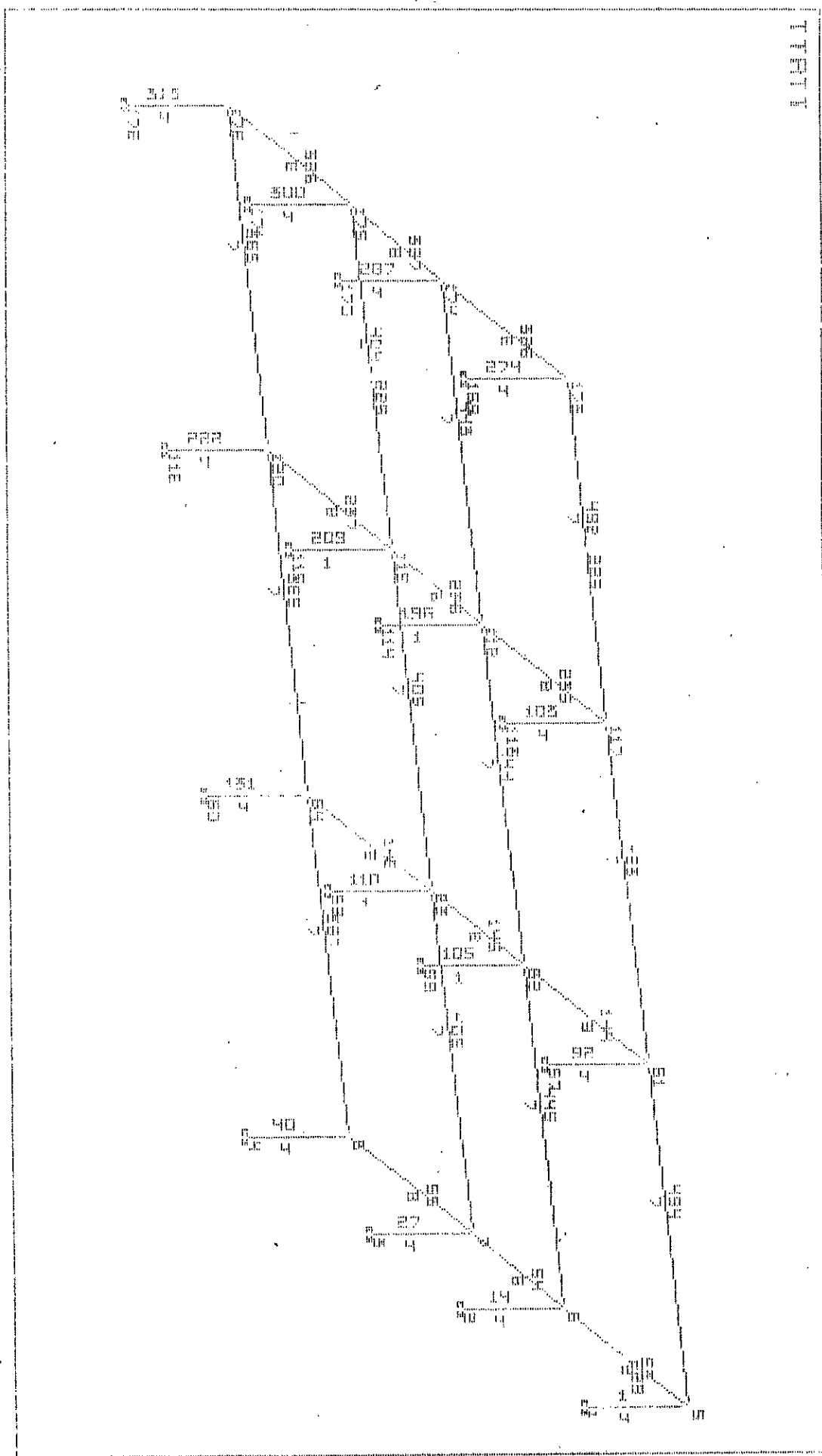
DRAFT

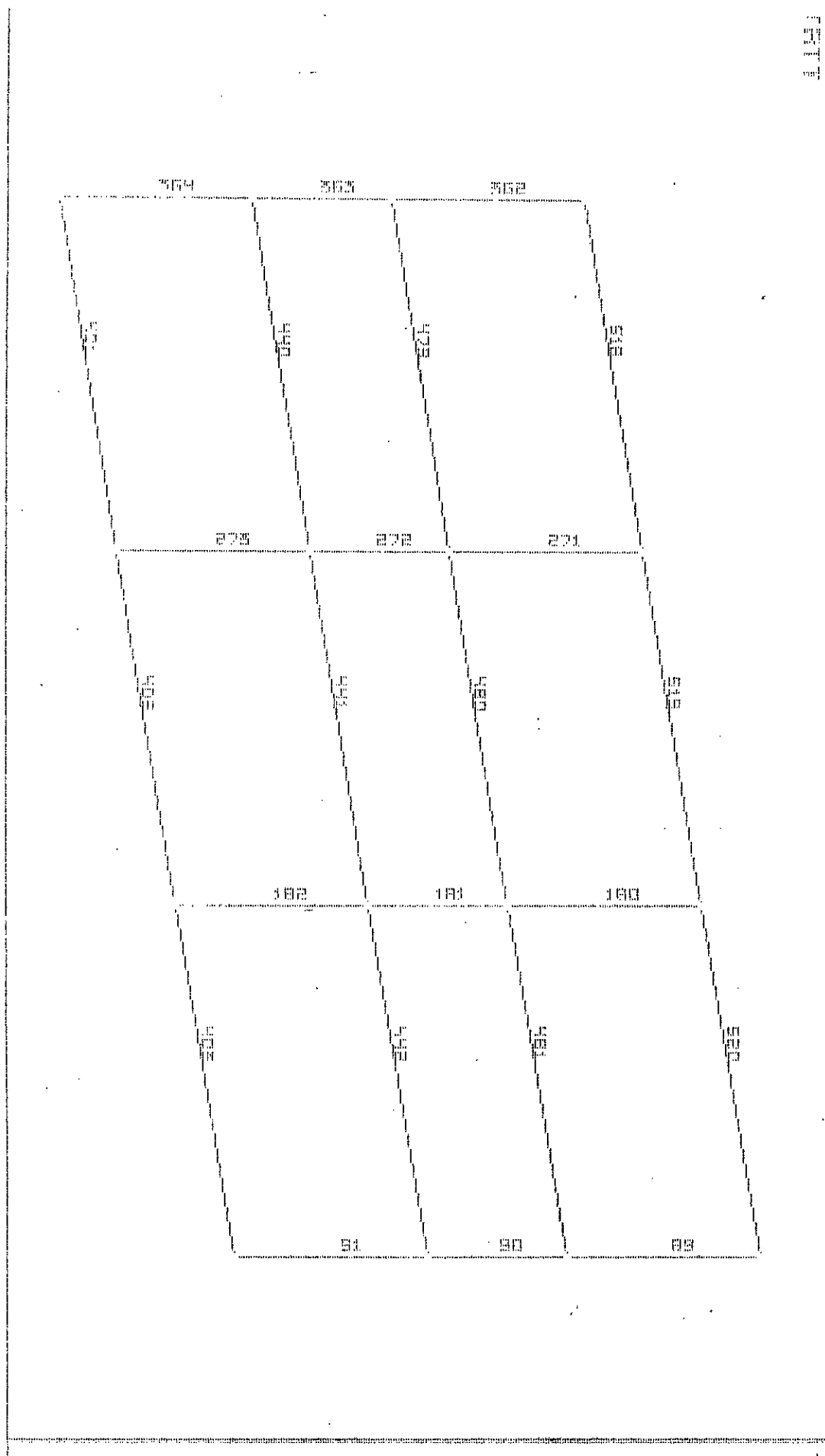




DEDOE												
1	2	3	4	5	6	7	8	9	10	11	12	13
10	11	12	13	14	15	16	17	18	19	20	21	22
23	24	25	26	27	28	29	30	31	32	33	34	35
36	37	38	39	40	41	42	43	44	45	46	47	48
49	50	51	52	53	54	55	56	57	58	59	60	61
62	63	64	65	66	67	68	69	70	71	72	73	74
75	76	77	78	79	80	81	82	83	84	85	86	87
88	89	90	91	92	93	94	95	96	97	98	99	100
101	102	103	104	105	106	107	108	109	110	111	112	113
114	115	116	117	118	119	120	121	122	123	124	125	126
127	128	129	130	131	132	133	134	135	136	137	138	139
140	141	142	143	144	145	146	147	148	149	150	151	152
153	154	155	156	157	158	159	160	161	162	163	164	165
166	167	168	169	170	171	172	173	174	175	176	177	178
179	180	181	182	183	184	185	186	187	188	189	190	191
192	193	194	195	196	197	198	199	200	201	202	203	204
205	206	207	208	209	210	211	212	213	214	215	216	217
218	219	220	221	222	223	224	225	226	227	228	229	230
231	232	233	234	235	236	237	238	239	240	241	242	243
244	245	246	247	248	249	250	251	252	253	254	255	256
257	258	259	260	261	262	263	264	265	266	267	268	269
270	271	272	273	274	275	276	277	278	279	280	281	282
283	284	285	286	287	288	289	290	291	292	293	294	295
296	297	298	299	300	301	302	303	304	305	306	307	308
309	310	311	312	313	314	315	316	317	318	319	320	321
322	323	324	325	326	327	328	329	330	331	332	333	334
335	336	337	338	339	340	341	342	343	344	345	346	347
348	349	350	351	352	353	354	355	356	357	358	359	360
361	362	363	364	365	366	367	368	369	370	371	372	373
374	375	376	377	378	379	380	381	382	383	384	385	386
387	388	389	390	391	392	393	394	395	396	397	398	399
399	400	401	402	403	404	405	406	407	408	409	410	411
412	413	414	415	416	417	418	419	420	421	422	423	424







	275	276	277	278	279	280	281	282	283	284	285	286
274	18 18 01	18 18 00										
287	288	289	290	291	292	293	294	295	296	297	298	299
290	18 18 01	18 18 00										
313	314	315	316	317	318	319	320	321	322	323	324	325
315	18 18 00	18 18 01										
316	317	318	319	320	321	322	323	324	325	326	327	328

Chapitre VI

EFFORTS DANS LA SUPER STRUCTURE

ET FERRAILLAGE

CHAPITRE VI

EFFORTS DANS LA SUPERSTRUCTURE ET FERRAILLAGE

VI-1 LES POUTRES

Les poutres soumises à une flexion simple seront ferraillées en concédèrent une section rectangulaire.

VI-1-2 Choix de la section rectangulaire

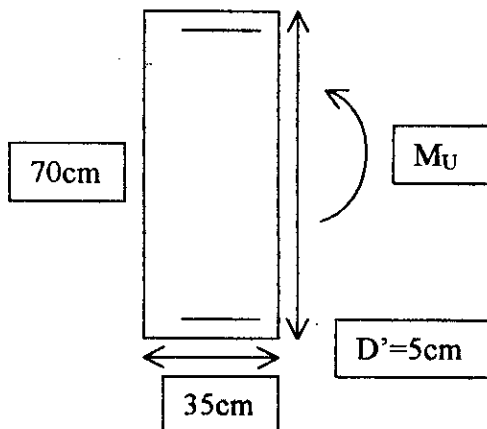
La section rectangulaire est caractérisée par sa largeur b et sa hauteur h ses dimensions déterminée à partir des règles de BAEL 91, le RPA 88 et les règles de predimensionnement.

VI-1-3 Les Résultats du calcul

Bloc(1) COR

Les moments fléchissants :

Combinaison Catégories	$M_{1,35G+1,5Q}$ (KNm)			M_{G+Q+E} (KNm)			M_{G+Q-E} (KNm)		
Poutres principales centrales	M_w	M_{tr}	M_e	M_w	M_{tr}	M_e	M_w	M_{tr}	M_e
	644.68	200.28	234.5	462.6	143	173.7	466.6	145.4	164.9
Poutres de rive principales	214,7	118,37	216,66	149,67	86,23	162,54	160,67	85,97	157
Poutres secondaires	136,4	57,31	75,10	88,66	37,24	48,815	68,2	28,682	37,55



$$\Rightarrow \mu_{bu} = \frac{M_u}{bd^2 f_{bu}} = 0,096 < 0,3 = \mu_{eu} \Rightarrow A'_{su} = 0$$

$$\begin{cases} \alpha = 1,25(1 - \sqrt{1 - 2\mu_{bu}}) = 0,195 < 0,259 \\ Z_b = (1 - 0,4\alpha) = 61 \text{ cm} \end{cases}$$

$$\Rightarrow \text{pivot A donc} \begin{cases} \varepsilon_s = 10\% \quad \text{et} \quad \varepsilon_{bc} < 3,5\% \\ \varepsilon_{bc} = \frac{\alpha}{1-\alpha} \cdot 10\% = 1,54\% \end{cases}$$

$$\Rightarrow \begin{cases} A'_{su} = 0 \\ A_{su} = \frac{M_u}{Z_b \cdot f_{su}} = \frac{200.28}{0,61.348.10^3} = 9,42 \text{ cm}^2 = A_{su} = 3HA16 + 3HA12 \end{cases}$$

b- Calcul des armatures transversales :

D'après le tableau des efforts tranchants on a $T_{max} = 424.09 \text{ KN}$ pour la poutre centrale la plus sollicitée, donc le ferraillage sera comme suit :

$$\bar{\tau}_n = 0,10 f_{c28} = 6,25 \text{ MPa} \Rightarrow \text{Fiss. proj.}$$

$$\bar{\tau}_n = [0,10 f_{c28}, 3 \text{ MPa}] = 2,5 \text{ MPa}$$

$$\tau_n = \frac{V_u}{bd} \leq \bar{\tau}_n ? \quad \tau_u = \frac{424.30}{0,45 \times 0,65} = 1,449 \text{ MPa}$$

$\Rightarrow \tau_u < \bar{\tau}_n$ Est vérifiée. Donc

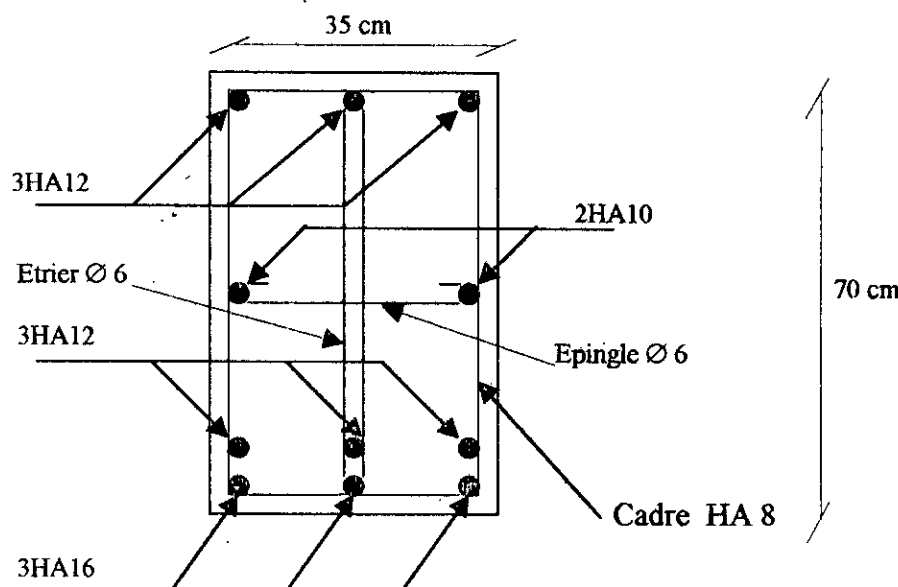
$$\frac{S_{t0}}{A_{st}} \leq \frac{0,9 f_{su}}{\frac{V_u}{d} - 0,3 k f_{tj} b} = \frac{0,9 \times 348.10^3}{\frac{424.093}{0,65} - 0,3 \cdot 1,2 \cdot 1.10^3 \cdot 0,45}$$

$$\frac{S_{t0}}{A_{st}} \leq 1759,17 \Rightarrow A_{st} \geq \frac{S_{t0}}{1759,17},$$

$$S_{t0} = 15\text{cm} \Rightarrow A_{st} = 0,000142\text{m}^2 \Rightarrow A_{st} = 1,85\text{cm}^2$$

Donc : un cadre HA 10 avec $s_{t0} = 15\text{cm}$:

$$\begin{cases} A'_{su} = 3\text{HA12} \rightarrow \text{montage} \\ A_{su} = 3\text{HA16} + 3\text{HA12} \\ \text{un cadre } \Phi 10 \end{cases}$$

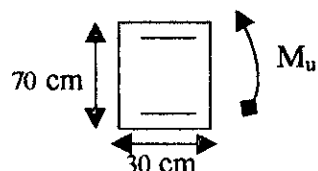


2- Poutre de rive :

a-les armatures longitudinales

$$\begin{cases} M_u = 118.37 \\ N_u = 20.83. \end{cases}$$

Le ferraillage de cette section est équivalent au ferraillage d'une poutre de section rectangulaire



$$\Rightarrow \mu_{bu} = \frac{M_u}{bd^2 f_{bu}} = 0,0658 \quad 0,3 = \mu_{eu}$$

$$\Rightarrow A'_{su} = 0$$

$$\Rightarrow \alpha = 0,084 < 0,259 \Rightarrow \text{pivots A} \Rightarrow A_{su} = \frac{M_u}{z_b \cdot f_{bu}}$$

$$\Rightarrow A_{su} = 5,31 \text{ cm}^2 \Rightarrow A_{su} = 3\text{HA14} + 3\text{HA10}$$

La section de montage : $A_{su} = 3\text{HA}12$

Les armatures de peaux : 2HA10

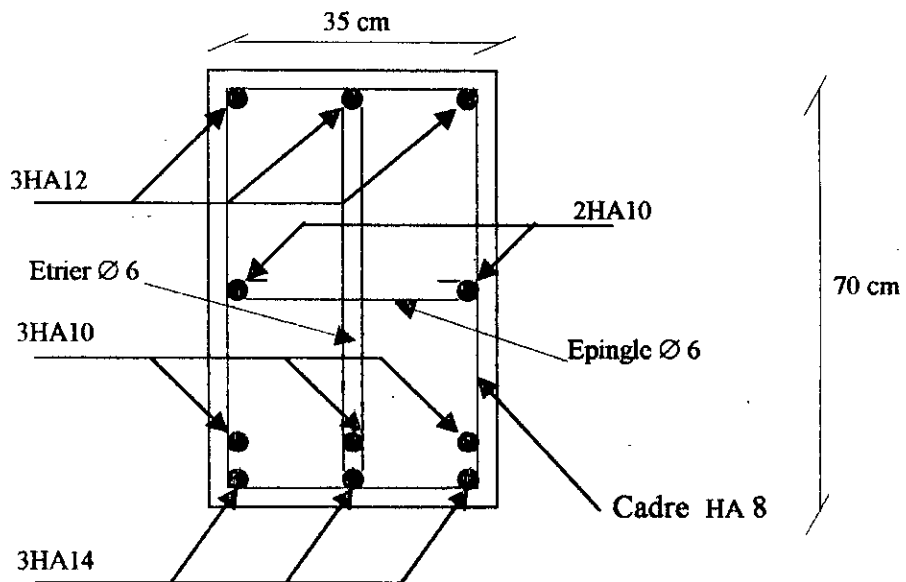
b- Les armatures transversales (poutre de rive principale) :

$$\tau_u = \frac{V_u}{bd} = \frac{189}{0,45 \times 0,65} = 0,645 \text{ MPa} < 2,5$$

$$\Rightarrow \frac{A_{st}}{S_{t0}} \geq \frac{(\tau_u - 0,3f_{y,K}) \times b}{0,9f_{su}} = \frac{(0,645 - 0,63) \times 0,45}{313,2} = 0,0000215$$

$$\Rightarrow S_{t0} = 25 \text{ cm}$$

$$\Rightarrow A_{st} \geq 0,053 \text{ cm}^2 \Rightarrow \text{un cadre de T 8.}$$

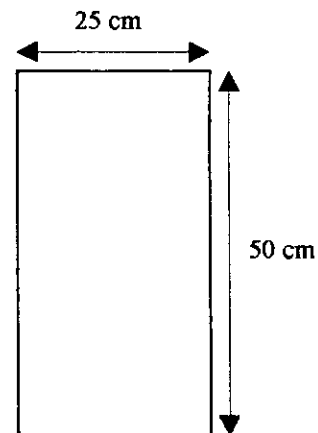


3- Les poutres secondaires :

a- Les armatures longitudinales :

$$\begin{cases} h = 50 \text{ cm} \\ b = 25 \text{ cm} \\ d' = 5 \text{ cm} \end{cases} \quad \begin{cases} M_n = 166,1 \text{ KN.m} \\ N_n = 15,3 \text{ KN} \end{cases}$$

$$\Rightarrow \mu_{bu} = \frac{M_u}{bd^2 f_{bu}} = 0,231 < 0,3 = \mu_{eu} \Rightarrow A_{su} = 0 \text{ et } y < 20 \text{ cm.}$$



Donc : $\begin{cases} \alpha = 1,25(1 - \sqrt{1 - 2\mu_{bu}}) = 0,334 \geq 0,259 \\ Z_b = d(1 - 0,4\alpha) = 38,5 \text{ cm} \Rightarrow \text{pivot } B. \end{cases}$

$$Y = \alpha d = 0,1503 \text{ m}$$

$$F_B = F_S \Rightarrow A_{su} = \frac{F_b}{f_{su}} \Rightarrow A_{su} = 12,23 \text{ cm}^2$$

$$\begin{cases} \varepsilon_s = 10\% \quad \text{et} \quad \varepsilon_{bc} < 3,5\% \\ \varepsilon_{bc} = \frac{\alpha}{1-\alpha} \cdot 10\% = 0,34\% \end{cases}$$

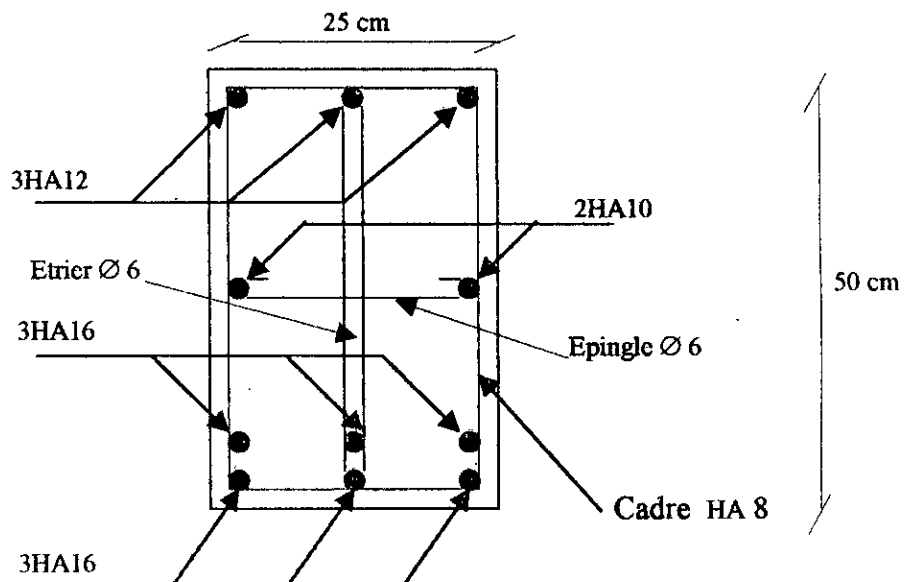
$$\left\{ A_{su} = \frac{M_u}{Z_b \cdot f_{su}} = \frac{166,2}{0,385 \cdot 348 \cdot 10^3} = 12,25 \text{ cm}^2 \right.$$

$$\Rightarrow \begin{cases} A'_{su} = 3\Phi 12 \rightarrow \text{montage} \\ A_{su} = 6HA16 \end{cases}$$

Les armatures transversales pour les poutres secondaires :

Même calcul avec espacement de $s_{t0} = 20 \text{ cm}$

Donc on obtient $A_{s0} \geq 0,042 \text{ cm}^2$ donc un cadre de $\Phi 6$



Bloc (2) TOM*Les moments fléchissants :*

Combinaison Catégories	$M_{1,35G+1,5Q}$ (KNm)			M_{G+Q+E} (KNm)			M_{G+Q-E} (KNm)		
Poutres principales centrales	M_w	M_{tr}	M_e	M_w	M_{tr}	M_e	M_w	M_{tr}	M_e
	347	206,1	332,20	225,55	133,965	215,93	173,5	103,5	166,1
Poutres de rive principales	282,7	145,8	221,3	183,755	94,77	143,845	141,35	72,9	110,65
Poutres secondaires	146,4	87,35	93,31	95,16	56,775	60,65	73,2	43,675	46,66

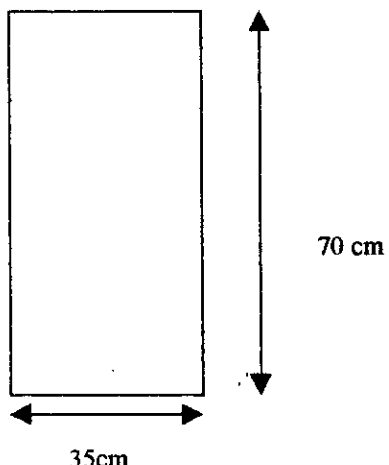
- *Les efforts tranchants :*

Combinaison Catégories	$M_{1,35G+1,5Q}$ (KNm)		M_{G+Q+E} (KNm)		M_{G+Q-E} (KNm)	
Poutres principales centrales	T(1)	T(2)	T(1)	T(2)	T(1)	T(2)
	300	294,6	195	191,49	150	147,3
Poutres de rives principales	213,46	189,4	138,749	128,96	106,73	99,2
Poutres secondaires	138,71	114,20	90,15	74,23	69,355	57,10

Remarque : l'effet des efforts normaux est négligeable par rapport à l'effet des moments fléchissants donc on ferraillera avec les moments comme une section rectangulaire soumise à une flexion simple

1-. *Les poutres principales centrales*

- *a-les armatures longitudinales:*



$$\begin{cases} M_u = 20,61 \text{ t.m} \\ N_u = 2,03 \text{ t} \end{cases} \Rightarrow M_n = \text{section T} \Rightarrow \text{section rectangulaire.}$$

Donc $\mu_{bn} = \frac{M_u}{bd^2 f_{bu}} = 0,144 < 0,3 = \mu_{eu} \Rightarrow A'_{su} = 0$

$$\alpha = 1,25(1 - \sqrt{1 - 2\mu_{bu}}) = 0,152 < 0,259 \text{ pivot A} \Rightarrow Z_b = d(1 - 0,4\alpha) = 60 \text{ cm}$$

$$\begin{cases} A'_{su} = 0 \\ A_{su} = \frac{M_u}{Z_b f_{su}} = 10,95 \text{ cm}^2 = 5\text{HA}16 \end{cases}$$

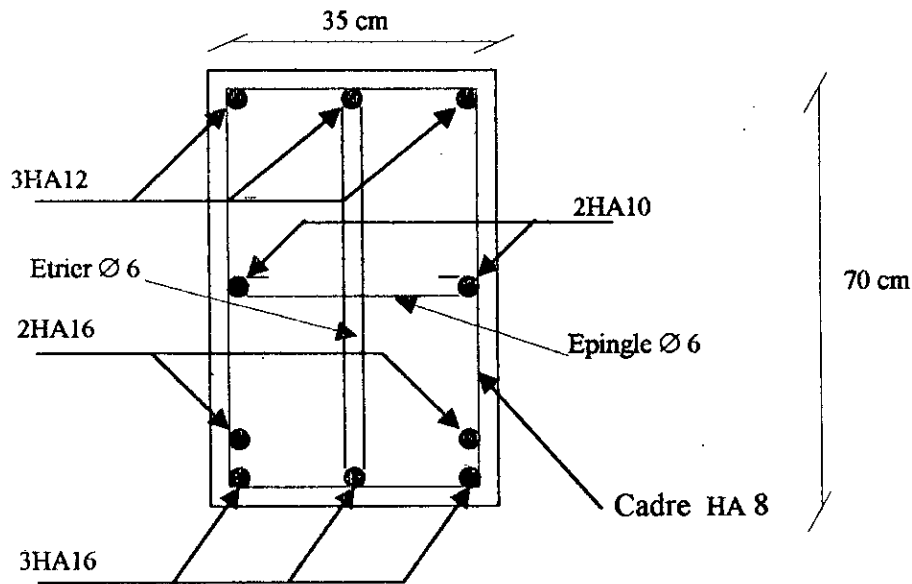
$$\{A'_{su} = 3\Phi 12 \rightarrow \text{montage}$$

b~ Les armatures transversales :

$$\tau_n = \frac{V_u}{bd} = 1,025 \leq 0,13 f_{c28} = \bar{\tau}_n$$

$$\frac{A_{st}}{S_{t0}} \geq \frac{b \times (\bar{\tau}_n - 0,3 f_{yK}) \times b}{0,9 f_{su}} \Rightarrow V_n = 300 \text{ KN}$$

Même cas que premier bloc (1) \Rightarrow un cadre de $\Phi 8$ avec $S_{t0} = 15 \text{ cm}$.



- 2-Poutre de rives :
- a-Les armatures longitudinales

$$\begin{cases} M_u = 14,58 \text{ t.m} \\ N_u = 1,96 \text{ t} \end{cases}$$

La section est une section rectangulaire

$$\mu_{bu} = \frac{M_u}{bd^2 f_{bu}} = 0,0832 < 0,3 \Rightarrow A'_{su} = 0$$

$$\left\{ \alpha = 0,106 < 0,259 \text{ pivot } A \right\} A_{su} = \frac{M_u}{Z_b \cdot 348 \cdot 10^3} \Rightarrow Z_b = 64 \text{ cm}$$

$$\Rightarrow A_{su} = 6,52 \text{ cm}^2 \Rightarrow A_{su} = 3\text{HA16} + 2\text{HA10} \text{ et } A'_{su} = 3\text{HA12}$$

b-Les armatures transversales :

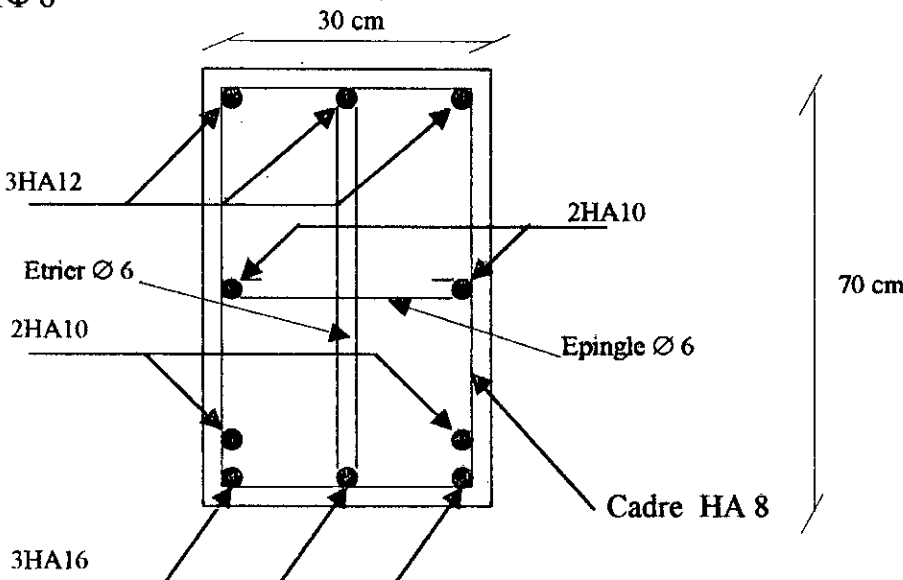
$$\tau_u = \frac{V_u}{bd} = \frac{213,46}{0,45 \times 0,65} = 0,729 \text{ MPa} < 2,5 \text{ vérifiée}$$

$$\Rightarrow \frac{A_{st}}{S_{t0}} \geq \frac{b \times (\tau_u - 0,3f_{g,K}) \times b}{0,9f_{su}}$$

$$\Rightarrow S_{t0} = 25 \text{ cm}$$

$\Rightarrow A_{st} = \text{un cadre de } \Phi 6.$

$$A_{st} = 1\Phi 6$$



3- les poutres secondaires

a- Les armatures longitudinales:

$$\begin{cases} M_u = 87,359 \text{ KN} \\ N_u = 9,7 \text{ KN.m} \end{cases} \quad \begin{cases} h = 50 \text{ cm} \\ b_0 = 30 \text{ cm} \end{cases} \quad \text{donc } b = 25 \text{ cm}, d = 5 \text{ cm}, h = 50 \text{ cm}$$

\Rightarrow section rectangle.

$$\mu_{bu} = \frac{M_u}{bd^2 f_{bu}} = 0,122 \leq 0,3$$

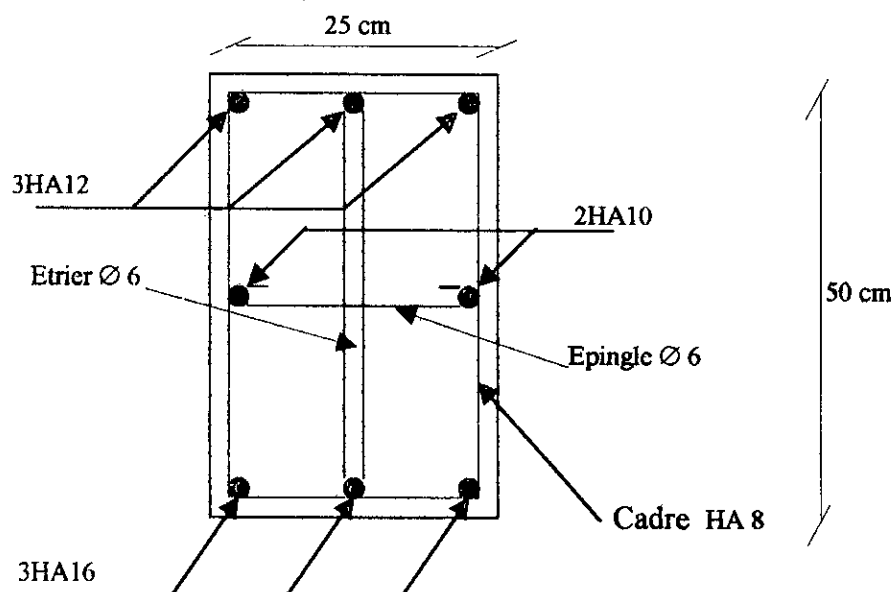
$$\Rightarrow A'_{su} = 0.$$

Donc : $\{\alpha = 0,163 \quad \langle 0,259 \Rightarrow Z_b = d(1 - 0,4\alpha) = 45(1 - 0,4\alpha) = 42\text{cm}$

$$\left\{ A_{su} = \frac{M_u}{Z_b \cdot f_{su}} = 5,96 \text{ cm}^2 \Rightarrow A_{su} = 3\text{HA16} \text{ et } A'_{su} = 3\text{HA12 montage.} \right.$$

b-Les armatures transversales:

$S_{10}=20 \text{ cm} \Rightarrow A_{ST} = \text{un cadre de } \Phi 6$



Bloc (3) OÜH

- les moments fléchissants :

Combinaison Catégories	$M_{1,35G+1,5Q} (\text{KNm})$			$M_{G+Q+E} (\text{KNm})$			$M_{G+Q-E} (\text{KNm})$		
Poutres principales centrales	M_w	M_{tr}	M_e	M_w	M_{tr}	M_e	M_w	M_{tr}	M_e
533,74	456.65	459.39		319.6	222.5	337.3	324.3	208.2	311.3
347.4	340	341.35	225.879	221	221.89	173.75	150	170.67	
200.2	184	177.5	88.66	37,24	48,815	68,2	28,68		37,55

- Les efforts tranchants :

Combinaison Catégories	N _{1,35G+1,5Q} (KNm)		N _{G+Q+E} (KNm)		N _{G+Q-E} (KNm)	
	T(1)	T(2)	T(1)	T(2)	T(1)	T(2)
Poutres principales centrales	356.4	339.4	231.66	220.61	178.2	169.7
Poutres dérivées principales	218.6	218.36	142.025	141.08	109.3	108.6
Poutres secondaires	173	162.3	112.45	105.5	86.5	81.15

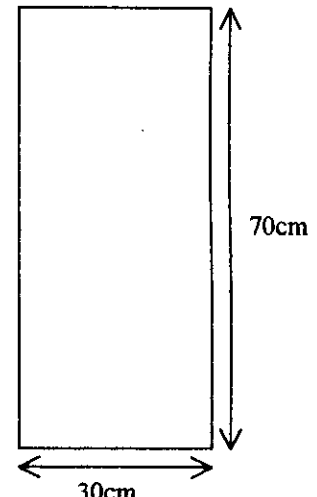
1- poutre centrale

a-les armatures longitudinales

$$\begin{cases} h = 70\text{cm} \\ b = 13\text{cm} \end{cases} \quad \begin{cases} M_u = 456.65 \text{ KN m} \\ N_u = 1,53 \text{ KN} \end{cases}$$

$$\mu_{bu} = \frac{M_u}{bd^2 f_{bu}} = 0.254 \leq 0.3$$

$$\Rightarrow A'_{su} = 0$$



$$\text{Donc : } \left\{ \alpha = 0,3753 < 0,259 \text{ pivot B} \Rightarrow Z_b = d(1 - 0,4\alpha) = 55,5\text{cm} \right.$$

$$\Rightarrow \left\{ A_{su} = \frac{M_u}{Z_b \cdot f_{su}} = 20.98\text{cm}^2 \Rightarrow A_{su} = 3\text{HA20} + 3\text{HA16} \text{ et } A'_{su} = 3\text{HA16} \right.$$

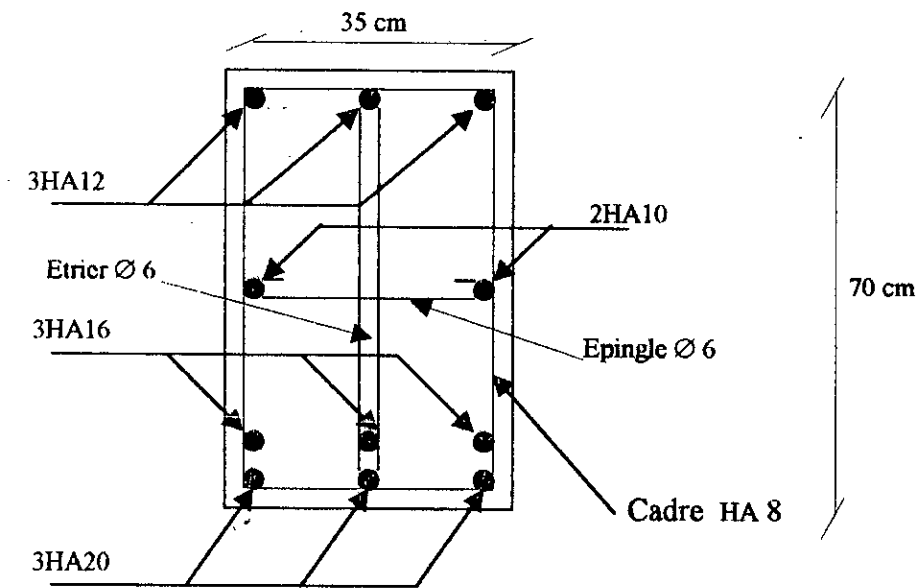
• b-Les armatures transversales

$$V_n = 356.4 \quad b = 0,45 \quad d = 0,65$$

$$\tau_n = \frac{356,42}{0,45 \times 0,65} = 1,462 \text{ MPa} \quad (\bar{\tau}_n = 2,5)$$

$$\frac{A_{st}}{S_{t0}} \geq \frac{b \times (\tau_u - 0,3f_{y.K}) \times b}{0,9f_{su}} \text{ avec espacement } S_{t0} = 15\text{cm}$$

$$\Rightarrow A_{st0} = 2 \text{ cadres de } \Phi 8$$



1- Les poutres de bâche

a-Les armatures Longitudinales:

$$M_u = 34,00 \text{ t.m} \Rightarrow M_u = 340 \text{ KN} \quad \begin{cases} h = 70\text{cm} \\ b = 30\text{cm} \end{cases}$$

$$A_{su} = 0.$$

$$\left\{ A_{su} = \frac{M_u}{Z_b \cdot f_{su}} \right.$$

$$\mu_{bu} = \frac{M_u}{bd^2 f_{su}} = 0,189 < 0,3$$

$$\left\{ Z_b = 65(1 - 0,4\alpha) \Rightarrow \alpha = 1,25(1 - \sqrt{1 - 2\mu_{bu}}) \right.$$

$$\mu_{bu} = 0,189 < 0,3 \Rightarrow \alpha = 0,264 \Rightarrow Z_b = 63 \text{ cm.} \Rightarrow A_{su} = 8 \text{ HA16}$$

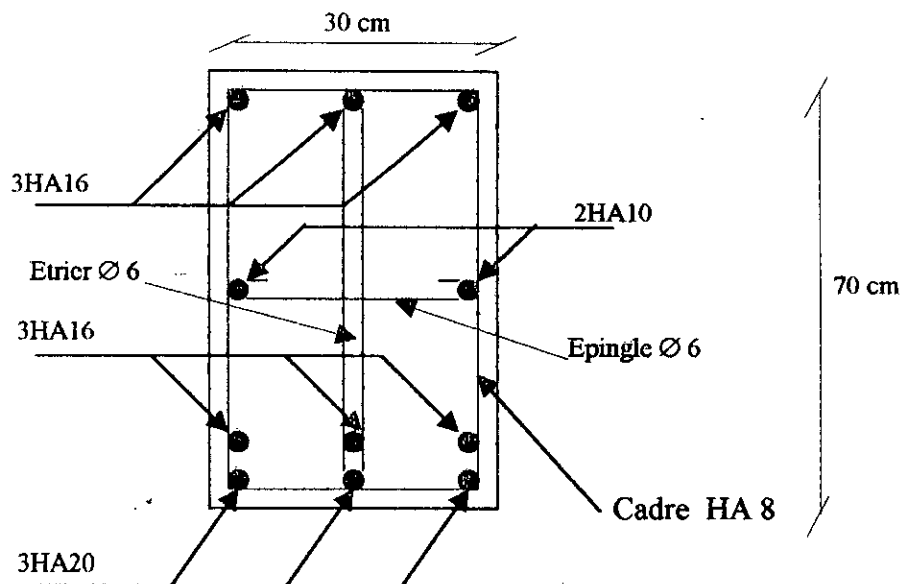
$$\left\{ A_{su} = 8\text{HA16} \quad A_{su} = 4\text{HA16 pour montage.} \right.$$

- b-Les armatures transversales

$$V_u = 376,34 \Rightarrow$$

$$\tau_n = \frac{217,34}{0,45 \times 0,65} = 0,743 \text{ MPa} \quad (\leq 2,5)$$

$$\frac{A_{st}}{S_{t0}} \geq \frac{(\tau_n - 0,3f_{yK}) \times b}{0,9f_{su}} \Rightarrow A_{st} = 2\Phi 6 \text{ avec } S_{t0} = 25\text{cm.}$$



3- Les poutres secondaires :

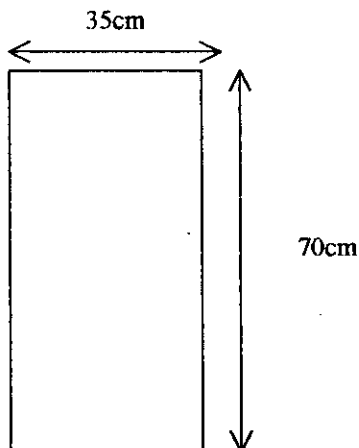
Même ferraillage que les poutres secondaires du bloc (1)

$$A_{SU} = 12.26 \text{ cm}^2 \quad (M_U = 184 \text{ KN.m}) \Rightarrow A_{SU} = 4\text{HA16}$$

Remarque : le ferraillage sur les appuis est comme suit :

- * On prend un exemple pour les poutres centrales.
- * Rayon de bloc (1) COR : donc le moment positif au niveau des appuis.
 $\Rightarrow M_{max} = M_w = 644.68 \text{ KN.m}$ les armatures supérieures sont tendues.

Donc



$$\mu_{bu} = \frac{M_u}{bd^2 f_{bu}} = \frac{644.68}{0.35 \times 0.65 \times 14,16} = 0.302 \leq 0,3 = \mu_{eu}$$

On remarque que la section est une section rectangulaire de largeur $b=35\text{cm}$ et de hauteur $h=70\text{cm}$

$\Rightarrow A_{su} = 0$ zone inférieure $y < 20\text{cm}$.

$$\left\{ \alpha = 1,25 \left(1 - \sqrt{1 - 2\mu_{bu}} \right) \right.$$

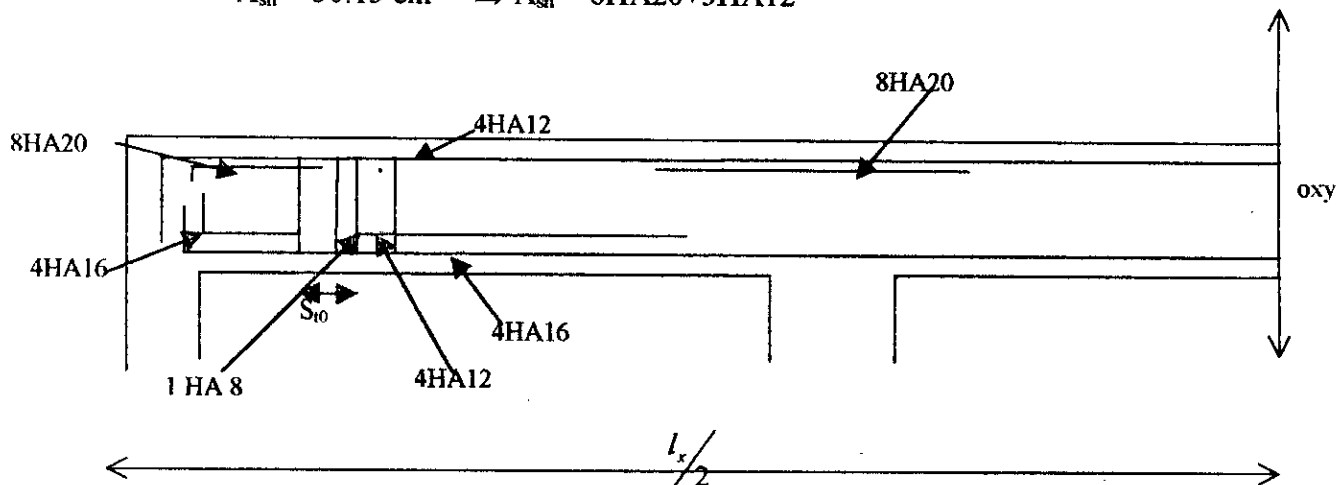
$$\Rightarrow \left\{ Z_b = 65 \left(1 - 0,4\alpha \right) \right.$$

$\Rightarrow \alpha = 0,302 < 0,259$ pivot B

$$\Rightarrow Z_b = 65 \left(1 - 0,4 \cdot 0,044 \right) = 52 \text{ cm.}$$

$$\text{Donc : } \left\{ A_{su} = \frac{M_u}{Z_b \cdot f_{su}} = \frac{644,68}{0,52 \times 348 \cdot 10^3} \right.$$

$$A_{sn} = 30,13 \text{ cm}^2 \Rightarrow A_{sn} = 8\text{HA20} + 3\text{HA12}$$



VI.1.4) VERIFICATION DES ARMATURES

I-Les armatures longitudinales

0,2% de la section du béton comprimé $S=y.b \Rightarrow S=20,45=900\text{cm}^2$

Donc : $A_{min}=1,8\text{cm}^2$

BLOC1 $\left\{ \begin{array}{l} P.\text{cent}=13,59\text{cm}^2 \\ P.\text{rive}=10,11\text{cm}^2 \\ P.\text{sec}=9,12\text{ cm}^2 \end{array} \right.$

BLOC2 $\left\{ \begin{array}{l} P.\text{cent}=10,95\text{ cm}^2 \\ P.\text{rive}=6,52\text{ cm}^2 \\ P.\text{sec}=5,66\text{ cm}^2 \end{array} \right.$

$$\text{BLOC3} \quad \left\{ \begin{array}{l} P_{\text{cent}} = 20.97 \text{ cm}^2 \\ P_{\text{rive}} = 15.48 \text{ cm}^2 \\ P_{\text{sec}} = 9.12 \text{ cm}^2 \end{array} \right.$$

D'après ces résultats on constate que toute les sections des armatures longitudinales ont supérieur a la section minimale.

2-Remarque :

$$A_t = 0.0003 b s \quad A_t = 0.227 \text{ cm}^2 \text{ pour } b = 35 \text{ cm}$$

$$A_t = 0.215 \text{ cm}^2 \text{ pour } b = 25 \text{ cm}$$

Dans les trois blocs, la section des armatures la plus faible égale : $A_t = 0.56 \text{ cm}^2$

$A_t \geq A_{t,\min}$ la section des armatures transversales est vérifiée.

Les armatures transversales d'après B A E L91 $Q_t = Q_L / 6$

VL2- LES POTEAUX

On distingue deux catégories des poteaux ; il s'agit nombreux cas de ferraillage ; mais ces cas ne diffèrent pas de façon remarquable donc on a adopté le cas la plus défavorable pour chaque catégorie.

❖ Efforts normaux dans les poteaux

Coté	Classe	combinaison				
		$N_{1.35G+1.5Q}$	$N_{G+Q+1.2E}$	$N_{G+Q-1.2E}$	$N_{0.8G-E}$	$N_{0.8G+E}$
Coté 1 constant	1	7182,80	5387,100	5387,100	3591,4	3594,33
	2	4847,90	3635,925	3631,270	2423,95	2427,79
	3	1441,73	1081,297	1078,732	720,87	728,18
Coté de dérive	1	3326,72	2495,04	2494,945	1663,36	1665,02
	2	2030,034	2030,043	1517,70	1015,05	1018,87
	3	1049,20	1049,20	773,081	524,6	527,09

❖ Les moments fléchissants

Coté	Classe	combinaison				
		$M_{1.35G+1.5Q}$	$M_{G+Q+1.2E}$	$M_{G+Q-1.2E}$	$M_{0.8G-E}$	$M_{0.8G+E}$
Coté 1	1	98,19	71,68	71,37	45,16	43,83
	2	101,70	74,24	73,81	46,78	46,01
	3	92,00	67,16	65,42	42,32	41,89
Coté 2	1	96,55	70,48	68,97	44,41	42,93
	2	102,75	75,00	74,03	47,26	45,23
	3	85,00	62,05	61,98	39,1	38,03

❖ Exemples de ferraillage

Poteau (Bloc 3, coté 1, classe 1)

$$A_s = 117,744 \text{ cm}^2 \Rightarrow A_s = 24 \text{ HA25}$$

$$S = 11.42 < S_{\max} = 25 \text{ cm (RPA)}$$

Selon R.P.A88 l'espacement maximal est 25cm H_e

$$\text{n. a : } s = \frac{80}{7} = 11.42\text{cm} < S_{\max}$$

* Vérification de pourcentage minimal

D'après RPA88 le pourcentage minimal est 0.8% (zone 2)

On a : $\frac{A_s}{bh} = 0.0145 = 1.45\% > 0.8\%$ - (vérifier)

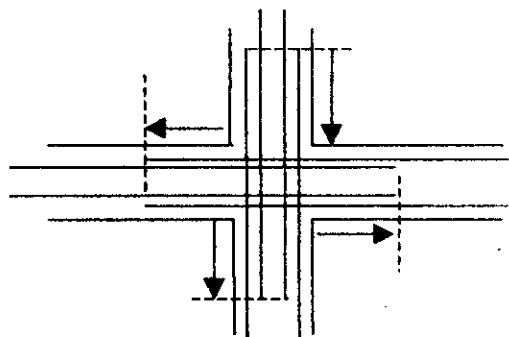
❖ Ferraillage nodal

$$\lambda_g = 3.11 \Rightarrow 3 < \lambda < 5$$

$$\Rightarrow \rho_a = 3.75 \text{ et } A_{t\min} = \frac{10}{\lambda_g^2 \%)}$$

$$\frac{A_t}{t} = \frac{\rho_a T}{h_i \sigma_{en}} = \frac{3.75 \times 2.53}{0.9 \times 348 \times 10^3} < A_{t\min}, \quad t_{\min} = 37,5\text{cm} \quad 66\text{cm} \quad 132\text{cm}$$

$$= 0,397\text{cm}^2 (t=37,5\text{cm})$$



Donc on a ferrailler par le ferraillage minimal proposé par RPA88 :

$A_{t\min} = 5,370\text{cm}^2 \Rightarrow$ cadre HA10 et 5 épingle HA10 l'espacement 37,5cm

❖ CL2 : (80×80)

$$A_s = 78,79 \Rightarrow 24\text{HA20}$$

$$s = 14\text{cm} < s_{\max} = 25\text{cm} (\text{RPA88})$$

❖ Le pourcentage minimal

$$\frac{A_s}{bh} = 1,23\% > (\% \text{ min } imal = 0.8\%) (\text{RPA88})$$

❖ Les armatures transversales

$$s = s_{\max} = 37,5$$

$$A_t = 0,315 \text{ cm}^2$$

$$A_{t\min} = 3,925 \text{ cm}^2 \longrightarrow 5 \text{ HA10}$$

Remarque :

L'espacement des armatures transversales au niveau des nœuds

$$s_t \leq 25 \text{ cm (RPA)}$$

❖ Classe 3 (60x60)

$$A_s = 23,49 \text{ cm}^2 \quad 24 \text{ HA14}$$

$$s = 16,67 < s_{\max} = 25$$

Le pourcentage minimal

$$\frac{A_s}{bh} = 0.95\% > 0.8\% (\text{minimal})$$

❖ Les armatures transversales

$$s_t = 30 = s_{\max} = 30 \text{ cm}$$

$$A_t = 0,874 \text{ cm}^2$$

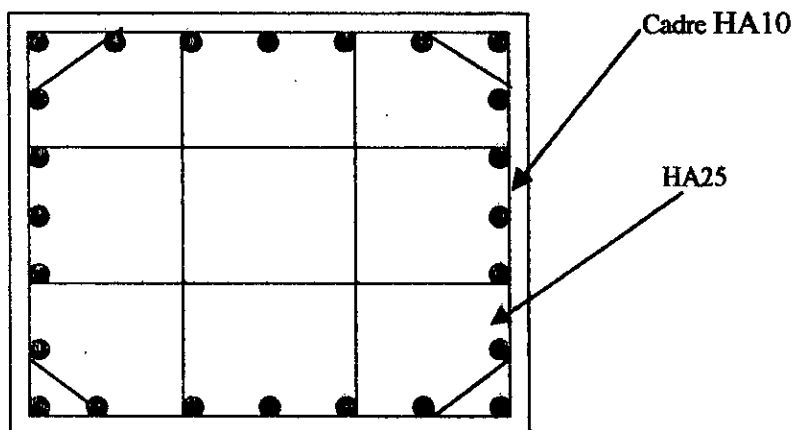
$$A_{t\min} = 2,334 \text{ cm}^2 \Rightarrow 3 \text{ HA10} = 2,355 \text{ cm}^2$$

Poteau centrale :

Classe 1 : 90*90 $\Rightarrow A_{su} = 24 \text{ HA25}$

Classe : 80*80 $\Rightarrow A_{su} = 24 \text{ HA20}$

Classe : 60*60 $\Rightarrow A_{su} = 24 \text{ HA16}$



VI.2.2- Ferriallage des poteaux (catégorie 2) :*** Classe 1 (70 x70) :**

$$A_s = 57.16 \text{ cm}^2 \Rightarrow A_s = 16\text{HA}20$$

$$S = 12 < S_{\max} = 25 \text{ cm}$$

* le pourcentage minimal

$$A_s / b \times h = 1.16\% > 0.8\%$$

* les armatures transversales :

$$S_t = 30 \text{ cm} = S_{t\max}$$

$$A_t = 1.147 \text{ cm}^2$$

$$A_{t\min} = 4.972 \text{ cm}^2 \Rightarrow 7\text{HA} 10 = 5.495 \text{ cm}^2$$

*** Classe 2 (60 x 60) :**

$$A_s = 31.4 \text{ cm}^2 \Rightarrow 16\text{HA}16$$

$$S = 7.14 \text{ cm} < S_{\max} = 25 \text{ cm}$$

Pourcentage minimal :

$$A_s / b \times h = 0.87\% > 0.8\%$$

* les armatures transversales :

$$t = 24 = t_{\max} (\text{espacement}).$$

$$A_t = 3.416 \text{ cm}^2$$

$$A_{t\min} = 3.113 \text{ cm}^2 \Rightarrow A_t = 3.416 \Rightarrow 7\text{HA}8 = 3.517 \text{ cm}^2$$

Classe (45 x 45) :

$$A_s = 22.82 \text{ cm}^2 \Rightarrow 16\text{HA}14$$

$$S = 4.375 \text{ cm}^2 < S_{\max} = 25$$

* pourcentage min : $A_s / b \times h = 1.12\% > 0.8\%$

* Les armatures transversales :

$$A_t = 1.147 \text{ cm}^2$$

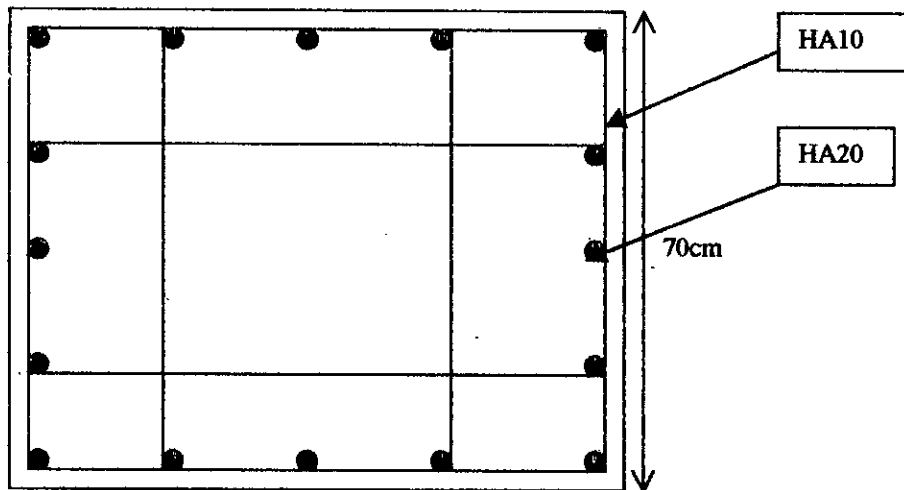
$$A_{t\min} = 1.081 \text{ cm}^2 \Rightarrow 3\phi 8 = 1.5072 \text{ cm}^2$$

Poteau de rive :

Classe1(70*70) $\Rightarrow A_{SU}=16\text{HA}20$

Classe2(60*60) $\Rightarrow A_{SU}=16\text{HA}16$

Classe3 (45*45) $\Rightarrow A_{SU}=16\text{HA}14$

**Bloc 1COR) :**

Les efforts normaux

Poteaux		Combinaison (kn)				
Catégorie	classe	$N_{1.35G+1.5Q}$	$N_{G+Q+1.2E}$	$N_{G+Q-1.2E}$	$N_{0.8G+E}$	$N_{0.8G-E}$
Poteaux de rive	1	4012.50	2006.25	2004.83	3009.37	3004.58
	2	2343.53	1171.76	1169.47	1757.64	1754.99
	3	1250.16	625.08	624.16	937.62	935.42
Poteaux centraux	1	6005.61	3002.85	3001.82	4504.20	4501.91
	2	3338.73	1669.36	1666.01	2504.04	2501.29
	3	2798.11	1399.05	1397.89	2098.58	2096.47
Poteaux circulaires	1	5904.1	2952.05	2950.90	4428.07	4423.86
	2	3505.4	1752.7	1751.03	2629.08	2627.13
	3	1971.09	985.54	984.74	1478.31	1475.66

Les moments fléchissants

Poteaux		Combinaison (kn.m)				
Catégorie	classe	M _{1.35G+1.5Q}	M _{G+Q+1.2E}	M _{G+Q-1.2E}	M _{0.8G+E}	M _{0.8G-E}
Poteaux de rive	1	50.52	23.24	22.58	36.87	35.77
	2	108.32	49.82	48.57	79.07	78.32
	3	63.38	29.15	27.85	46.26	45.71
Poteaux centraux	1	37.01	17.02	16.24	27.01	26.49
	2	20.53	9.43	8.22	14.97	13.91
	3	46.50	21.39	20.18	33.94	32.63
Poteaux circulaires	1	68.09	31.32	30.06	49.70	48.06
		67.57	31.08	29.84	49.32	48.14
	2	10046	46.21	45.15	73.33	72.56

Ferraillage des poteaux :**1) Les poteaux centraux :****Classe 1(90*90) :**

$$A_s = 97.78 \text{ cm}^2 \quad 20\text{HA}25$$

$$S = 80/6 = 13.33 \text{ cm} < s_{\max} = 25 \text{ cm} \quad (\text{selon RPA})$$

- pourcentage des aciers : $A_s/b.h = 1.20\% > 0.8\%$

- les armatures transversales : t : espacement $t = 15.$ $\phi = 37.5 \text{ cm}$, $A_t = 1.997 \text{ cm}^2$

$$A_{t\min} = 4.18 \text{ cm}^2 \quad 6\phi 10 = 4.71 \text{ cm}^2 \quad \phi : \text{diamètre des armatures longitudinales}$$

Classe 2 (80*80)

$$A_s = 59.91 \text{ cm}^2 \quad 20\text{HA}20$$

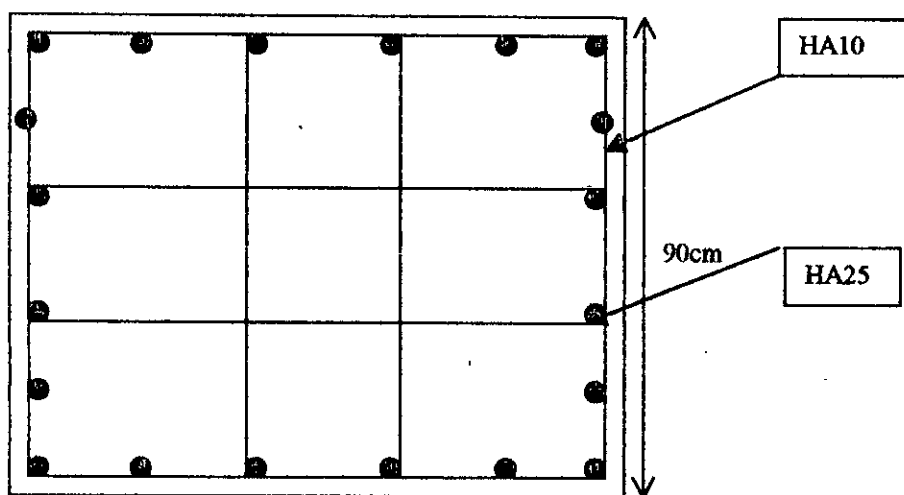
$$t = 70/4 = 17.5 \text{ cm} < 25 \text{ cm}$$

Le pourcentage des armatures : $A_s/b.h = 0.93\% > 0.8\%$

Les armatures transversales : $t = 37.5 \text{ cm}$

$$A_t = 1.237 \text{ cm}^2$$

$$A_{t\min} = 2.976 \text{ cm}^2 \quad 4\phi 10 = 3.14 \text{ cm}^2$$

Classe 3 (60*60) : $A_s = 18.52 \text{ cm}^2$ 20HA14 $T = 16.66 \text{ cm}$ Le pourcentage des aciers ; $A_s/b.h = 0.514\% < 0.8\%$ Donc on doit réduire la section du béton $B = b.h (\text{max.}) = 23.15 \text{ cm}^2$ Vérification de la contrainte du béton ; $\sigma_b = N/b.h = 8.36 \text{ MPa} < 15 \text{ MPa}$ (vérifiée)**2) Les poteaux de rive :**Classe 1 (70*70) $A_s = 68.004 \text{ cm}^2$ 20HA20 $t = 10 \text{ cm} < 25 \text{ cm}$ Pourcentage des armatures ; $t = 30 \text{ cm}$ $A_t = 1.023 \text{ cm}^2$ $A_t = 2.013 \text{ cm}^2$ 4HA8Classe 2 (60*60) $A_s = 43.36 \text{ cm}^2$ 20HA16 $t = 10 \text{ cm} < 25 \text{ cm}$ Pourcentage des armatures ; $A_s/b.h = 1.20\% > 0.8\%$ Les armatures transversales ; $t = 30 \text{ cm}$ $A_t = 1.02 \text{ cm}^2$, $A_{t\min} = 2.013 \text{ cm}^2$ \rightarrow 4HA8

Classe 3(45*45)

$$A_s = 24.34 \text{ cm}^2 \longrightarrow 20\text{HA}14$$

L'espacement $t=11.66\text{cm}<25\text{ cm}$

Pourcentage des armatures ; $A_s/b.h=1.201\%>0.8\%$

Les armatures transversales ; $t=30\text{ cm}$

$$A_t = 0.875 \text{ cm}^2$$

$$A_{t\min} = 1.384 \text{ cm}^2 \longrightarrow 3\text{HA}8 = 1.507 \text{ cm}^2$$

3) Les poteaux circulaires :**Classe 1 (D=65 cm) :**

$$A_s = 56.89 \text{ cm}^2 \Rightarrow 12\text{HA}25 \quad t_{\text{curviligne}} = 5.416 \text{ cm}$$

$A_s/B=1.71\%>0.8\%$ (pourcentage des armatures)

Les armatures transversales $t=10\text{ cm}$

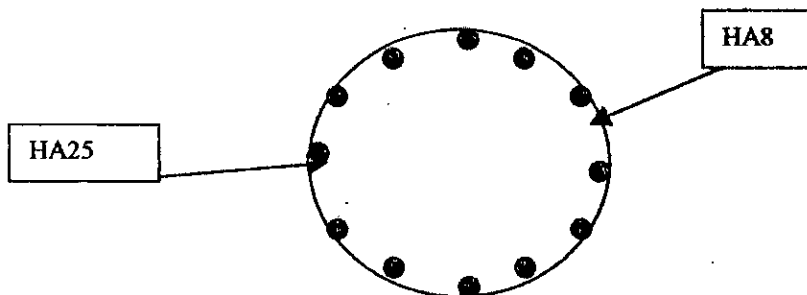
$$A_t = 0.793 \text{ cm}^2 \quad A_{t\min} = 0.183 \text{ cm}^2 \Rightarrow 1\phi 10$$

Poteau circulaire :

Classe1(65cm diamètre) $\Rightarrow A_{su} = 12\text{HA}25$

Classe2(55cm diamètre) $\Rightarrow A_{su} = 12\text{HA}20$

Classe3 (45cm diamètre) $\Rightarrow A_{su} = 12\text{HA}16$



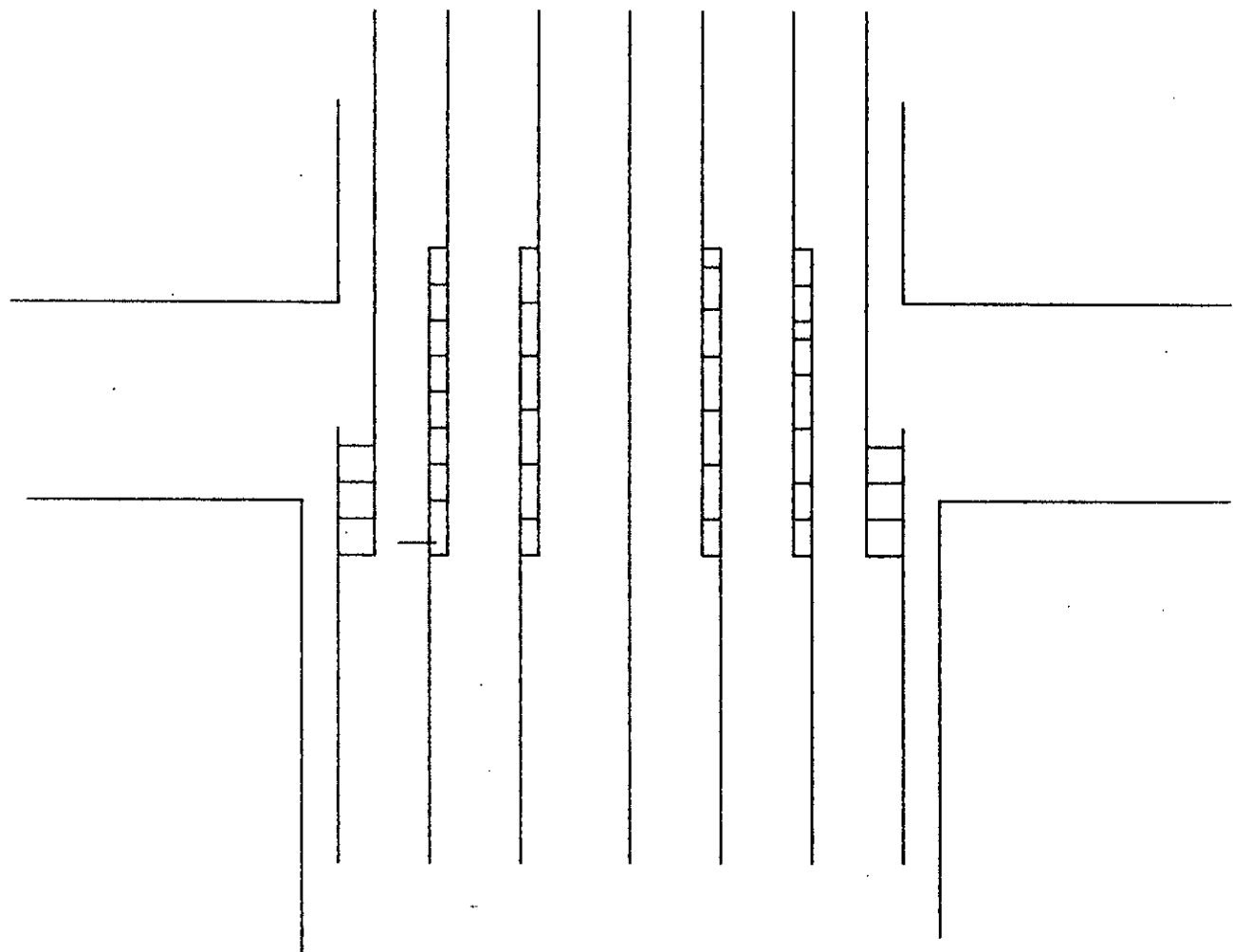
Remarque :

Le ferraillage aux niveaux des nœuds est différent que celui de la partie courant du poteau

L'espacement minimale des armatures transversales $S_t < \min. (10\phi, 15)$

Pour notre cas ; tous les poteaux sont ferrailles par des barres de $16 < \phi < 25$ cm donc $t=15$ cm .

Le pourcentage maximal des aciers longitudinaux est 6% de la section ; toujours vérifié.



**Recouvrement des barres au niveau des nœuds
de deux poteaux ont des sections différentes**

Chapitre VII

LES FOUNDATIONS

CHAPITRE VII

LES FONDATIONS

Les fondations d'une construction sont constituées par les parties de l'ouvrage qui sont en contact avec le sol auquel elles transmettent les charges de la superstructure; elles constituent donc la partie essentielle de l'ouvrage puisque de leur bonne conception et réalisation découle la bonne tenue de l'ensemble.

Les éléments de fondation transmettent les charges au sol, soit directement (radier semelle), soit par l'intermédiaire d'autres organes (pieux).

VII.1) RESISTANCE DE FONDATION :

On distingue, suivant leur profondeur, deux types de fondations :

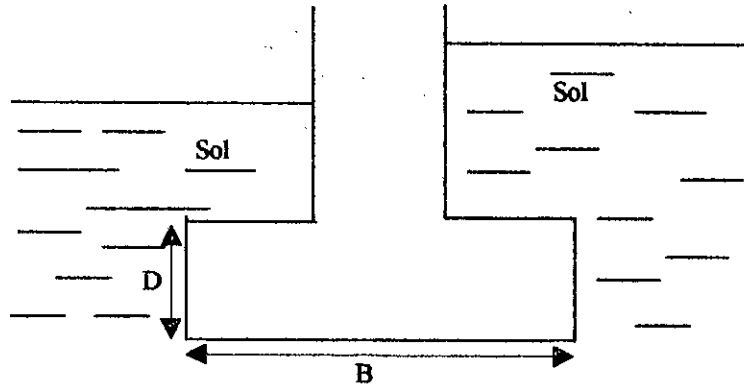
- Les fondations superficielles réalisées par des massifs, des semelles (isolées ou continues), ou des radiers.
- Les fondations profondes ou semi-profondes réalisées par des puits, des ou des parois en maçonnerie, en béton armé, en métal ou en béton précontraint.

VII.2) CLASSIFICATION :

- Soit B largeur d'une semelle
- Soit L longueur d'une semelle.
- Soit d l'épaisseur minimale des terres au-dessus du niveau de fondation.

Fondation superficielle :

lorsque : $D/B < 4$

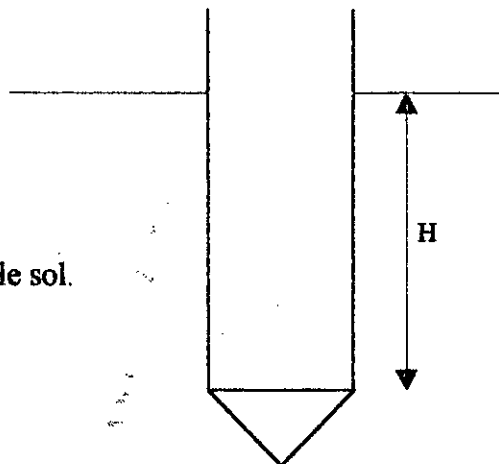


- Des semelles sont dites continue ou filante si
- semelle isolée si
- radier général s'il s'agit de semelles de grandes dimensions : bâtiments fondées sur radier en béton armé-reservoir d'hydrocarbures.

Fondation profonde :

Lorsque $H/B > 10$

Avec H : fiche totale de la fondation dans le sol.

**Fondation semi profonde :**

Lorsque $4 < H/B < 10$

Notons que cette classification était encore valable il y a encore quelques années.

L'apparition en site urbain de bâtiment à nombre important de sous-sols (4 et plus) ne permet plus de garder ces délimitations 0.

Nous préférons classer les modes ou types de fondations en deux grandes catégories suivants la profondeur à laquelle se trouve le «BON SOL».

a- Fondations superficielles :

Lorsque les couches portantes du terrain se trouvent à une profondeur voisine de celle des ouvrages de fondations a affaire à des fondations superficielles.

Les couches peuvent avoir:

- Une faible capacité portante (radier).
- Une forte capacité portante (semelle ou massif sur sol rocheux)

b- Fondations profondes :

Lorsque les couches résistantes du sol se trouvent à grande profondeur, on a alors les fondations ponctuelles (pieux ou puits), leur mode de fonctionnement peut être :

- Par appui direct sur la couche portante.
- Par appui latéral sur la couche portante.
- Par combinaison des deux.

Le choix du type de fondation se fait trois paramètres :

- la nature et le poids de la superstructure.
- La qualité et la quantité des charges appliquées sur la construction.
- La qualité de type de fondation

Dans notre cas, nous avons opté pour une fondation superficielle par semelles.

Parmi les fondation superficielles par semelles :

- Les fondations ponctuelles: semelles isolées (sous poteaux).
- Les fondations linéaires : semelles continues ou filantes.

Nous rappelons que c'est l'ouvrage ou partie d'ouvrage qui assure la transmission, dans des conditions satisfaisantes, des charges ou efforts d'une superstructure au sol résistant.

Si ce dernier se trouve à faible profondeur , c'est à dire au voisinage immédiat des parties enterrées de l'ouvrage on aura intérêt à réaliser des fondations à proximité.

VII.3) CALCUL DES SEMELLES :

VII.3.1) Choix de la semelle :

Il existe bien des cas où la réalisation de semelles isolées n'est pas possible, ou se heurte à divers inconvénients.

Nous indiquons ci-après, des raisons conduisant à adopter une semelle continue ou un radier général :

- L'hétérogénéité du sol de fondation conduirait à des tassements différentielles importants si on prévoyait des fondations isolées.
- La présence d'un faible portance nécessiterait des grandes largeurs de semelles qui entraîneraient une solution non économique.
- La présence de mur de cave en béton armé répartit les charges au niveau des fondations de sorte que des semelles filantes ou un radier s'imposent.
- Les eaux souterraines exigent l'étanchement des sous-sols nécessité de choisir un radier.
- l'introduction de grands efforts dans le plan de fondation (poussées des terres) nécessite des éléments continus.

En vue de satisfaire les contraintes de notre cas (l'importance des charges), nous allons adopter des semelles continues.

On a des charges indépendantes sollicitent notre semelle, donc les semelles continues sous poteaux intervient. Les dimensions sont telle que l'une prévaut nettement sur l'autre ($l > b$).

VII.3.2) Dimensionnement

$$N=903.728 \text{ t}$$

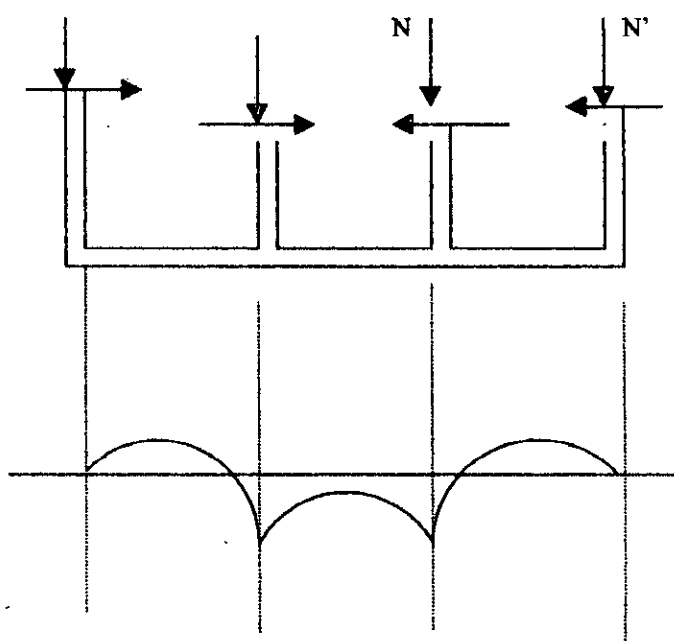
$$M=0.832 \text{ t.m}$$

$$T=0.325 \text{ t}$$

$$N'=688.176 \text{ t}$$

$$M'=0.781 \text{ t.m}$$

$$T'=0.374 \text{ t}$$



Calcul de la capacité portante

Pour les semelles continues on a

$$q_{adm} = I/f(CN_c + qN_q + 0.5\gamma BN_y)$$

$$q = D_f \gamma$$

D_f : profondeur de la semelle

γ : poids spécifique du sol

C : cohésion du sol et f c'est un coefficient de la sécurité ($f=3$)

N_c , N_q et N_y sont des coefficients de la capacité portante

Les rapports du sol :

La couche superficielle

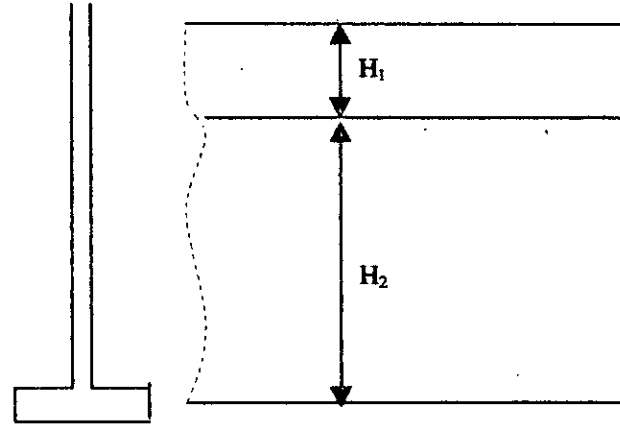
$$\gamma_1 = 14.60 \text{ Kn/m}^3 = 1.460 \text{ t/m}^3$$

$$\phi_1 = 26^\circ$$

$$C_1 = 0.392 \text{ t/m}^2$$

$$W_1 = (10 - 25\%)$$

$$H_1 = 0.60 \text{ m}$$



La deuxième couche

$$\gamma_2 = 1.569 \text{ t/m}^3$$

$$\phi_2 = 25.5^\circ$$

$$C_2 = 0.637 \text{ t/m}^2$$

$$W_2 = (25 - 45\%)$$

$$H_2 = 4.40 \text{ m}$$

On a :

$$q_0 = CN_c + qN_q + 0.5\gamma BN_y$$

$$N_c = 25.1$$

$$N_q = 12.7$$

$$N_y = 9.7$$

On trouve :

$$q_0 = 115.62 + 7.61B \Rightarrow q_{adm} = 38.54 + 2.536B$$

Il faux que :

$$q < q_{adm} = 38.54 + 2.536B \quad N = 3183.808t \quad L = 26.49m$$

$$3183.808/B \cdot L < 38.54 + 2.536B \quad \Rightarrow \quad B = 2.653m$$

On adopte :

$$B = 2.70m$$

Détermination de h_t

On utilise la méthode des consoles ;

$$\sigma_b = M \cdot v / I \leq 0.6 f_{c28}$$

On trouvera $h_t = 1.20m$

On considère la semelle comme une poutre renversée, chargée uniformément par les poussées des terres. En utilisant la méthode de CAQUOT.

Les moments sur les appuis

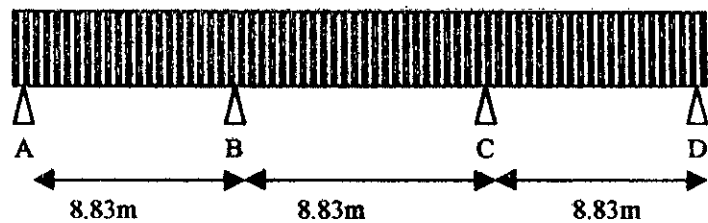
$$q = 74.8t/m$$

$$M_a = M_d = 0.00$$

$$M_b = M_c = M_b = 573.39t.m$$

$$M_{01} = 729.00t.m$$

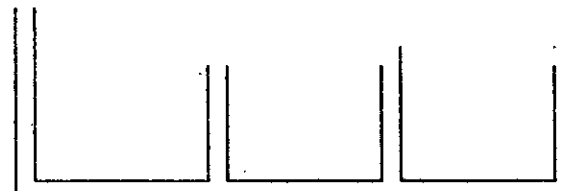
$$M_{02} = 458.15t.m$$



Les moments entravées

$$M_{11} = 470.49t.m$$

$$M_{12} = -115.24t.m$$



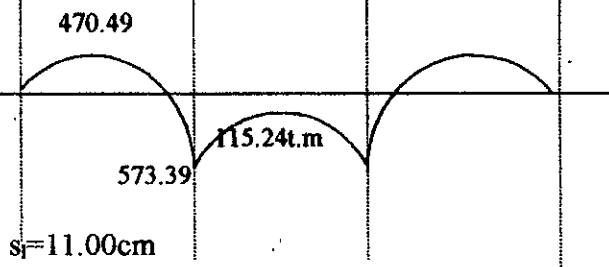
Le ferraillage

Pour la zone tendue (en travée)

$$M_{11} = 470.49t.m$$

$$A_s = 105.32cm^2$$

$$\Rightarrow A_s = 21T25 \quad \text{et} \quad s = 11.00cm$$



* Les armatures sur appui (sous poteau)

$$M_a = 573.39 \text{ t.m}$$

$$A_s = 149.92 \text{ cm}^2 \Rightarrow 19T32$$

* Calcul aux efforts tranchants

$$V = 195.43 \text{ t}$$

$$A_t = 6.234 \text{ cm}^2 \Rightarrow 8T10 = 10.995 \text{ cm}^2$$

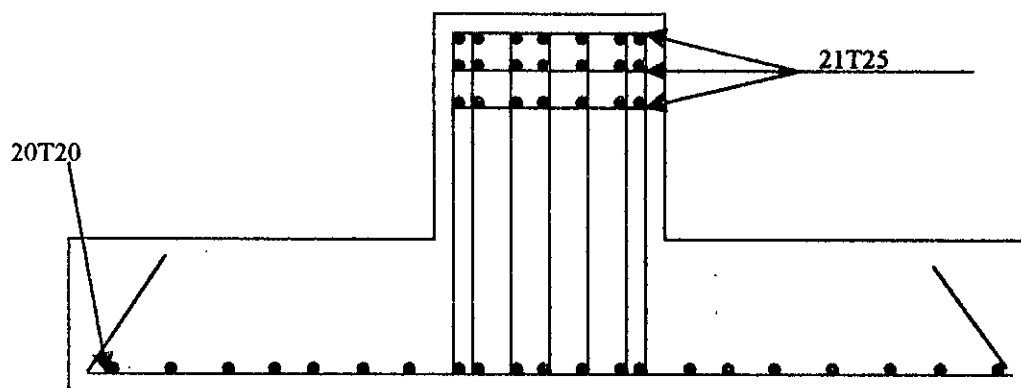
$$S_t = 25 \text{ cm}^2$$

* Calcul des armatures transversales

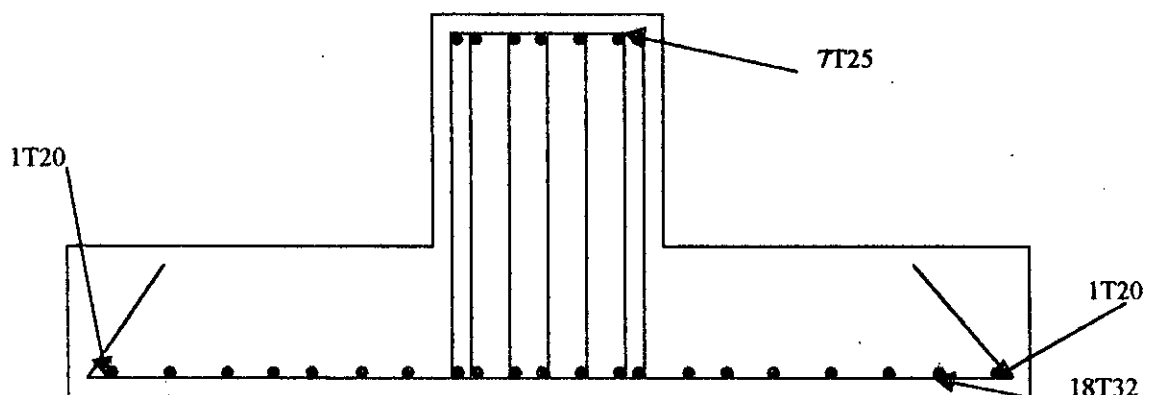
$$M = 30.294 \text{ t.m}$$

$$A_t = 13.48 \text{ cm}^2 / ml$$

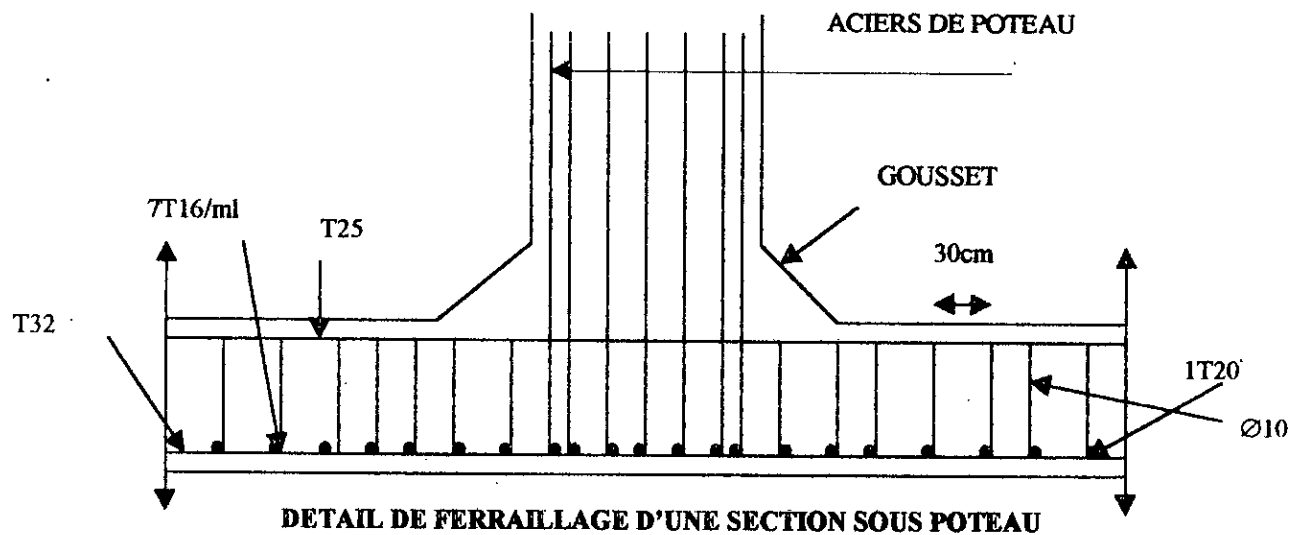
$$\Rightarrow A_t = 7T16 \quad S_t = 15 \text{ cm}$$



FERRAILLAGE D'UNE SECTION EN TRAVEE



FERRAILLAGE D'UNE SECTION SOUS POTEAU



CONCLUSION

CONCLUSION

Dans le but de mettre en relief l'importance des méthodes de calcul automatique , nous avons tenté d'étudier par la méthode MAGE l'analyse dynamique et statique d'une structure contreventé par portique en béton armé.

En effet, portant sur l'étude d'une construction est très intéressante pour les ingénieurs car nous avons envisagé différentes structures (poutres inclinées , poutres de liaisons ,grade portées...)

Nous sommes parvenue à des très bon résultats sur la base de la solution proposée auparavant, qui concerne le problème du bloc (A).

Cette étude nous a permis de constater une légère différence entre les deux ferrailages : manuel et automatique

En revanche, les schémas élaborés ont montré que les valeurs maximums des contraintes, des déformations et les déplacements ne dépassent pas les valeurs limites, ce ci peut s'expliquer par la rigidité de la structure

BIBLIOGRAPHIE

1. L'École d'État des Mines, Paris et ses écoles affiliées.

2. Institut des Mines, Paris et ses écoles affiliées.

3. Institut Supérieur des Mines de Paris et ses écoles affiliées.

4. Institut National d'Haute Électricité et Télégraphie.

5. Institut National Polytechnique de Paris et ses écoles affiliées.

BIBLIOGRAPHIE

1. Mémoires et Rapports de l'École Nationale Supérieure des Mines de Paris.

2. Mémoires et Rapports de l'Institut National d'Haute Électricité et Télégraphie.

3. Mémoires et Rapports de l'Institut Supérieur des Mines de Paris.

4. Mémoires et Rapports de l'Institut National Polytechnique de Paris.

5. Mémoires et Rapports de l'Institut National Supérieur des Mines et Télégraphies.

6. Mémoires et Rapports de l'Institut National Supérieur des Mines et Télégraphies.

7. Mémoires et Rapports de l'Institut National Supérieur des Mines et Télégraphies.

8. Mémoires et Rapports de l'Institut National Supérieur des Mines et Télégraphies.

9. Mémoires et Rapports de l'Institut National Supérieur des Mines et Télégraphies.

10. Mémoires et Rapports de l'Institut National Supérieur des Mines et Télégraphies.

11. Mémoires et Rapports de l'Institut National Supérieur des Mines et Télégraphies.

12. Mémoires et Rapports de l'Institut National Supérieur des Mines et Télégraphies.

13. Mémoires et Rapports de l'Institut National Supérieur des Mines et Télégraphies.

14. Mémoires et Rapports de l'Institut National Supérieur des Mines et Télégraphies.

15. Mémoires et Rapports de l'Institut National Supérieur des Mines et Télégraphies.

16. Mémoires et Rapports de l'Institut National Supérieur des Mines et Télégraphies.

17. Mémoires et Rapports de l'Institut National Supérieur des Mines et Télégraphies.

18. Mémoires et Rapports de l'Institut National Supérieur des Mines et Télégraphies.

19. Mémoires et Rapports de l'Institut National Supérieur des Mines et Télégraphies.

20. Mémoires et Rapports de l'Institut National Supérieur des Mines et Télégraphies.

ANNEXE A

Valeurs propres, fréquences, périodes d'oscillations, chargements: 3-cor

NUMEROS:	VALEURS	F R E Q U E N C E S	PERIODES	
D'ORDRE:	PROPRIES	(1/s)	(Hz)	(s)
1 :	2 :	3 :	4 :	5 :
1	0.52289110	1.9124	0.3045	3.28375
2	0.48631561	2.0563	0.3274	3.05406
3	0.40022430	2.4986	0.3979	2.51340
4	0.34524879	2.8965	0.4612	2.16816

Valeurs propres, fréquences, périodes d'oscillations, chargements: 3-tom

NUMEROS:	VALEURS	F R E Q U E N C E S	PERIODES	
D'ORDRE:	PROPRIES	(1/s)	(Hz)	(s)
1 :	2 :	3 :	4 :	5 :
1	0.53878236	1.8560	0.2955	3.38355
2	0.47128034	2.1219	0.3379	2.95964
3	0.40491039	2.4697	0.3933	2.54283
4	0.32635316	3.0642	0.4879	2.04949
5	0.24663891	4.0545	0.6456	1.54889

Valeurs propres, fréquences, périodes d'oscillations, chargements: 3-ouh

NUMEROS:	VALEURS	F R E Q U E N C E S	PERIODES	
D'ORDRE:	PROPRIES	(1/s)	(Hz)	(s)
1 :	2 :	3 :	4 :	5 :
1	0.74727464	1.3382	0.2131	4.69288
2	0.56653559	1.7651	0.2811	3.55784
3	0.49201337	2.0325	0.3236	3.08984
4	0.23818004	4.1985	0.6686	1.49577
5	0.23212279	4.3081	0.6860	1.45773

E F F O R T S /CONTRAINTE/ DANS LES ELEMENTS

5_	17-2	18-1	18-2	19-1	19-2	20-1	20-
	8	10	10	12	12	14	14
	10	12	12	14	14	16	16

3- 5

N	-.107615	-.097956	-.097956	-.075338	-.075338	-.059464	-.0594
Mt	.025506	.017771	.017771	.020030	.020030	.025643	.0256
My	-.568163	.485385	-.491988	.479188	-.478101	.467292	-.4640
Qz	-.349248	-.325791	-.325791	-.319097	-.319097	-.310437	-.3104
Mz	.044342	-.032335	.038257	-.039587	.041436	-.043279	.0485
Qy	-.024518	-.023531	-.023531	-.027008	-.027008	-.030602	-.0306

3- S1

N	-3.259894	-2.704430	-2.704430	-2.197613	-2.197613	-1.749070	-1.749
Mt	.084960	.045366	.045366	.042470	.042470	.047177	.0471
My	-1.925126	1.578849	-1.624550	1.487543	-1.512689	1.382767	-1.402
Qz	-1.173995	-1.067793	-1.067793	-1.000066	-1.000066	-.928533	-.9285
Mz	-.547856	.237901	-.378845	.267265	-.326889	.252911	-.2953
Qy	.221305	.205495	.205495	.198026	.198026	.182735	.1827

5_	23-1	23-2	24-1	24-2	25-1	25-2	26-
	20	20	22	22	24	24	26
	22	22	24	24	26	26	28

1-

N	-92.952477	-88.152473	-72.489517	-67.689514	-52.165833	-47.365833	-39.77
Mt	.005314	.005314	-.014550	-.014550	-.045317	-.045317	-.0728
My	-2.555225	2.711844	-2.395950	2.569991	-1.957570	1.866729	-1.582
Qz	1.755690	1.755690	1.655314	1.655314	1.274766	1.274766	1.382
Mz	-.202052	.323988	-.231036	.321999	-.278105	.303402	-.4204
Qy	-.175346	-.175346	-.184345	-.184345	-.193836	-.193836	-.3129

2-

N	-25.626919	-25.626919	-18.356195	-18.356195	-11.106267	-11.106267	-3.866
Mt	.004034	.004034	-.005145	-.005145	-.017136	-.017136	-.0266
My	-.986185	1.048998	-.902703	.957501	-.791770	.847077	-.5506
Qz	.678394	.678394	.620068	.620068	.546282	.546282	.3610
Mz	-.032949	.071243	-.022218	.047720	-.042585	.042454	-.0946
Qy	-.034731	-.034731	-.023312	-.023312	-.028346	-.028346	-.0594

3- 1

N	-.508684	-.508684	-.274922	-.274922	-.115545	-.115545	-.0264
Mt	.012925	.012925	.010730	.010730	.008069	.008069	.0043
My	.613473	-.624282	.488568	-.504237	.363752	-.379916	.2502
Qz	-.412585	-.412585	-.330935	-.330935	-.247890	-.247890	-.1755
Mz	.160734	-.194113	.112540	-.151542	.063031	-.100402	.0327
Qy	.118282	.118282	.088027	.088027	.054478	.054478	.0309

3- 2

N	.287314	.287314	.174294	.174294	.089811	.089811	.0320
Mt	-.000281	-.000281	-.000251	-.000251	-.000273	-.000273	.0000
My	.088104	-.089951	.066712	-.069303	.046147	-.048481	.0301
Qz	-.059352	-.059352	-.045338	-.045338	-.031543	-.031543	-.0211
Mz	-.110332	.129078	-.080881	.102942	-.049399	.071137	-.0271
Qy	-.079803	-.079803	-.061274	-.061274	-.040179	-.040179	-.0241

COMBINAISONS

ELM	NS	CRT	ST	RS	CONTR.	N	Mt	My	Qz	Mz	
	2	3	S	-155.97	B	-65.617188	.070126	-7.662519	5.218693	.885	
	6	3	S	-9.9770	B	-52.824326	-.026267	-4.452999	3.025663	1.23	
	9	3	S	.99255	B	-67.177582	-.016728	-6.252386	4.249672	1.53	
10	2	1	1	16.801	A	-67.768036	.028607	7.619623	4.978984	-1.27	
		1	3	S	31.468	B	-64.117188	.070126	7.993576	5.218693	-.824
		2	3	S	-7.1918	B	-51.324326	-.026267	4.623973	3.025663	-1.31
		9	3	S	.99255	B	-65.677582	-.016728	6.496614	4.249672	-1.61
11	1	2	1	-133.86	A	-51.523022	-.000983	-7.313777	4.993490	1.13	
		4	3	S	-168.03	B	-49.991619	-.035445	-7.535767	5.151685	1.31
		24	3	S	-37.509	B	-48.968845	.033193	-6.387861	4.356191	.859
11	2	1	1	36.120	A	-50.023022	-.000983	7.666693	4.993490	-1.20	
		1	3	S	37.708	B	-48.491619	-.035445	7.919308	5.151685	-1.45
		26	3	S	-36.125	B	-47.468845	.033193	6.680693	4.356191	-.850
12	1	2	1	-114.35	A	-33.987541	-.031175	-6.927612	4.571890	.899	
		4	3	S	-139.89	B	-33.046272	-.004548	-7.014162	4.640061	.999
		24	3	S	-22.755	B	-32.468994	-.054623	-6.161649	4.041754	.728
12	2	1	1	43.170	A	-32.487541	-.031175	6.788058	4.571890	-1.11	
		1	3	S	43.483	B	-31.546270	-.004548	6.906078	4.640061	-1.27
		26	3	S	-19.565	B	-30.968996	-.054623	5.963555	4.041754	-.855
13	1	2	1	-108.95	A	-18.833759	-.066025	-7.172286	5.583638	.413	
		4	3	S	-120.11	B	-18.489935	-.048414	-7.173944	5.600673	.447
		24	3	S	-13.506	B	-18.284960	-.077504	-6.545481	5.136665	.358
13	2	1	1	101.58	A	-17.333759	-.066025	9.578629	5.583638	-.659	
		3	3	S	121.20	B	-16.989935	-.048414	9.628131	5.600673	-.736
		26	3	S	-9.5601	B	-16.784960	-.077504	8.864459	5.136665	-.541
14	1	2	1	-508.01	A	-472.41589	.045567	-4.440112	2.773148	.286	
		2	3	S	-514.93	B	-441.19671	-.056637	-6.827284	3.575465	-1.77
		6	3	S	-461.20	B	-454.89465	.142051	-1.577623	1.679503	2.31
		9	3	S	.62886	B	-333.04376	.127753	-.389333	.951182	2.22
14	2	2	1	-403.18	A	-467.51586	.045567	6.652481	2.773148	.852	
		9	3	S	.62886	B	-328.14373	.127753	3.353570	.951182	.831
		10	3	S	-.68885	B	-436.29669	-.056637	7.536401	3.575465	.469
15	1	2	1	-488.03	A	-419.08850	.052595	-8.361307	3.317242	.317	
		9	1		.02675	A	-286.44790	.030225	-5.544189	2.132257	.268
		2	3	S	-494.95	B	-391.17944	-.083473	-10.991165	4.212767	-1.11
		6	3	S	-376.56	B	-402.78399	.181206	-4.792408	2.026723	1.73
		9	3	S	.73848	B	-292.25018	.162564	-2.444810	1.039235	1.69

Thu Jan 11 11:19:28 1996

ARGEN

DEPLACEMENTS NODAUX E=1000:1

	3	4	5	6	7	8	9
1 -							
u	-.073282	-.060218	-.187566	-.195757	-.206359	-.188906	-.038189
v	.081603	.036278	.305029	.218828	.592828	.494373	.813652
w	-.514991	-.825879	-.876126	-.1.758374	-.1.354690	-.2.503494	-.1.623570
θ_x	-.033402	-.021510	-.046182	-.051377	-.063269	-.073865	-.075247
θ_y	.029895	.048990	.031889	.048964	.109388	.068357	.142912
θ_z	-.007126	-.002641	-.009912	-.006294	-.010651	-.009728	-.008717
2 -							
u	-.034257	-.027138	-.072416	-.074249	-.064432	-.054540	.035951
v	.035701	.019260	.142945	.107527	.282992	.241783	.399964
w	-.173490	-.310844	-.299182	-.677410	-.460694	-.957865	-.546824
θ_x	-.016470	-.011733	-.022996	-.025825	-.034062	-.037057	-.040894
θ_y	.004702	.016765	.029201	.034622	.063166	.039646	.084505
θ_z	-.003039	-.001329	-.004602	-.003582	-.005441	-.005114	-.005051
3 - 1							
u	.127994	.126809	.444666	.445159	.761049	.761332	.911931
v	.178483	.127412	.597501	.496455	.993446	.838645	1.192966
w	.002500	-.012942	.004389	-.027059	.006963	-.037454	.008396
θ_x	-.070226	-.051450	-.080794	-.069989	-.069219	-.061419	-.059405
θ_y	.048074	.033815	.058408	.042433	.048251	.042755	.042736
θ_z	-.010981	-.006562	-.016806	-.017636	-.027170	-.027881	-.031517
3 - 2							
u	.028932	.029055	.084764	.084921	.132110	.132135	.151773
v	-.083383	-.074671	-.274881	-.286425	-.450066	-.476341	-.536043
w	.006934	.005355	.011534	.011549	.017038	.016188	.019901
θ_x	.032477	.029560	.036609	.039008	.030190	.032745	.025454
θ_y	.009300	.006434	.009499	.006299	.006437	.005536	.005241
θ_z	-.000168	-.000495	-.001550	-.002927	-.004214	-.004848	-.005621
3 - 3							
u	.017987	.017870	.062299	.062398	.104845	.104872	.124328
v	-.063645	-.038104	-.191663	-.142162	-.287002	-.229197	-.326251
w	.004532	.002110	.007484	.004513	.010950	.006251	.012770
θ_x	.022982	.014927	.022815	.018483	.014494	.014274	.011226
θ_y	.006803	.004655	.008045	.005726	.006302	.005566	.005417
θ_z	.004763	.002901	.007332	.007635	.010004	.010490	.010500
3 - 4							
u	-.037785	-.033683	-.263665	-.264245	-.512723	-.513020	-.631166
v	-.011084	-.002331	-.051159	-.024298	-.100996	-.057595	-.130943
w	-.008536	.003301	-.014624	.006958	-.022085	.009733	-.025972
θ_x	.005772	.002153	.008675	.006143	.009883	.007647	.009433
θ_y	-.028376	-.016641	-.044640	-.033029	-.038046	-.033375	-.033354
θ_z	.002228	.001317	.004428	.003652	.009137	.005822	.011411
3 - 5							
u	.047738	.047272	.168932	.169190	.291051	.291238	.349285
v	.006230	-.003998	.016426	-.014671	.021078	-.025450	.022773
w	.005093	-.000698	.008628	-.001265	.013027	-.001638	.015341
θ_x	-.002004	.001373	-.001561	.001833	-.000530	.001630	-.000714
θ_y	.018265	.012538	.022384	.016111	.018529	.016242	.016514
θ_z	-.004530	-.002403	-.007221	-.007014	-.011449	-.010743	-.013433

FORMES D'OSCILLATIONS

3 4 5 6 7 8 9 10 11 12 13 14

3 - 1

u	-48	-48	-168	-168	-288	-288	-345	-345	-405	-405	-463	-463
v	-67	-48	-226	-188	-376	-317	-452	-385	-522	-447	-589	-505
w		4	-1	10	-2	14	-3	16	-3	18	-4	20
θ_x	26	19	30	26	26	23	22	20	20	18	19	17
θ_y	-18	-12	-22	-16	-18	-16	-16	-14	-16	-13	-15	-13
θ_z	4	2	6	6	10	10	11	12	13	14	15	16

3 - 2

u	-14	-15	-43	-43	-68	-68	-78	-78	-88	-88	-97	-97
v	43	38	142	148	232	246	277	295	317	338	356	378
w	-3	-2	-5	-5	-8	-8	-10	-9	-11	-11	-13	-12
θ_x	-16	-15	-18	-20	-15	-16	-13	-14	-12	-12	-11	-11
θ_y	-4	-3	-4	-3	-3	-2	-2	-2	-2	-1	-2	-1
θ_z				1	2	2	2	2	3	3	3	3

3 - 3

u	-19	-19	-66	-66	-112	-112	-133	-133	-154	-154	-174	-174
v	68	40	205	152	308	245	350	289	387	325	422	358
w	-4	-2	-8	-4	-11	-6	-13	-7	-15	-8	-17	-9
θ_x	-24	-16	-24	-19	-15	-15	-12	-12	-11	-10	-10	-9
θ_y	-7	-4	-8	-6	-6	-5	-5	-5	-5	-4	-5	-4
θ_z	-5	-3	-7	-8	-10	-11	-11	-12	-11	-13	-12	-14

3 - 4

u	20	18	143	143	279	279	343	343	411	411	477	477
v	6	1	27	13	54	31	71	43	88	56	107	70
w	4	-1	7	-3	12	-5	14	-6	16	-7	18	-7
θ_x	-3	-1	-4	-3	-5	-4	-5	-4	-5	-4	-6	-4
θ_y	15	9	24	17	20	18	18	15	18	15	17	14
θ_z	-1		-2	-1	-4	-3	-6	-3	-7	-4	-9	-5

3 - 5

u	-25	-25	-91	-91	-157	-157	-189	-188	-223	-223	-256	-256
v	-3	2	-8	7	-11	13	-12	16	-14	19	-19	21
w	-2		-4		-7		-8		-9	1	-10	1
θ_x	1										2	
θ_y	-9	-6	-12	-8	-10	-8	-8	-7	-9	-7	-9	-7
θ_z	2	1	3	3	6	5	7	6	8	8	10	9

23 24 25 26 27 28 30 31 32 33 34 35

3 - 1

u	-752	-752	-796	-796	-831	-831	-47	-168	-288	-345	-406	-463
v	-915	-783	-962	-823	-1000	-857	-40	-149	-251	-298	-349	-396
w	-5	25	-6	26	-6	26	11	20	27	31	37	41
θ_x	15	13	12	11	10	9	12	17	15	12	10	10
θ_y	-11	-8	-9	-7	-8	-6	-7	-22	-18	-15	-12	-12
θ_z	24	25	25	26	26	27	3	6	10	12	14	15

ANNEXE B

E F F O R T S /CONTRAINTE/ DANS LES ELEMENTS

5_	1-1	1-2	2-1	2-2	3-1	3-2	4
	1	1	6	6	11	11	16
	6	6	11	11	16	16	21
1-							
N	-12.379749	-7.479749	4.453269	10.823269	-179.07783	-173.32034	-158.
Mt	-.026845	-.026845	.020650	.020650	-.292587	-.292587	-.202
My	-3.462896	7.154279	-5.814250	2.974725	-6.141029	10.075172	-7.82
Qz	2.654294	2.654294	1.690187	1.690187	3.450256	3.450256	5.91
Mz	-.466483	1.034129	-.933162	.496511	-3.269820	2.040172	-1.79
Qy	-.375153	-.375153	-.274937	-.274937	-1.129786	-1.129786	-1.25
2-							
N	-1.677047	-1.677047	1.290036	1.290036	-31.412846	-31.412846	-26.4
Mt	-.010369	-.010369	.007976	.007976	-.052801	-.052801	-.032
My	-.630898	1.573046	-1.633631	.908902	-1.896865	2.833997	-2.81
Qz	.550986	.550986	.488949	.488949	1.006567	1.006567	2.07
Mz	-.050055	.124392	-.128734	.071551	-1.280005	.564312	-.424
Qy	-.043612	-.043612	-.038516	-.038516	-.392408	-.392408	-.311
3- 1							
N	.006448	.006448	-.004960	-.004960	1.869203	1.869203	1.52
Mt	-.042994	-.042994	.033072	.033072	-.145921	-.145921	.020
My	.044070	-.049401	-.014721	.018822	.348731	-.226383	.000
Qz	-.023368	-.023368	.006451	.006451	-.122365	-.122365	-.042
Mz	-.057005	.074249	-.003001	-.010263	3.694679	-1.101581	-.128
Qy	-.032814	-.032814	.001397	.001397	1.020481	1.020481	.120
3- 2							
N	-.003354	-.003354	.002580	.002580	.083595	.083595	.051
Mt	.000431	.000431	-.000331	-.000331	-.082359	-.082359	-.077
My	-.030899	.032523	.014825	-.016074	.461912	-.204898	.089
Qz	.015855	.015855	-.005942	-.005942	-.141874	-.141874	-.075
Mz	.008947	-.007390	-.008610	.007412	-.665414	.197187	-.003
Qy	.004084	.004084	-.003081	-.003081	-.183532	-.183532	-.033
3- 3							
N	.018257	.018257	-.014044	-.014044	-1.886641	-1.886641	-1.59
Mt	-.009869	-.009869	.007591	.007591	-.007417	-.007417	.045
My	.137350	-.150860	-.052493	.062886	-2.063089	.841018	-.475
Qz	-.072053	-.072053	.022188	.022188	.617895	.617895	.349
Mz	-.023578	.028698	.003045	-.006984	1.223517	-.348111	-.032
Qy	-.013069	-.013069	.001929	.001929	.334389	.334389	.037
3- 4							
N	-.007931	-.007931	.006101	.006101	.657896	.657896	.528
Mt	.000504	.000504	-.000388	-.000388	-.103151	-.103151	-.105
My	.003567	.009471	-.029882	.019854	1.119769	-.472712	.247
Qz	.001476	.001476	.009565	.009565	-.338826	-.338826	-.190
Mz	.015045	-.013986	-.011157	.010343	-.999034	.287377	-.006
Qy	.007258	.007258	-.004135	-.004135	-.273704	-.273704	-.046

COMBINAISONS

ELM		NS	CRT	ST	RS	CONTR.	N	Mt	My	Qz	Mz
21	2	1	1	28.027	A	-122.95576	.047789	13.321578	8.190131	1.77	
		4	1	-13.545	A	-93.833397	-.002629	9.139812	5.605820	1.11	
		1	3	S 30.217	B	-117.18174	.139790	12.070386	7.408836	2.66	
		3	3	S 6.1464	B	-119.02232	-.061018	13.178847	8.109989	.661	
		4	3	S -28.205	B	-92.913109	.097775	8.585581	5.255243	2.11	
		11	3	S .16376	B	-94.753685	-.103033	9.694042	5.956397	.107	
22	1	2	1	-219.71	A	-102.75909	-.044670	-7.787267	5.555382	-.984	
		6	1	-1.0217	A	-79.394440	-.056344	-5.283464	3.781161	-.594	
		4	3	S -199.28	B	-99.506859	-.089850	-7.851392	5.589197	-.367	
		6	3	S -2.5972	B	-80.036308	-.099578	-5.764891	4.110679	-.043	
		8	3	S -30.004	B	-78.752571	-.013109	-4.802038	3.451643	-1.14	
		10	3	S -1.0940	B	-98.223122	-.003381	-6.888540	4.930161	-1.47	
		29	4	S .00176	B	-64.050446	-.081104	-4.627960	3.299527	-.016	
22	2	1	1	32.720	A	-101.25909	-.044670	8.878881	5.555382	1.16	
		4	1	-6.5664	A	-77.894440	-.056344	6.060019	3.781161	.710	
		3	3	S 15.430	B	-98.006859	-.089850	8.916235	5.589197	.408	
		4	3	S -21.815	B	-77.252571	-.013109	5.552855	3.451643	1.39	
		10	3	S -1.0940	B	-96.723122	-.003381	7.901905	4.930161	1.77	
		11	3	S .30895	B	-78.536308	-.099578	6.567184	4.110679	.025	
		29	4	S .00164	B	-62.850441	-.081104	5.270653	3.299527	-.002	
23	1	2	1	-214.14	A	-81.680389	-.008824	-9.051657	6.049548	-.883	
		4	3	S -194.63	B	-79.121498	-.043160	-8.949619	5.994148	-.285	
		10	3	S -.89398	B	-78.292686	.017794	-8.204912	5.471223	-1.34	
		11	3	S .24176	B	-64.254990	-.062453	-6.577665	4.409836	.054	
		27	4	S .03426	B	-51.417805	-.050978	-5.274544	3.536584	.061	
23	2	1	1	54.297	A	-80.180389	-.008824	9.096988	6.049548	.988	
		3	3	S 38.587	B	-77.621498	-.043160	9.032888	5.994148	.317	
		4	4	S -.09989	B	-49.527130	-.000183	4.648430	3.100813	.941	
		10	3	S -.89398	B	-76.792686	.017794	8.208693	5.471223	1.51	
		11	3	S .24176	B	-62.754986	-.062453	6.651905	4.409836	-.046	
		27	4	S .03438	B	-50.217804	-.050978	5.335261	3.536584	-.056	
24	1	2	1	-189.83	A	-60.622063	.043394	-9.030328	6.065447	-.660	
		4	3	S -173.34	B	-58.316189	.013920	-8.834420	5.946928	-.207	
		10	3	S -.54195	B	-58.811504	.059516	-8.287570	5.554261	-.998	
		11	3	S .11082	B	-48.025108	-.019459	-6.487761	4.372667	.082	
		27	4	S .04264	B	-38.411831	-.016327	-5.199323	3.504678	.079	
24	2	1	1	73.870	A	-59.122063	.043394	9.166012	6.065447	.808	
		3	3	S 59.729	B	-56.816189	.013920	9.006510	5.946928	.265	
		10	3	S -.54195	B	-57.311504	.059516	8.375067	5.554261	1.22	
		11	3	S .11082	B	-46.525108	-.019459	6.630387	4.372667	-.055	
		27	4	S .04276	B	-37.211830	-.016327	5.314834	3.504678	-.060	

Produit de ALGOSOFT (France-Paris) 9

Tue Jan 09 01:50:30 1996 DDDDD

D E P L A C E M E N T S N O D A U X E=1000:1

	401	402	403	404	405	406	407
--	-----	-----	-----	-----	-----	-----	-----

1 -							
u	.579796	-.187085	-.864838	1.152778	1.107760	.398098	-.647675
v	2.660623	2.659229	2.659852	2.919254	2.913956	2.918537	2.928203
w	-3.617745	-3.707339	-4.639646	-3.681112	-4.248320	-3.682258	-3.770326
θ_x	-.046475	-.056586	.019928	-.147359	-.046612	.041383	-.028223
θ_y	-.105208	-.195776	-.471188	-.422487	-.452468	-.574744	-.668841
θ_z	.104714	.098029	.065416	.098043	.138436	.112655	.106599
2 -							
u	-.132708	-.379321	-.505149	.491429	.289248	-.213259	-.527192
v	.052403	.052918	.053250	.062311	.059093	.056183	.056473
w	-.767307	-.750468	-.717202	-.604258	-1.120568	-.774311	-.756985
θ_x	.011709	.009953	.016721	-.039395	-.008519	.015763	.008148
θ_y	-.064970	-.085485	-.111922	-.029344	-.036839	-.076234	-.103271
θ_z	.066256	.045075	.043632	.077799	.088701	.075143	.050725
3 - 1							
u	.365014	.622078	.926728	-.393056	-.055212	.371749	.635154
v	.029080	.028996	.028919	.037289	.037192	.037099	.036981
w	-.005569	-.010120	-.017788	.013756	.002271	-.005589	-.010166
θ_x	-.002811	-.002761	-.002479	-.002161	-.002226	-.002045	-.001967
θ_y	.002507	.004750	.005565	-.003297	.001080	.001130	.002739
θ_z	-.062010	-.053049	-.054347	-.061721	-.060162	-.063396	-.054272
3 - 2							
u	-.394902	-.603108	-.944913	.157092	-.113800	-.410348	-.617051
v	1.413288	1.413301	1.413554	1.458716	1.458684	1.458848	1.458942
w	.009042	-.006637	-.010125	.017507	.004938	.009059	-.006665
θ_x	-.016927	-.017055	-.016453	-.009467	-.007255	-.010380	-.010533
θ_y	-.005821	-.005704	-.007145	.000922	.003102	-.005300	-.003858
θ_z	.039080	.044402	.044353	.040105	.040305	.039187	.044442
3 - 3							
u	-.1.005288	-.874834	-.730589	-1.170956	-1.167678	-1.035610	-.894588
v	-.832181	-.832233	-.832404	-.860925	-.860944	-.861041	-.861152
w	.015892	.022077	.026537	.024501	.038281	.015979	.022160
θ_x	.010431	.010715	.010139	.006759	.004111	.005656	.006289
θ_y	-.010805	-.007144	-.003457	-.013587	-.012085	-.006501	-.004318
θ_z	-.015810	-.016898	-.012569	-.009425	-.007619	-.016699	-.017703
3 - 4							
u	.174291	.226411	.209998	-.738671	-.270977	.179247	.231951
v	-.741145	-.741036	-.741260	-.762393	-.762151	-.761569	-.761566
w	-.003704	.004023	.007968	.012019	.008939	-.003704	.004032
θ_x	.007586	.007727	.007341	.003903	.002259	.004418	.004748
θ_y	.001927	.002170	.001871	-.007105	-.003236	.001619	.001404
θ_z	-.059083	-.034781	-.048217	-.070270	-.067475	-.060364	-.035456
3 - 5							
u	.159483	-.094607	-.646665	1.177088	.579039	.173339	-.091848
v	-.018433	-.018521	-.018535	-.031403	-.031752	-.032115	-.032173
w	-.004380	.002455	.012918	-.039570	-.021845	-.004417	.002479
θ_x	.004964	.004850	.004565	.003414	.003655	.003785	.003529
θ_y	.004978	.001161	-.002574	.012507	.003654	.003973	.001059
θ_z	.058557	.070831	.077961	.074407	.078394	.060531	.072902

Produit de ALGOSOFT (France-Paris) 9
Tue Jan 09 01:49:47 1996 DDDDD

CHARGES NODALES

	136	137	138	139	140	141	142	143	144	145	146	147
--	-----	-----	-----	-----	-----	-----	-----	-----	-----	-----	-----	-----

3 - 1

u - .0037-.0135-.0190-.0018-.0039-.0146-.0206-.0019-.0043-.0158-.0223-.0020
v - .0373-.0679-.0535-.0267-.0397-.0737-.0585-.0291-.0432-.0803-.0638-.0310
w .0005 .0006 .0007 .0002 .0005 .0006 .0008 .0003 .0005 .0006 .0008 .0003

3 - 2

u .0078 .0271 .0346 .0038 .0085 .0292 .0376 .0043 .0095 .0317 .0406 .0047
v - .0012-.0023-.0018-.0008-.0012-.0023-.0018-.0008-.0012-.0023-.0018-.0008

3 - 3

u .0308 .0512 .0351 .0241 .0335 .0550 .0374 .0269 .0370 .0594 .0398 .0291
v - .0156-.0283-.0223-.0112-.0166-.0308-.0245-.0121-.0181-.0335-.0266-.0129
w - .0003 .0002 .0003-.0006-.0003 .0002 .0003-.0006-.0003 .0002 .0003-.0006

3 - 4

u .0070 .0199 .0173 .0016 .0077 .0216 .0188 .0018 .0086 .0235 .0204 .0020
v .0017 .0031 .0024 .0016 .0024 .0044 .0035 .0021 .0031 .0058 .0046 .0025
w - .0002 -.0002 -.0002

3 - 5

u - .0184-.0061 .0623-.0197-.0222-.0109 .0640-.0233-.0266-.0157 .0660-.0263
v - .0387-.0703-.0554-.0269-.0401-.0742-.0590-.0287-.0427-.0791-.0628-.0300
w .0010 .0005 .0004 .0004 .0010 .0006 .0004 .0003 .0010 .0006 .0005 .0003

	156	157	158	164	165	166	167	168	169	170	171	172
--	-----	-----	-----	-----	-----	-----	-----	-----	-----	-----	-----	-----

3 - 1

u - .0057-.0209-.0253 -.0006-.0006-.0011-.0016-.0013-.0044-.0069-.0019
v - .0562-.1084-.0741-.0025-.0039-.0042-.0049-.0031-.0117-.0196-.0148-.0204
w .0005 .0008 .0009 -.0003 -.0005 -.0007

3 - 2

u .0126 .0423 .0461 -.0002 .0019 .0028 .0073 .0119
v - .0014-.0028-.0019-.0007-.0012-.0013-.0015-.0009-.0036-.0061-.0046-.0064
w -.0002 -.0002 -.0002

3 - 3

u .0488 .0787 .0442-.0003 .0011 .0015 .0049 .0040 .0047 .0187 .0167 .0095
v - .0236-.0456-.0311 .0003 .0003 .0003 .0002 .0008 .0013 .0010 .0012
w -.0004 .0002 .0003

3 - 4

u .0116 .0317 .0235 -.0003-.0002 .0005 .0006-.0003 .0019 .0024
v .0051 .0100 .0068-.0024-.0038-.0041-.0048-.0030-.0113-.0188-.0143-.0193
w -.0002-.0002-.0002 -.0002 -.0003

3 - 5

u - .0394-.0293 .0691 .0008-.0005-.0004 .0022 .0078-.0009 .0077 .0324-.0023
v - .0527-.1014-.0693-.0020-.0031-.0034-.0040-.0025-.0089-.0149-.0113-.0142
w .0011 .0007 .0005

Produit de ALGOSOFT (France-Paris) 9
 Tue Jan 09 01:49:42 1996 DDDDD

FORMES D'OSCILLATIONS

	292	293	294	295	296	297	298	299	300	301	302	303
<hr/>												
3 - 2												
u	169	295	496	132	188	322	538	144	203	343	570	153
v	-542	-542	-543	-623	-623	-624	-624	-688	-688	-689	-689	-736
w	16	7	11	-1	16	8	12	-1	16	8	12	-1
θ_x	24	25	25	11	20	21	21	10	16	16	16	9
θ_y	7	8	10	-2	5	7	8	-1	4	5	6	-1
θ_z	-28	-20	-20	-23	-28	-22	-21	-25	-29	-23	-23	-26
3 - 3												
u	540	497	431	617	596	535	458	668	640	565	478	705
v	369	369	370	412	412	412	412	447	447	447	447	473
w	1	-3	-5	13	1	-3	-6	13	1	-3	-6	13
θ_x	-12	-12	-11	-8	-10	-10	-9	-7	-8	-8	-7	-6
θ_y	16	9	3	10	13	7	2	8	10	5	1	6
θ_z	6	8	8	6	9	10	9	8	12	11	10	10
3 - 4												
u	-45	-99	-79	59	-46	-106	-85	66	-47	-111	-90	71
v	148	148	148	171	171	171	171	190	191	190	190	205
w	-4	-2	-3	2	-4	-2	-3	2	-4	-2	-3	2
θ_x	-7	-7	-7	-4	-6	-6	-5	-4	-4	-4	-4	-4
θ_y	-2	-1	2		-1	-1	1		-1		1	
θ_z	45	70	78	85	49	76	85	91	52	81	90	96
3 - 5												
u	-145	4	354	-245	-174	-8	369	-276	-199	-19	380	-299
v	290	290	290	348	348	348	348	396	396	396	397	433
w	-11	-4	-6	-2	-11	-5	-6	-1	-11	-5	-7	-1
θ_x	-16	-17	-15	-4	-14	-15	-13	-4	-12	-12	-11	-4
θ_y	-9	-4		-2	-8	-3		-1	-6	-3		-1
θ_z	-34	-25	-26	-34	-39	-28	-29	-37	-43	-30	-31	-39
	314	316	317	319	320	321	322	323	324	325	326	327
<hr/>												
3 - 1												
u	-4	-5	26	43	4	62	7	80	10	97	13	112
v				-17	-17	-42	-42	-68	-68	-92	-92	-115
w					-1	1	-3	1	-5	1	-6	1
θ_x			2	6	3	7	3	6	4	6	3	6
θ_y			4	4	-1	3	-1	3	-1	3	-1	3
θ_z		3	3	6	11	9	14	13	17	15	19	18
3 - 2												
u	-2	-7	-35	-54	9	-71	16	-83	24	-91	32	-96
v	1	1	-3	-79	-79	-188	-188	-295	-295	-395	-395	-487
w			-3	-5	-7	-8	-14	-10	-18	-11	-21	-12
θ_x		1	13	29	15	32	15	30	16	27	16	25
θ_y			-5	-3	-6	-2	-5	-2	-5	-1	-5	-1
θ_z	-1	-3	-26	-31	-4	-30	-11	-29	-15	-28	-18	-28

ANNEXE C

E F F O R T S /CONTRAINTES/ DANS LES ELEMENTS

	5_	132-2	133-1	133-2	134-1	134-2	135-1	135-
		64	68	68	72	72	76	76
		68	72	72	76	76	80	80
1-								
N	-364.056667	-335.36615	-329.60864	-301.32342	-297.64843	-269.52002	-266.8	
Mt	-.024348	-.031393	-.031393	-.035717	-.035717	-.028567	-.0285	
My	-.565292	1.223619	-1.500641	1.446107	-1.645511	1.753006	-1.857	
Qz	-.192766	-.579630	-.579630	-1.030539	-1.030539	-1.203585	-1.203	
Mz	.337236	-.057620	.018362	.138611	-.070221	.314212	-.2832	
Qy	-.149578	-.016167	-.016167	.069611	.069611	.199158	.1991	
2-								
N	-94.110855	-82.662720	-82.662720	-71.335411	-71.335411	-60.018322	-60.01	
Mt	-.013997	-.019079	-.019079	-.018747	-.018747	-.011602	-.0116	
My	-.115441	.309259	-.461218	.287948	-.281696	.523684	-.5867	
Qz	-.045320	-.163931	-.163931	-.189881	-.189881	-.370130	-.3701	
Mz	-.046713	.128309	-.144880	.142726	-.126259	.208778	-.2258	
Qy	.019351	.058125	.058125	.089662	.089662	.144869	.1448	
3- 1								
N	1.250991	1.076698	1.076698	.903411	.903411	.744528	.7445	
Mt	-.002003	.004748	.004748	.009035	.009035	.006934	.0069	
My	.163461	-.228390	.242603	-.128194	.213248	-.115436	.1694	
Qz	.096963	.100211	.100211	.113814	.113814	.094948	.0949	
Mz	-.139704	.353817	-.378143	.118521	-.341427	.117883	-.2710	
Qy	.158227	.155736	.155736	.153316	.153316	.129630	.1296	
3- 2								
N	-.102578	-.083370	-.083370	-.067358	-.067358	-.053662	-.0536	
Mt	.055851	.060208	.060208	.049956	.049956	.030864	.0308	
My	.270504	-.242235	.280036	-.152762	.208554	-.146546	.1645	
Qz	.110594	.111122	.111122	.120439	.120439	.103714	.1037	
Mz	.076386	-.095324	.094332	-.060234	.085677	-.045430	.0639	
Qy	-.038086	-.040352	-.040352	-.048637	-.048637	-.036474	-.0364	
3- 3								
N	-.166057	-.127785	-.127785	-.101345	-.101345	-.080573	-.0805	
Mt	.001187	-.000760	-.000760	-.002197	-.002197	-.001151	-.0011	
My	.735262	-.660188	.761161	-.400290	.559382	-.381101	.4348	
Qz	.304426	.302415	.302415	.319891	.319891	.271996	.2719	
Mz	.211128	-.202780	.226572	-.123512	.182043	-.103739	.1337	
Qy	-.092224	-.091351	-.091351	-.101852	-.101852	-.079152	-.0791	
3- 4								
N	.990000	1.140774	1.140774	1.240764	1.240764	1.286370	1.286	
Mt	-.022732	-.024488	-.024488	-.015898	-.015898	-.003089	-.0030	
My	-.224747	.102901	-.282868	-.075291	-.210310	-.119253	-.1002	
Qz	-.103628	-.082079	-.082079	-.045006	-.045006	.006348	.0063	
Mz	.349586	-.104846	.627454	.319876	.517384	.369934	.2939	
Qy	-.190802	-.155809	-.155809	-.065836	-.065836	.025344	.0253	

Produit de ALGOSOFT (France-Paris) 9
 Tue Jan 09 20:24:16 1996 TTRTT

COMBINAISONS

ELM	NS	CRT	ST	RS	CONTR.	N	Mt	My	Qz	Mz
	3	3	S	51.117	B	-66.741806	-.052833	12.412609	-8.348076	3.57
	9	3	S	2.6884	B	-67.309769	-.021224	12.116726	-8.122646	4.07
11	2	2	1	-293.53	A	-68.720551	-.038608	-12.892294	-8.530458	-3.96
	7	3	S	56.482	B	-65.241806	-.052833	-12.631911	-8.348076	-3.50
	9	3	S	2.6884	B	-65.809769	-.021224	-12.250920	-8.122646	-4.20
12	1	1	1	172.19	A	-49.473331	-.042726	12.703793	-8.157120	3.92
	23	1		10.257	A	-33.682007	-.034694	10.198061	-6.709238	3.29
	3	3	S	69.470	B	-46.691330	-.054599	12.375280	-7.994445	3.66
	9	3	S	2.4840	B	-46.991554	-.028177	12.197060	-7.837166	3.97
	23	3	S	12.159	B	-33.832119	-.021483	10.108951	-6.630598	3.44
12	2	2	1	-252.02	A	-47.973331	-.042726	-11.767566	-8.157120	-3.53
	25	1		8.7903	A	-32.182007	-.034694	-9.929651	-6.709238	-3.07
	4	3	S	-157.91	B	-45.191330	-.054599	-11.609116	-7.994445	-3.15
	9	3	S	2.4840	B	-45.491554	-.028177	-11.313377	-7.837166	-3.76
	25	3	S	12.697	B	-32.332119	-.021483	-9.781782	-6.630598	-3.37
13	1	1	1	261.12	A	-28.258175	-.066611	16.369854	-13.578535	5.33
13	2	2	1	-442.37	A	-26.758175	-.066611	-24.365751	-13.578535	-6.80
14	1	2	1	-285.11	A	-368.03216	-.034522	7.937060	-5.940174	1.73
	4	3	S	-327.56	B	-351.79522	.018140	6.514274	-5.426113	3.68
	8	3	S	-432.38	B	-355.07592	-.083253	8.633082	-5.924707	-.385
14	2	2	1	-524.00	A	-363.13220	-.034522	-15.823637	-5.940174	-2.94
	9	3	S	1.6292	B	-346.89523	.018140	-15.299719	-5.426113	-2.63
	14	3	S	-6.1031	B	-350.17593	-.083253	-14.956207	-5.924707	-2.96
15	1	2	1	-149.70	A	-335.46997	-.054062	17.973913	-6.943582	3.69
	2	3	S	-154.52	B	-323.55206	-.124695	17.811632	-6.782959	1.90
	4	3	S	-224.94	B	-320.66741	.023016	16.207262	-6.278265	5.03
15	2	2	1	-515.73	A	-329.09997	-.054062	-18.132713	-6.943582	-3.64
	6	3	S	-153.10	B	-314.29742	.023016	-16.432119	-6.278265	-2.37
	8	3	S	-205.16	B	-317.18206	-.124695	-17.467348	-6.782959	-4.39
16	1	2	1	-116.42	A	-230.59861	-.037560	11.070845	-4.592874	2.24
	4	1		-166.17	A	-298.94525	-.060879	19.711784	-8.082891	4.22
	2	3	S	-121.31	B	-231.78772	-.114015	11.573544	-4.836619	1.31
	4	3	S	-175.43	B	-286.36508	.019462	17.768929	-7.257476	4.82
	20	3	S	-138.82	B	-229.40951	.038894	10.568146	-4.349129	3.18
	24	3	S	-263.38	B	-288.74325	-.133447	18.774326	-7.744966	2.95
16	2	2	1	-483.08	A	-293.18777	-.060879	-18.277800	-8.082891	-3.87
	6	1		-116.53	A	-224.84112	-.037560	-10.515664	-4.592874	-2.11

DEPLACEMENTS NODAUX E=1000:1

	69	70	71	72	73	74	75
1 -							
u	-.103218	-.016187	.036940	.126686	-.147545	-.044288	.023503
v	.023272	.023337	.025755	.025543	.036892	.037424	.038566
w	-3.224658	-2.636857	-2.660942	-3.230808	-4.002662	-3.228405	-3.133699
θ_x	.003483	-.006326	-.000687	-.003148	-.000044	-.011176	-.004052
θ_y	-.026595	-.005411	-.002146	-.009874	-.031329	-.008934	-.003932
θ_z	.007694	.008180	.008519	.007654	.010792	.011296	.010903
2 -							
u	-.041374	-.007162	.015179	.045862	-.062131	-.026566	.001822
v	.017604	.017953	.018443	.018813	.022308	.022407	.022714
w	-.817091	-.730124	-.735372	-.818431	-1.002417	-.874228	-.850411
θ_x	-.001465	-.001771	-.001208	-.000129	-.002620	-.003026	-.002133
θ_y	-.009330	-.004034	-.002933	-.003494	-.008592	-.003180	-.002103
θ_z	.004381	.004294	.004464	.004442	.005977	.005878	.005696
3 - 1							
u	-.270626	-.264354	-.264160	-.270195	-.338213	-.334063	-.333321
v	.731162	.731137	.731365	.731614	.922037	.921739	.921228
w	-.010767	-.005259	.005408	.010861	-.013076	-.006285	.006251
θ_x	-.064052	-.064313	-.064216	-.063975	-.057184	-.057879	-.059024
θ_y	-.021722	-.023485	-.023367	-.021806	-.019100	-.021141	-.021572
θ_z	.000366	.000100	-.000138	.000077	-.000555	-.000528	-.000564
3 - 2							
u	.164596	.056396	-.020955	-.129374	.196408	.068777	-.024393
v	-.072591	-.072617	-.072696	-.072808	-.090680	-.090576	-.090459
w	.001142	.000473	-.000424	-.000887	.001375	.000563	-.000486
θ_x	.006713	.006204	.006035	.005580	.005801	.005402	.005402
θ_y	.009371	.004221	-.001113	-.006588	.007341	.003516	-.000879
θ_z	-.015988	-.015472	-.016035	-.016563	-.020651	-.019828	-.019311
3 - 3							
u	-.368718	-.361939	-.363443	-.372976	-.436382	-.437007	-.437266
v	-.135258	-.135227	-.135312	-.135434	-.162770	-.162776	-.162639
w	.001327	.001353	-.000133	-.001435	.001623	.001633	-.000125
θ_x	.008220	.009216	.009252	.008518	.006502	.007494	.007814
θ_y	-.019079	-.025044	-.024953	-.019978	-.014536	-.020338	-.021203
θ_z	.000013	-.000016	-.000174	-.000210		-.000030	-.000074
3 - 4							
u	.233945	.220726	.218884	.231592	.262958	.249754	.247756
v	-.636658	-.636000	-.635672	-.636063	-.719747	-.718819	-.718106
w	-.008792	-.004016	.004284	.008926	-.012028	-.005440	.005466
θ_x	.039017	.038804	.036773	.036534	.013613	.013796	.016450
θ_y	.013089	.013716	.012802	.012303	.004314	.004768	.005909
θ_z	.006154	.004631	.005079	.006707	.007632	.005694	.005840
3 - 5							
u	-.131188	-.019190	.040459	.152691	-.154137	-.022571	.048879
v	-.045227	-.045204	-.045181	-.045143	-.056038	-.056107	-.056129
w	.000516	.000400	-.000277	-.000596	.000634	.000479	-.000319
θ_x	.003069	.003668	.003762	.004088	.002650	.003200	.003364
θ_y	-.006590	-.001128	.002918	.008584	-.004819	-.000812	.002478
θ_z	-.004809	-.002145	-.002243	-.004996	-.006352	-.002892	-.002812

CHARGES NODALES

	5	6	7	8	9	10	11	12	13	14	15	16
	25	26	27	28	29	30	31	32	33	34	35	36
3 - 1												
u	.0004	.0005	.0005	.0004	.0019	.0022	.0022	.0019	.0032	.0038	.0038	.0032
v	-.0011	-.0016	-.0016	-.0011	-.0053	-.0063	-.0063	-.0053	-.0087	-.0105	-.0105	-.0087
3 - 2												
u	-.0006	-.0003			.0003	-.0026	-.0014		.0013	-.0041	-.0022	-.0003
v	.0006	.0008	.0008	.0006	.0028	.0033	.0033	.0028	.0045	.0054	.0054	.0045
3 - 3												
u	.0015	.0020	.0020	.0015	.0065	.0075	.0075	.0066	.0100	.0119	.0120	.0100
v	.0005	.0008	.0008	.0005	.0024	.0028	.0028	.0024	.0037	.0044	.0044	.0037
w						-.0002	-.0002		-.0002	-.0003	-.0002	
3 - 4												
u	-.0039	-.0050	-.0050	-.0039	-.0165	-.0182	-.0182	-.0164	-.0242	-.0275	-.0272	-.0239
v	.0099	.0140	.0140	.0099	.0418	.0501	.0501	.0418	.0613	.0743	.0743	.0613
w					-.0002	.0003		-.0004	-.0006	.0005		-.0007
3 - 5												
u	.0025	.0003	-.0011	-.0030	.0104	.0013	-.0043	-.0129	.0157	.0020	-.0070	-.0198
v	.0011	.0016	.0016	.0011	.0053	.0064	.0064	.0053	.0087	.0106	.0106	.0087
w					-.0003				.0003	-.0004		

	25	26	27	28	29	30	31	32	33	34	35	36
3 ~ 1												
u	.0046	.0056	.0056	.0046	.0051	.0062	.0062	.0051	.0054	.0066	.0066	.0053
v	-.0126	-.0153	-.0153	-.0126	-.0139	-.0169	-.0169	-.0139	-.0147	-.0179	-.0179	-.0147
w								-.0002				-.0002
3 - 2												
u	-.0055	-.0031	-.0005	.0025	-.0060	-.0034	-.0005	.0027	-.0063	-.0036	-.0006	.0028
v	.0063	.0077	.0077	.0063	.0070	.0085	.0085	.0070	.0073	.0089	.0089	.0073
3 - 3												
u	.0132	.0162	.0163	.0133	.0144	.0178	.0179	.0145	.0150	.0188	.0188	.0151
v	.0049	.0059	.0059	.0049	.0053	.0064	.0064	.0053	.0055	.0068	.0068	.0055
w	-.0003	-.0004	-.0003	-.0002	-.0003	-.0004	-.0003	-.0002	-.0003	-.0004	-.0003	-.0002
3 - 4												
u	-.0213	-.0243	-.0242	-.0211	-.0168	-.0191	-.0188	-.0166	-.0104	-.0113	-.0112	-.0103
v	.0539	.0655	.0655	.0539	.0423	.0513	.0513	.0423	.0258	.0315	.0315	.0258
w	.0010	.0003	-.0014	-.0017	.0011	.0003	-.0017	-.0020	.0012	.0004	-.0018	-.0022
3 - 5												
u	.0199	.0024	-.0096	-.0258	.0216	.0025	-.0105	-.0281	.0222	.0026	-.0110	-.0291
v	.0126	.0153	.0153	.0126	.0140	.0170	.0170	.0140	.0148	.0181	.0181	.0148
w	-.0005	-.0002	.0002	.0005	-.0005	-.0002	.0002	.0006	-.0005	-.0002	.0002	.0006

Produit de ALGOSOFT (France-Paris) 9
 Tue Jan 09 20:22:33 1996 TTRTT

FORMES D'OSCILLATIONS

5 6 7 8 9 10 11 12 13 14 15 16

3 - 1

u	20	19	19	20	81	78	78	81	140	137	137	140
v	-54	-55	-55	-54	-219	-219	-219	-219	-382	-382	-382	-382
w	1		-1	-2	2	1	-3	-4	3	1	-4	-6
θ_x	23	21	21	23	33	30	30	33	31	29	29	31
θ_y	8	8	8	8	12	11	11	12	11	11	11	11
θ_z												

3 - 2

u	-60	-26	-2	31	-227	-100	-12	114	-375	-170	-23	181
v	61	61	61	61	239	240	240	240	410	411	411	411
w							1		-1	1		
θ_x	-26	-23	-23	-24	-36	-32	-32	-34	-32	-30	-29	-31
θ_y	-23	-10	-2	10	-30	-14	-3	12	-25	-12	-2	9
θ_z	6	6	6	6	19	18	18	18	30	30	30	29

3 - 3

u	72	66	66	73	267	254	256	270	435	427	429	440
v	26	26	26	26	97	97	97	97	160	160	160	160
w	-3	-3	-3	-2	-7	-8	-6	-5	-10	-11	-9	-7
θ_x	-9	-8	-8	-9	-12	-11	-11	-12	-10	-9	-9	-10
θ_y	26	24	24	26	32	32	32	33	27	29	28	26

3 - 4

u	-42	-38	-38	-41	-155	-143	-143	-154	-242	-227	-225	-239
v	106	106	106	106	393	393	393	393	613	613	613	613
w	1		-1	-2	3		-3	-6	5	1	-6	-10
θ_x	-43	-40	-40	-43	-53	-48	-48	-53	-32	-31	-31	-32
θ_y	-17	-15	-15	-17	-20	-19	-19	-20	-12	-12	-12	-12
θ_z	-2	-1	-1	-2	-6	-4	-5	-7	-11	-7	-8	-11

3 - 5

u	60	6	-20	-74	221	24	-77	-275	356	38	-131	-449
v	28	28	28	28	114	114	114	114	198	198	198	198
w	-3	-1	1	3	-7	-2	2	7	-9	-3	3	10
θ_x	-11	-11	-11	-13	-16	-15	-16	-18	-15	-14	-15	-16
θ_y	21	2	-7	-27	26	2	-10	-35	20	1	-9	-28
θ_z	-2	-3	-3	-2	-6	-10	-10	-6	-9	-15	-15	-9

25 26 27 28 29 30 31 32 33 34 35 36

3 - 1

u	232	231	231	231	257	257	257	256	280	281	281	279
v	-632	-632	-632	-632	-700	-700	-700	-700	-763	-762	-762	-763
w	5	2	-7	-9	6	2	-7	-10	6	2	-7	-10
θ_x	22	21	21	22	20	19	19	20	19	16	17	19
θ_y	8	8	8	8	7	7	7	7	7	7	6	6
θ_z	1	1	1	1	2	1	1	2	2	2	1	2

ANNEXE D

E L E M E N T	S E C T I O N	ARMATURE LOGITUDINALE						ARMATURE TRANSVERS.				OVER- TURE DES FIS- SURES mm	PROJE- CTION DE SE- CTION INCLIE NEE cm		
		ASYMETRIQUE cm ²				SYMETRIQUE cm ²			At1 cm ²	PAS s1 (cm)	At2 cm ²	PAS s2 (cm)			
		AS1	AS2	AS3	%	AS1	AS3	%							
Taux de ferrailage 1 Beton fc28=25															
Armature	longitudinale	FeE40	1	Armature	transversale	FeE40									
352	1		6.03	2.01	0.4	0.8	23.3	0.8	23.3				130.0		
	2		6.03	2.01	0.4	0.8	23.3	0.8	23.3				130.0		
353	1		6.03	2.01	0.4	0.8	23.3	0.8	23.3				130.0		
	2		6.03	2.01	0.4	0.8	23.3	0.8	23.3				130.0		
364	1		6.03	2.01	0.9	0.8	15.0	0.8	15.0				80.0		
	2		8.30	2.01	1.1	0.8	15.0	0.8	15.0				80.0		
404	1		6.03	2.01	0.4	0.8	23.3	0.8	23.3				130.0		
	2		6.03	2.01	0.4	0.8	23.3	0.8	23.3				130.0		
405	1		6.03	2.01	0.4	0.8	23.3	0.8	23.3				130.0		
	2		6.03	2.01	0.4	0.8	23.3	0.8	23.3				130.0		
410	1		6.03	2.01	0.5	0.8	20.0	0.8	20.0				110.0		
	2		6.03	2.01	0.5	0.8	20.0	0.8	20.0				110.0		
599	1		6.03	2.01	0.2	1.3	30.0	1.3	30.0				170.0		
	2		6.03	2.01	0.2	1.3	30.0	1.3	30.0				170.0		
600	1		6.03	2.01	0.2	1.3	30.0	1.3	30.0				170.0		
	2		6.03	2.01	0.2	1.3	30.0	1.3	30.0				170.0		
611	1		6.03	2.01	0.5	0.8	20.0	0.8	20.0				110.0		
	2		6.03	2.01	0.5	0.8	20.0	0.8	20.0				110.0		
651	1		6.03	2.01	0.2	1.3	30.0	1.3	30.0				170.0		
	2		6.03	2.01	0.2	1.3	30.0	1.3	30.0				170.0		
652	1		6.03	2.01	0.2	1.3	30.0	1.3	30.0				170.0		
	2		6.03	2.01	0.2	1.3	30.0	1.3	30.0				170.0		
663	1		6.03	2.01	0.5	0.8	20.0	0.8	20.0				110.0		

Code de probleme: MEL Date de calcul: 14.1.1996 Heure de calcul: 0:34:47

E L E M E N T	S E C T I O N	ARMATURE LOGITUDINALE							ARMATURE TRANSVERS.				OVER- TURE DES FIS- SURES mm	PROJE- CTION DE SE- CTION INCLII- NEE cm				
		ASYMETRIQUE cm ²				SYMETRIQUE cm ²			At1 cm ²	PAS s1 (cm)	At2 cm ²	PAS s2 (cm)						
		AS1	AS2	AS3	%	AS1	AS3	%										
Taux de ferrailage 2 Beton fc28=25																		
Armature longitudinale		FeE40			Armature transversale			FeE40										
443	1*	4.0	4.0		0.5				0.6	16.7			0.1	90.0				
		2.0	0.9		0.2													
	2*	4.0	4.0		0.5				0.0	0.0			0.0					
		0.5	2.0		0.2													
	3*	4.0	4.0		0.5				0.6	16.7			0.1	90.0				
		2.0	2.0		0.3													
768	1*	6.3	9.8		0.5				0.6	23.3			0.3	130.0				
		4.4	6.2		0.3													
	2*	6.3	6.3		0.4				0.0	0.0			0.2					
		4.2	4.4		0.3													
	3*	6.3	9.8		0.5				0.6	23.3			0.3	130.0				
		4.4	6.2		0.3													
794	1*	6.3	9.8		0.5				0.6	23.3			0.3	130.0				
		4.4	6.2		0.3													
	2*	6.3	6.3		0.4				0.0	0.0			0.2					
		4.2	4.4		0.3													
	3*	6.3	9.8		0.5				0.6	23.3			0.3	130.0				
		4.4	6.2		0.3													
1444	1*	6.3	6.3		0.4				0.6	23.3			0.3	130.0				
		4.4	4.2		0.3													
	2*	6.3	6.3		0.4				0.6	23.3			0.2	130.0				
		4.4	4.2		0.3													
1808	1*	6.3	25.1		1.0				1.3	23.3			0.2	216.7				
		4.4	13.3		0.6													
	2*	9.8	6.3		0.5				0.0	0.0			0.3					
		6.7	4.4		0.4													
	3*	6.3	16.1		0.7				1.3	23.3			0.3	216.7				
		4.4	12.1		0.5													
1821	1*	6.3	16.1		0.7				0.6	23.3			0.2	130.0				

4.4 8.2

0.4

Justification d'armature Page 4

Code de probleme: MEL Date de calcul: 14.1.1996 Heure de calcul: 0:34:47

Échéance 1994 1995 1996 1997 1998 1999 2000

Échéance 1994 1995 1996 1997 1998 1999 2000

NOM DE SECTION	NOM DE SECTION	TRANSVERSE						OBLIQUE						PROJECTION					
		AS	AS	AS	AS	AS	AS	AS	AS	AS	AS	AS	AS	AS	AS	AS	AS	AS	
SECTION TYPE LONGITUDINALE	SECTION TYPE LONGITUDINALE	0	0	0	0	0	0	0	0	0	0	0	0	0	0	0	0	0	
SECTION TYPE TRANSVERSAL	SECTION TYPE TRANSVERSAL	0	0	0	0	0	0	0	0	0	0	0	0	0	0	0	0	0	
TAXIS DE FERRAILAGE	TAXIS DE FERRAILAGE	0	0	0	0	0	0	0	0	0	0	0	0	0	0	0	0	0	

FIG. 4 PROJECTIONS

SECTION TYPE LONGITUDINALE
SECTION TYPE TRANSVERSAL
TAXIS DE FERRAILAGE

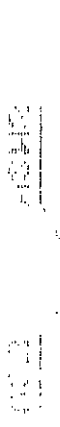
CLASSE DE SETONIENESS

SECTION TYPE LONGITUDINALE TEE 40

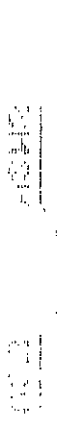
SECTION TYPE TRANSVERSAL TEE 40



SECTION TYPE LONGITUDINALE



SECTION TYPE TRANSVERSAL



TAXIS DE FERRAILAGE

Section N2

Section N3

Element 1034 Mon Jan 28 13:05:48 195

CLASSE DE BETON FC28=35

ARMATURE LONGITUDINALE FER 40

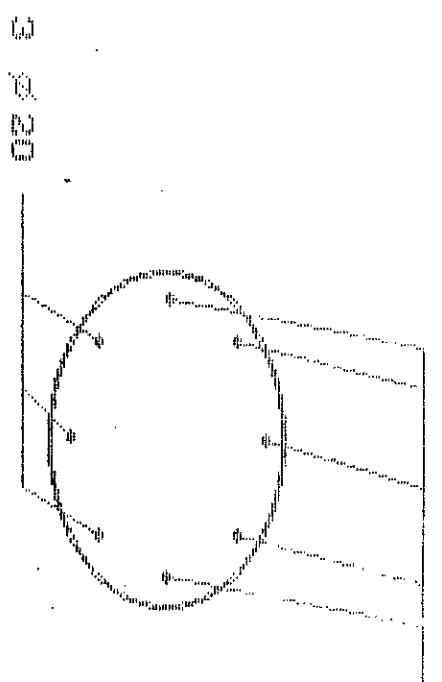
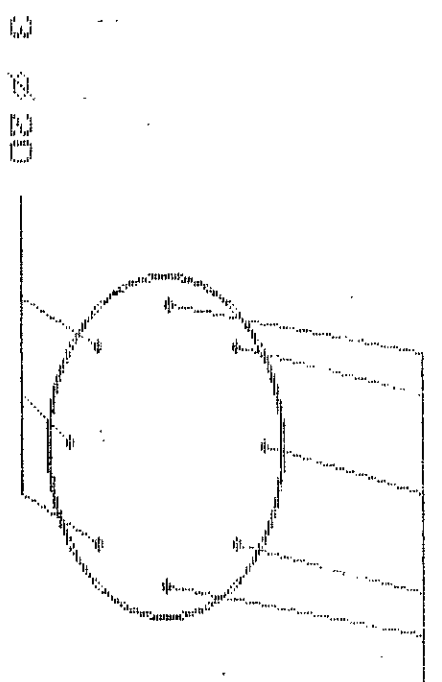
ARMATURE TRANSVERSALE FER 40

TAILLE DE FERFILLAGE

N°	SECTION NUMBER	ARMATURE LONGITUDINALE				ARMATURE TRANSVERSALE				TRANSVERSE OVERLAP				
		A31	A32	A33	X	A31	A32	X	SECTION (CM)	PAS (CM)	A31A32 (CM)	PAS (CM)	PISSADE (CM)	SECTION (CM)
		25.10.0				25.10.0			25.10.0	0	0	0	0	
		25.10.0				25.10.0			25.10.0	0	0	0	0	
		25.10.0				25.10.0			25.10.0	0	0	0	0	

Element n°32 Non JDN 28.10.00.00.1001

SECTION NO.



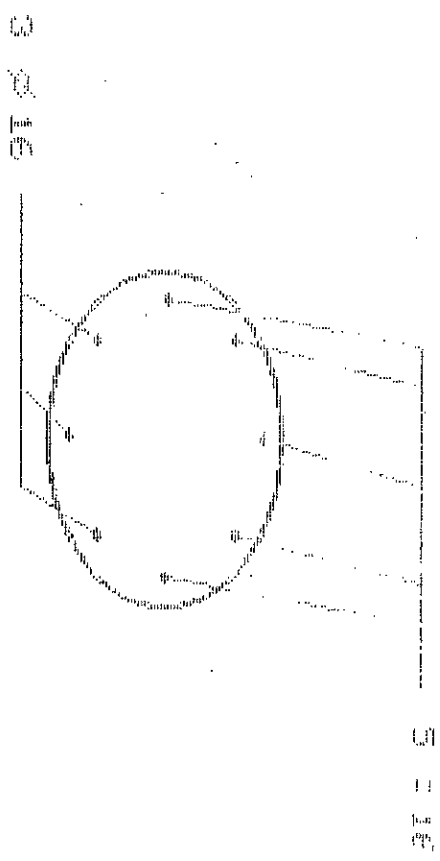
Element 755 Mon Jan 29 13:36:48 198

The technical drawing illustrates a rectangular concrete beam section. Key dimensions labeled include: height (H) of 500 mm, width (B) of 250 mm, thickness (t) of 100 mm, and a top reinforcement area (AS1) of 16.08 cm². A circular reinforcement detail is shown at the top right corner with a radius of 95.1 mm. Reinforcement bars are indicated by dashed lines.

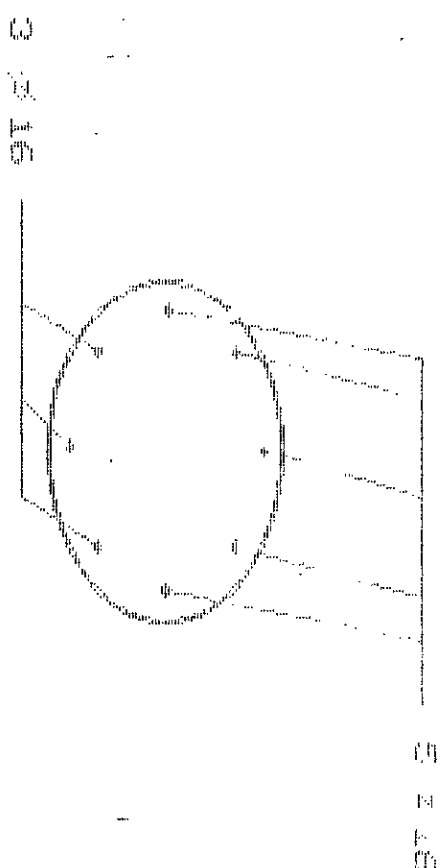
ORDONNANCE DE SECTION	ARMATURE LONGITUDINALE							TRANSVERSALE ARMATURE (cm*cm)				OUVERTURE DES FISSURES (mm)	PROJE- CTION DE SECTION ENCLINÉE (cm)		
	ASYMETRIQUE				SYMETRIQUE			ASW1	PAS t1 (cm)	ASW2	PAS t2 (cm)				
	AS1	AS2	AS3	%	AS1	AS3	%								
					16.08	0	0.67	0	0	0	0	0	0		
					16.08	0	0	-	-	-	-	0	0		
					16.08	0	0.67	0	0	0	0	0	0		
					16.08	0	0	-	-	-	-	0	0		

EDISON 756 HORN 350000

SECTION NO.



SECTION NO.



5 Ø 15

E 2-5

Ø 4 pas 23 cm

Ø 4 pas 23 cm

Ø 7 pas 23 cm

Ø 7 pas 23 cm

13 Ø 16

3 Ø 16

Section H1

Section N2

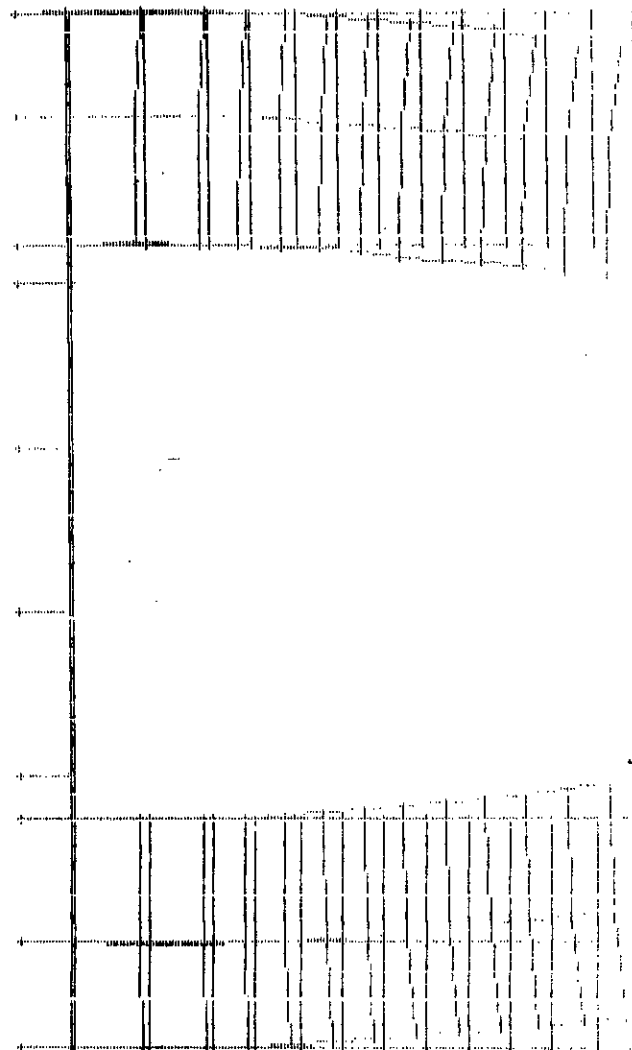
Plan voz x=53,000

Project MEL Chargeement 1 Distortion 0.320480



Plan X0Z Y=3,5000

Projet MEL Chargement 2 Distorsion 0 .795532



Project MEL Changeover 1 Distortion 0.25 178

